

O 1177

DIVISION DE ESTUDIOS DE POSGRADO
FACULTAD DE INGENIERIA

*** ANALISIS DEL COMPORTAMIENTO DEL SISTEMA DE LODOS
ACTIVOS DE LA PLANTA DE TRATAMIENTOS DE AGUAS
RESIDUALES DE LA CIUDAD UNIVERSITARIA ***

BLAS ENRIQUE GUZMAN RIOS

T E S I S

**PRESENTADA A LA DIVISION DE ESTUDIOS DE
POSGRADO DE LA**

**FACULTAD DE INGENIERIA
DE LA**

UNIVERSIDAD NACIONAL AUTONOMA DE MEXICO

**COMO REQUISITO PARA OBTENER
EL GRADO DE
MAESTRO EN INGENIERIA**

A M B I E N T A L

ENERO DE 1995

CIUDAD UNIVERSITARIA

**FALLA DE ORIGEN
EN SU TOTALIDAD**



UNAM – Dirección General de Bibliotecas Tesis Digitales Restricciones de uso

DERECHOS RESERVADOS © PROHIBIDA SU REPRODUCCIÓN TOTAL O PARCIAL

Todo el material contenido en esta tesis está protegido por la Ley Federal del Derecho de Autor (LFDA) de los Estados Unidos Mexicanos (México).

El uso de imágenes, fragmentos de videos, y demás material que sea objeto de protección de los derechos de autor, será exclusivamente para fines educativos e informativos y deberá citar la fuente donde la obtuvo mencionando el autor o autores. Cualquier uso distinto como el lucro, reproducción, edición o modificación, será perseguido y sancionado por el respectivo titular de los Derechos de Autor.

**"ANÁLISIS DEL COMPORTAMIENTO DEL PROCESO DE LODOS
ACTIVOS, DE LA PLANTA DE TRATAMIENTO DE AGUAS
RESIDUALES DE LA C.U."**

DIRECTOR DE TESIS: DR. PEDRO MARTÍNEZ PEREDA.

NOMBRE DEL PASANTE: GUZMÁN RÍOS BLAS ENRIQUE.

SECCIÓN: INGENIERÍA AMBIENTAL DEPFI-UNAM

CICLO: 84-II A 86-II

**PARA OBTENER EL GRADO DE: MAESTRO EN INGENIERÍA
AMBIENTAL.**

**DESARROLLO DEL PROYECTO: CIUDAD UNIVERSITARIA
MÉXICO, D.F.**

A MI ESCUELA

A MIS MAESTROS

FALLA DE ORIGEN

**A MI DIRECTOR DE TESIS
DR. PEDRO MARTINEZ PEREDA**

**EN MEMORIA
DE MIS QUERIDOS MAESTROS**

**SALVADOR AYANEGUI H.
FRANCISCO MONTEJANO U.**

ÍNDICE	PÁGINA
ANTECEDENTES	4
RESUMEN	7
I.- INTRODUCCIÓN	8
II.- FUNDAMENTOS DEL PROCESO DE LODOS ACTIVADOS.....	10
III.- DESCRIPCIÓN DEL PROCESO	11
3.1 PRETRATAMIENTO.....	12
3.2 TRATAMIENTO PRIMARIO.....	13
3.3 TRATAMIENTO SECUNDARIO.....	13
a). TANQUE DE AIREACIÓN.....	13
b). SEDIMENTADOR SECUNDARIO	14
c). SISTEMA DE FILTRACIÓN	14
d). SISTEMA DE CLORACIÓN	15
IV.- FASE EXPERIMENTAL.	
4.1 DISEÑO DEL EXPERIMENTO.....	16
4.2 DATOS DE CAMPO	17
4.2 MUESTREO Y ANÁLISIS DE LABORATORIO.	17

V.- PUESTA EN MARCHA DEL SISTEMA (START-UP)**SIN USAR SIEMBRA.**

5.1 CHEQUEO GENERAL PREVIO	19
5.2 PROCEDIMIENTO	20
5.3 PRUEBAS DE AIREACIÓN EN EL REACTOR	
DE PROCESO	20
a). DURANTE LA PUESTA EN MARCHA	21
b). UNA VEZ ESTABILIZADO EL SISTEMA.....	22

VI.- ECUACIONES DE BALANCE.

6.1 ECUACIONES CINÉTICAS	27
6.2 MÉTODO CLÁSICO PARA LA DETERMINACIÓN	
DE LOS COEFICIENTES CINÉTICOS	30
6.3 BALANCE DEL SISTEMA.....	32

VII.- TRATAMIENTO DE LOS RESULTADOS EXPERIMENTALES.

7.1 VERIFICACIÓN DE LAS ECUACIONES CLÁSICAS	
CON RESULTADOS DINÁMICOS	44
7.2 VERIFICACIÓN DE LAS ECUACIONES CINÉTICAS CON	
LOS RESULTADOS DEL SISTEMA ESTABILIZADO	44
7.3 RESULTADOS PROMEDIO.	44

VIII.- OPTIMIZACIÓN DEL PROCESO.

8.1 VARIACIÓN DE LAS CALIDADES DEL	
INFLUENTE DURANTE LAS 24 HRS.....	45
8.2 CAMBIOS OBLIGADOS EN LA OPERACIÓN DEL SISTEMA... ..	45

IX.- CONCLUSIONES Y RECOMENDACIONES.....	46
X.- REFERENCIAS.	50
XI.- ANEXOS	
ANEXO "A" RESULTADOS DE LOS ANÁLISIS DE LABORATORIO	
POR ETAPA.....	52
ANEXO "B" DETERMINACIÓN DEL COEFICIENTE kLa_{AL}	
ARRANQUE DEL SISTEMA Y LA TABLA QUE MUESTRA EL EXCESO DE TRANSFERENCIA DE OXÍGENO	65
ANEXO "C" DETERMINACIÓN DE LOS COEFICIENTES CINÉTICOS y , k_d , K_S y k PARA CADA ETAPA.....	70
ANEXO "D" RESULTADOS PROMEDIO DE CADA ETAPA	104
ANEXO "E" TASAS DE CONSUMO DE O_2 Y VELOCIDAD EN ZONA DE SEDIMENTACIÓN (VZS)	106
ANEXO "F" RESULTADOS DE MEDICIÓN DE O.D. EN EL TANQUE Y SEDIMENTADOR (A TRES PROFUNDIDADES	132
ANEXO "G" REVISIÓN BIBLIOGRÁFICA.....	134

ANTECEDENTES:

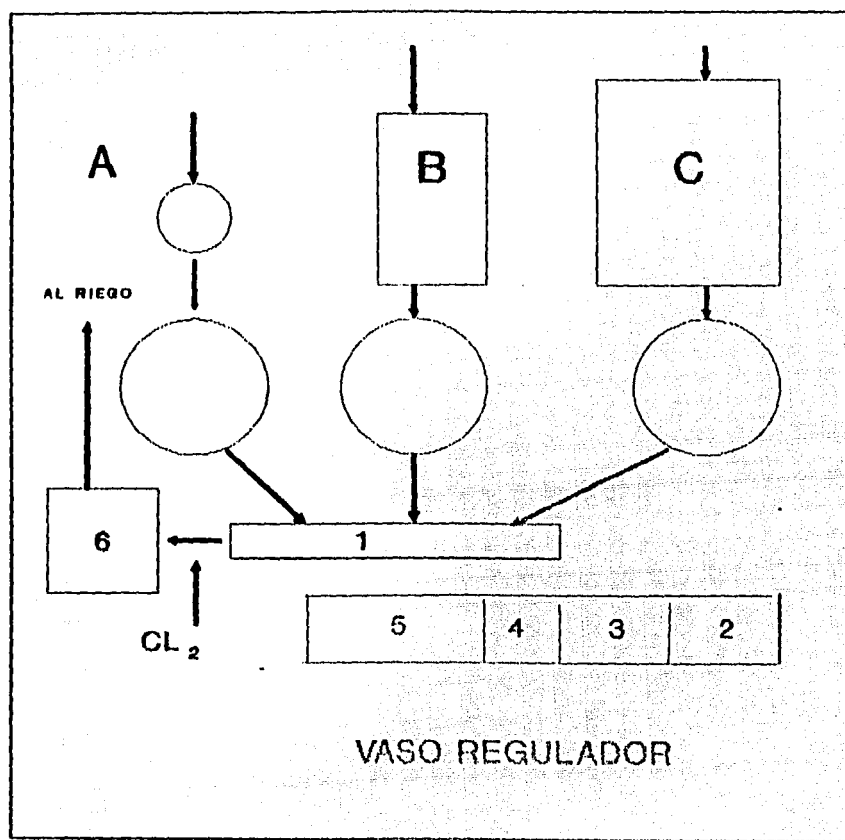
Debido a lo accidentado del terreno montañoso y rocoso donde se localiza la Ciudad Universitaria, existen zonas altas y bajas tanto en la parte central como en la periferia de la misma.

En la zona antigua (al NE de C.U.), existen bodegas, sótanos, cuartos de bombas, laboratorios, etc. en zonas bajas, estas áreas son susceptibles de inundaciones en tiempos de lluvias, lo cual ocasionaría pérdidas cuantiosas no sólo para materiales y equipos para la docencia, sino también materiales de investigaciones llevadas a cabo por diversas Facultades e Institutos. Debido a la presencia de este problema, surgió la necesidad de construir en esta zona antigua (hoy entrada Copilco), un vaso regulador cuyo nivel del fondo fuese más bajo que el de los pisos, laboratorios y bodegas; este vaso regulador, ocupó la zona donde hoy es la Planta de Tratamiento de Aguas Residuales. De esta manera, quedó solucionado parcialmente el problema provocado por mencionadas inundaciones en dichos laboratorios y bodegas, ya que la red de alcantarillado recolectó y descargó las aguas residuales combinadas a ese vaso regulador.

Posteriormente se tuvieron problemas de contaminación en el aire, desarrollo de insectos, malos olores, tiradero de basuras, etc. a causa del vaso construido ahí; esto obligó a la construcción de una planta que tratara esas aguas residuales y que además, garantizara la recuperación de la misma con el fin de usarla para el riego de áreas verdes.

La Facultad de Ingeniería conjuntamente con el Instituto de Ingeniería, propusieron la construcción de dicha planta, cuyos objetivos no fueran solo la solución a estos problemas, sino que además de rehusar el agua, se diera apoyo a la investigación y docencia en lo referente a la

Ingeniería Ambiental. Finalmente fue aceptado lo propuesto, se diseñó y construyó mencionada planta de tratamiento misma que existe hoy día y cumple con los objetivos planteados, además de ser la única en el país que cuenta con tres sistemas de tratamiento biológico, BIOPDISCO, BIOFILTRO Y LODOS ACTIVADOS, este último es el estudiado en el presente trabajo.



CROQUIS GENERAL - PLANTA C. U.

A SISTEMA BIOFILTRO

1 - FILTROS-ARENA

B SISTEMA BIODISCO

2 - CONTROLES

6 - CARC-BOMBEOS

C SISTEMA L.A.

3 - LABORATORIO

4 - BIBLIOTECA

5 - OFICINAS

que se realizó en la planta piloto de la Universidad de Costa Rica, se logró una eficiencia superior al 85% en la etapa de sedimentación de los lodos activados, lo que es muy similar a las plantas que cuentan con este sistema de tratamiento en nuestro país.

RESUMEN:

Durante el desarrollo de este trabajo, se da a conocer la forma en que se puso en marcha el sistema de Lodos Activados sin necesidad de usar siembra alguna de los mismos, apoyándose en las investigaciones realizadas por el Instituto de Ingeniería utilizando una planta piloto. También se muestran resultados y gráficas como prueba de que en sólo cuatro días de iniciada la puesta en marcha del sistema, se obtuvieron eficiencias superiores al 85% medidas como RDO_{50} o DRO_{50} influente-líquido, además se dan a conocer los valores de los parámetros de control del sistema durante el período en el que se mantuvieron eficiencias entre el 95% y 99% medidas de la misma forma; cabe mencionar que el estudio realizado es para el caso particular de la Planta de Tratamiento de CIIU que puede ser muy similar a las plantas que cuentan con este sistema de tratamiento en nuestro país.

I.- INTRODUCCIÓN.

El presente trabajo es el producto de varios años dedicados a la investigación sobre el proceso biológico de tratamiento de aguas residuales denominado "LODOS ACTIVADOS". La línea de investigación de este sistema de tratamiento por primera vez se ha realizado en este país y se obtuvieron resultados satisfactorios usando como modelo físico una planta piloto, posteriormente estos estudios se aplicaron en el sistema de escala real de la planta de tratamiento de C.U. el cual tuvo un comportamiento muy similar a la planta piloto. La aplicación de este estudio permitió resolver varios problemas que se habían tenido desde la puesta en marcha del sistema, tal es el caso de la flotación excesiva de biomasa en el sedimentador secundario, la formación de una capa de la misma en el cárabeo de recirculación de lodos, el forzar los equipos de bombeo usados para dar la tasa de recirculación, mala determinación del caudal de entrada a los sistemas, etc. Durante el desarrollo del trabajo, se lograron resolver no sólo los problemas antes mencionados, sino que se llegó a instrumentar la medición de la tasa de recirculación de lodos mediante la instalación de un medidor "Venturi modificado de dos fases" (ref. 1).

Este trabajo encierra, desde luego, de una parte experimental que duró seis meses y otra teórica con la cual se logra apoyar la interpretación de los resultados obtenidos que, desde luego, no es la única pero se consideró la más adecuada para el caso particular del sistema de Lodos Activados de la Planta de Tratamiento de Aguas Residuales de C.U.

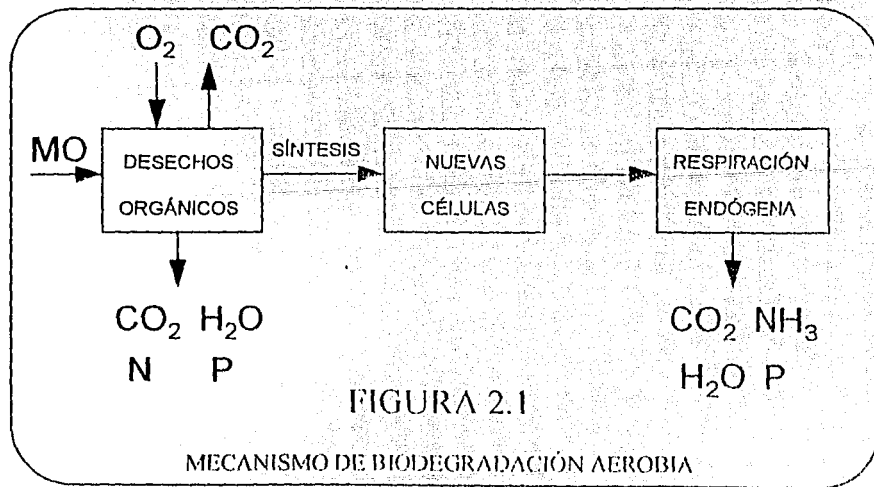
Cabe mencionar que la puesta en marcha sin siembra de lodos en sistemas de tratamiento de este tipo, es importante debido a que además de necesitar poco tiempo para obtener una buena remoción de materia orgánica los lodos generados durante el periodo de puesta en marcha se acilmanan al medio en el que permanecerán y no se corre el riesgo de que lodos traídos de otro

lugar y sembrados en diferente medio en el que se desarrollaron no se adapten y muieran o bien tarden demasiado tiempo en adaptarse (caso de la Planta de Tratamiento Chapultepec durante el periodo de su primer arranque).

II.- FUNDAMENTOS DEL PROCESO.

Uno de los procesos biológicos para remover tanto materia orgánica como sólidos suspendidos que contienen las aguas residuales, es el de "Lodos Activados". En este proceso se induce una mayor producción de microorganismos (M.O.) aerobios al darles condiciones adecuadas; estos M.O., son los responsables de la estabilización de la materia orgánica contenida en los desechos acuosos de tipo doméstico, municipal e industrial en algunos casos. Para lograr dicha estabilización de materia orgánica, las aguas residuales por tratar, son aireadas mediante inyección, difusión y mezclando uniforme de aire comprimido o mediante aireadores mecánicos superficiales; de esta manera es en el reactor donde se lleva a cabo el proceso de estabilización de la materia orgánica predominando una población microbiana de tipo aerobio, la cual al alimentarse de la materia contenida en su medio, produce energía que posteriormente utilizarán una parte para síntesis biológica y otra para crecimiento y desarrollo de nuevas células.

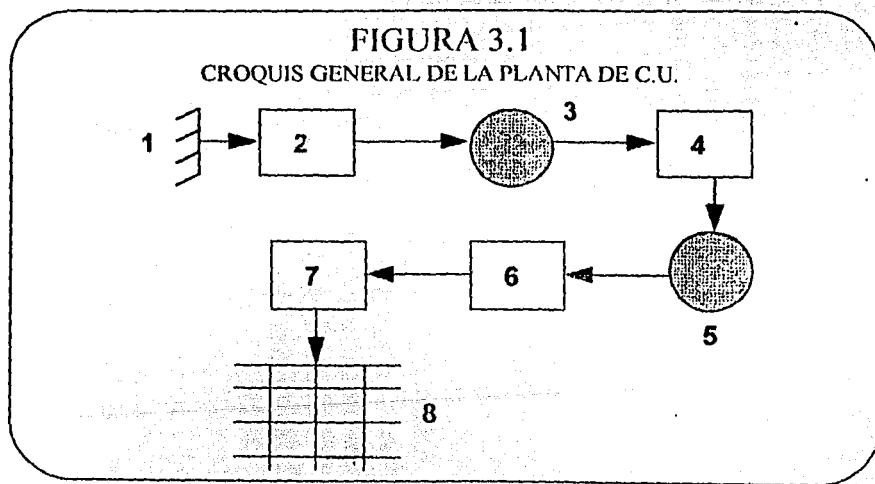
El mecanismo de la biodegradación aerobia, esquemáticamente se representa en la FIGURA 2.1 (ref. 2).



Como se puede observar, es necesario suministrar oxígeno (O_2) para lograr la estabilización de los desechos orgánicos; sin embargo, es conveniente aclarar que existan sustancias no degradables biológicamente, otras tóxicas e inhibidoras del crecimiento y desarrollo; estas sustancias desfavorecen el sistema de tratamiento y es conveniente removerlas o neutralizarlas antes de entrar al mismo.

III.- DESCRIPCIÓN DEL PROCESO.

En el caso particular de la Planta de Tratamiento de Aguas Residuales de la Ciudad Universitaria, el tren de tratamiento se encuentra como se indica en la siguiente figura:



DONDE:

- 1) Pretratamiento (rejillas de limpieza manual)
- 2) Cárcamo de captación y de bombeo.
- 3) Desarenador circular con sifón para extracción de arenas.

- 4) Tanque de aireación.
- 5) Sedimentador secundario.
- 6) Filtros de arena.
- 7) Tanque de contacto de cloro, almacenamiento y círculo de bombeo de agua tratada.
- 8) Red de tuberías del sistema de riego.

3.1.- Pretratamiento.

La finalidad del pretratamiento, es evitar que entre materia gruesa flotante al sistema del tratamiento; como ejemplo de esta materia gruesa tenemos las ramas y hojas de árboles, trozos de madera, bolsas y vasos de polietileno, papeles y en ocasiones botellas de vidrio y lámina. El hecho de no permitir la entrada al sistema de esta materia flotante, es con el objeto de no tener obstrucciones ni daños que obliguen a reparaciones mayores del equipo de bombeo ahí instalado.

Este pretratamiento, se hace fijando una serie de soleras de 1" 1/2 de ancho por 1/4" de espesor e inclinadas 60° respecto al plano horizontal del canal de llegada; la separación entre soleras deberá ser de 3/4" de centro a centro y el grado de inclinación es con objeto de facilitar su limpieza manualmente (FIGURA 3.2).

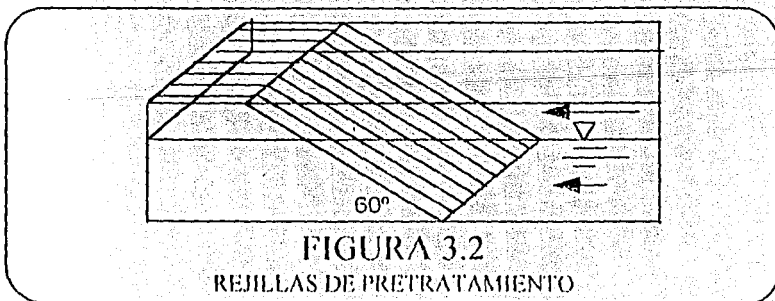


FIGURA 3.2
REJILLAS DE PRETRATAMIENTO

3.2.- Tratamiento Primario.

En el caso de la Planta de Tratamiento de Aguas Residuales de C.U., no se cuenta con tratamiento primario cuya finalidad es remover los sólidos susceptibles de sedimentarse, además de lograr separar sustancias flotantes no miscibles con el agua, tal es el caso de las grasas y los aceites, los cuales provocan problemas serios al estar en contacto con la biomasa en el reactor (tal es el caso de la flotación de lodos tanto en el reactor de proceso como en el sedimentador secundario).

Debido a la falta de esta unidad parte del sistema de tratamiento, se han presentado (conjuntamente con el problema de flotación de lodos), serios problemas en el equipo de bombeo por azolvamiento tanto en el circuito de bombeo de agua cruda como en el tanque de aireación.

3.3.- Tratamiento Secundario.

El tratamiento secundario de las aguas residuales mediante el proceso de "Lodos Activados" (L.A.), tiene como objetivo remover, mediante la oxidación, la materia orgánica suspendida, coloidal y soluble, que no fue posible eliminar en el Tratamiento Primario.

El tratamiento secundario, consta de dos unidades denominadas: Tanque de Aireación o Reactor de Proceso y Sedimentador o Clarificador Secundario, dichas unidades, tienen las siguientes funciones:

a). **Tanque de Aireación o Reactor de Proceso.** En esta unidad, los M.O., llevan a cabo la oxidación de la materia orgánica en condiciones aerobias ya que consta de dos aireadores superficiales cuyas funciones son: introducir oxígeno al líquido contenido en él (licor mezclado) para ser utilizado por los M.O., y mezclar perfectamente dicho volumen con el fin de

mantener el mayor tiempo posible el contacto de los M.O., con el agua residual que ahí se introduce.

b). Sedimentador o Clarificador Secundario. En esta unidad, se lleva a cabo una acción física consistente en permitir la decantación de los flóculos del licor mezclado que proviene del reactor de proceso; al decantar éstos, se tendrá en la parte superior el agua clarificada y en el fondo los lodos que se deberán recircular al mismo reactor o mandar a un sistema en el que se estabilizarán (digestor de lodos). A la cantidad de lodos que se envían a tratamiento se le llama comúnmente "purga de lodos".

La manera en que se lleva a cabo la decantación en esta unidad del sistema es la siguiente: el agua que ya tuvo su tratamiento en el reactor, llega al centro del sedimentador secundario mediante una tubería de 10" de diámetro (en forma de sifón invertido) por abajo de la base del mismo, al salir el agua de la tubería inicia la formación del flóculo, el cual desciende y se decanta en la superficie del fondo; una vez sedimentados estos flóculos (lodos), mediante rutas de paso continuo a baja velocidad (30 a 50 cm/min.), son conducidos a una tolva central la que a su vez está conectada mediante una tubería de 6" de diámetro, a un cárismo llamado cárismo de lodos"; de éste se bombean hacia una caja partidora con tres opciones: recircular hacia el reactor, enviar hacia la unidad de tratamiento de lodos (purgar lodos) o ambas opciones.

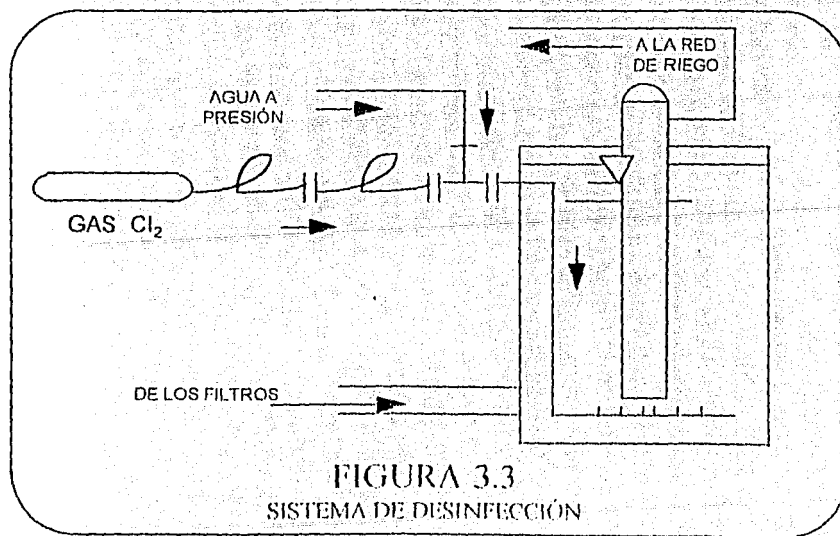
c). Sistema de Filtración: En la Planta de Aguas Residuales, se cuenta con 6 filtros de arena con lecho mixto cuya área de filtración de cada uno de ellos es de 3.00 m². Desafortunadamente debido a la alta pérdida de agua por fugas en las compuertas y por el agrietamiento de las paredes de los filtros y cámaras de almacenamiento de agua filtrada así como por mala interconexión de éstas (corregibles desde luego), no ha sido posible determinar adecuadamente las carreras de los filtros y actualmente se lleva a cabo un proyecto de

investigación cuya finalidad incluye la determinación de ésta y la introducción de aire comprimido para el retrolavado; esta modificación al retrolavado traerá como consecuencia el ahorro de un gran volumen de agua utilizada para esta actividad.

Se ha estimado que la carrera de cada filtro es de $43.00 \text{ m}^3/\text{m}^2\text{-día}$ con base en observaciones y experiencias obtenidas a lo largo del desarrollo de este trabajo.

d). Sistema de Cloración: El sistema empleado para la desinfección de las aguas tratadas, es el de cloración, el cual consiste en la inyección de cloro gas (líquido por presión) desde cilindros de 908 kg.

Se cuenta con espacio para instalar tres de ellos pero sólo funciona uno a la vez, a una presión de salida de 1.5 kg/cm^2 . La instalación consiste en un tramo de tubo de acero inoxidable de $1/4"$ de diámetro conectado a una tubería de fierro galvanizado de $3/4"$ de diámetro y lo conduce hasta el inyector cuyo rotámetro está regulado a 8 kg/día .



IV.- FASE EXPERIMENTAL.

4.1 Diseño del Experimento.

Con base en la experiencia de la operación de una planta piloto (ref.3), se planteó un diseño de experimento similar con la posibilidad de que seguramente sufriría cambios conforme se fueran requiriendo. Básicamente el diseño del experimento consistió en hacer combinaciones entre el gasto de entrada al sistema y gasto en la recirculación de lodos en diferentes porcentajes del primero, como lo muestra la siguiente tabla:

ETAPA	1 ^a	2 ^a	3 ^a	4 ^a
Qi (L /s ⁻¹)	10	10	10	10
Qr (% Qi)	0 -10	20	30	40

ETAPA	5 ^a	6 ^a	7 ^a	8 ^a
Qi (L /s ⁻¹)	10	15	15	15
Qr (% Qi)	50	30	40	50

ETAPA	9 ^a	10 ^a	11 ^a	12 ^a
Qi (L /s ⁻¹)	20	20	MAX	MAX
Qr (% Qi)	30	40	30	40

Una vez estabilizado el sistema, se buscaría por qué razón el proceso no funciona a su capacidad de diseño (20 L /s⁻¹) sino al 50 % (10 L /s⁻¹). El tiempo estimado para esta fase, fue de tres meses por lo menos.

4.2.- Datos de Campo.

En todo estudio, existe la necesidad de tomar "in situ", la mayor información posible. En el presente trabajo, se diseñó tomar los siguientes parámetros de campo:

- a). Temperatura.
- b). pH.
- c). Sólidos sedimentables.
 - 1).- Licor mezclado.
 - 2).- Recirculación de lodos.
- d). Oxígeno disuelto (O.D.)
- e). Velocidad de consumo de O₂.
- f). Velocidad en zona de sedimentación (VZ.S.).
 - 1).- Licor mezclado.

Con la medición de los parámetros anteriores, estaremos en posibilidades de hacer un balance de masas, entre los diferentes puntos del sistema e identificar el o los modelos de ecuaciones cinéticas, que representen dichos fenómeno al sistema, sin usar siembra o semilla.

4.3.- Muestreo y Análisis de Laboratorio.

MUESTREO:

Inicialmente, se pensó en tomar muestras separadas, puntuales e instantáneas cada 4 hrs. y de los siguientes puntos:

- a). Agua de entrada al sistema (influente).

FALLA DE ORIGEN

- b). Tanque se aireación (licor mezclado).
- c). Lodo recirculado (recirculación).
- d). Agua que sale del sistema (efluente).

Al mostrar estos puntos, cada 4 hrs. nos generarían 20 muestras diarias, lo cual implica un costo muy elevado para el análisis de las mismas.

De manera que inicialmente, se decidió muestrear 4 veces por día considerando las horas pico de aportación (de las 8:00 hrs. a las 20:00 hrs.).

ANÁLISIS DE LABORATORIO.

Los análisis aplicados a cada muestra fueron básicamente 2 utilizando métodos estandarizados, los cuales nos podrán permitir reproducir y controlar el fenómeno en igualdad de condiciones. Los análisis aplicados fueron:

- a). Sólidos Suspensidos Volátiles (SSV).
- b). Demanda bioquímica de oxígeno (DBO_5).
 - b.1). Total (influyente).
 - b.2). Soluble (licor mezclado, recirculación y efluente).

V.-PUESTA EN MARCHA DEL SISTEMA SIN USAR SIEMBRA.

5.1 CHEQUEO GENERAL PREVIO

Antes de poner en marcha el sistema, se deben verificar las siguientes cuestiones:

- a). Las unidades de proceso, al igual que sus canales de acceso y tuberías de desagüe, deberán estar perfectamente limpias y libres de cualquier objeto que pudiera obstruir el libre flujo de agua.
- b). El equipo electromecánico (bombas, motores y reductores de velocidad), debe checársele perfectamente lo eléctrico, mecánico y su sistema de lubricación (niveles de aceite adecuados y baleros bien engrasados).
- c). Todos los materiales metálicos que estarán en contacto con el agua y que no son de acero inoxidable, o galvanizados, deberán cubrirse por lo menos, con dos manos de pintura anticorrosiva y dos de esmalte especial que soporte medios ácidos.
- d).- La capacidad de bombeo instalada, tanto en el influente como en la recirculación de todos y el efluente, deberá ser por lo menos el 150% del gasto medio de diseño del sistema.

Una vez teniendo perfectamente bien checados los puntos anteriores, se continuará con los siguientes pasos:

FALLA DE ORIGEN

5.2. PROCEDIMIENTO

1.- Iniciar el llenado del reactor de proceso con agua cruda (influyente), con el gasto indicado por el diseño del experimento, hasta su nivel máximo. Una vez que se alcance este nivel, iniciar la aireación mecánica y el encendido del sedimentador secundario.

NOTA: A PARTIR DE ESTE MOMENTO NO SE DEBERÁ INTERRUMPIR LA ALIMENTACIÓN DE AGUA CRUDA DURANTE LAS 24 HRS. NI DISMINUIR EL FLUJO INICIAL, AL MENOS QUE SE TUVIERA ALGUNA ANOMALIA EN EL SISTEMA.

2.- No se debe permitir el flujo del sedimentador secundario hacia el cárcamo de recirculación de lodos, hasta no pasar doce horas después de iniciada la aireación. Una vez transcurrido este tiempo, permitir lentamente el paso del sedimentador secundario, hacia dicho cárcamo y una vez que éste alcance su máximo nivel, iniciar la recirculación de lodos con el gasto de acuerdo al diseño del experimento, durante doce horas; después de este tiempo, el cárcamo deberá quedar sin lodos, y las bombas de recirculación paradas.

3.- Repetir la actividad anterior, hasta lograr la estabilización del sistema, la cual se caracterizará por presentar el agua del efluente cristalina e inodora. Este objetivo, se alcanzará aproximadamente a los 15 días después de iniciada la actividad 1.

5.3 PRUEBAS DE AIREACIÓN EN EL REACTOR DE PROCESO.

Con el fin de terminar con todo tipo de incertidumbres, acerca del sobre-diseño o no del equipo de aireación, en este proyecto se contempló realizar una serie de mediciones confiables,

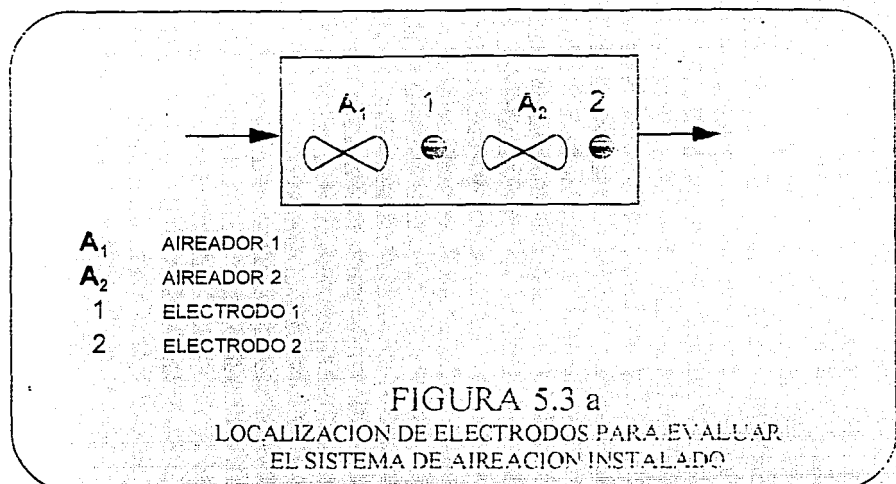
que nos aportaran información para poder dar una opinión basada en un estudio y no en el sentir de los especialistas en el área. La medición se llevó a cabo en dos etapas: en el preciso momento de la puesta en marcha y en forma cotidiana después de este evento, como se describe a continuación:

a).- **Durante la Puesta en Marcha.**- Durante la puesta en marcha por primera vez, según información verbal de los operadores más antiguos de esta planta de tratamiento, así como de la empresa que actualmente la opera, nunca se había parado en su totalidad ni siquiera para mantenimiento. Además, no se contaba con información de los equipos de aireación más que la dada por el fabricante (LIGHTNING DE MÉXICO S.A. DE C.V.). Esto dio margen a una serie de comentarios encaminados a que existía una sobre-aireación debido al exceso de potencia inducida en los mismos equipos electromecánicos instalados.

Antes de iniciar el desarrollo del presente trabajo, se vaciaron en su totalidad todas las unidades de proceso. (captación, desarenadores, reactor de proceso, sedimentador secundario y cárcamo de lodos), los cuales se limpian perfectamente.

Esta actividad duró quince días, después de los cuales, se procedió a llenar a su máxima capacidad dicho reactor de proceso y se colocaron dos electrodos de membrana para medir O.D., separados 5 Cm's. del fondo del tanque; cada electrodo tenía su correspondiente medidor de oxígeno (YSI). (Ver anexo B).

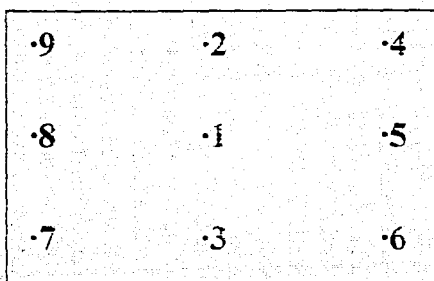
Dichos electrodos fueron colocados en el tanque como se muestra en la siguiente gráfica:



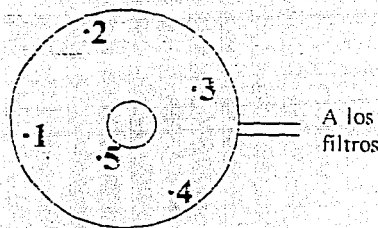
Al momento del arranque del sistema, solo se encendió uno de los aireadores (A_1), el cual nos daria la pauta para arrancar el segundo (A_2). de ser necesario. Como nunca se había realizado una prueba de este tipo, bajo estas condiciones en dicha planta de tratamiento, se planeó que dependiendo del incremento del O. D., serian los intervalos de su lectura así como la duración de la misma.

b).- Una vez Estabilizado el Sistema.- Después de arrancado el sistema y al no observar una variación significativa en el incremento del O. D., se procedio a medir cada 24 Hrs. éste, en los puntos que señala la gráfica siguiente, quedando como rutina cotidiana:

Tanque de Aireación:



Sedimentador Secundario:



Nota: En cada punto se midió O.D. a -0.50 m., -1.50 m. y en el fondo, obteniéndose los resultados del Anexo B.

FIGURA 5.3 b

FIGURA 5.3 c)
VARIACION DE LOS SSV AL ARRANQUE

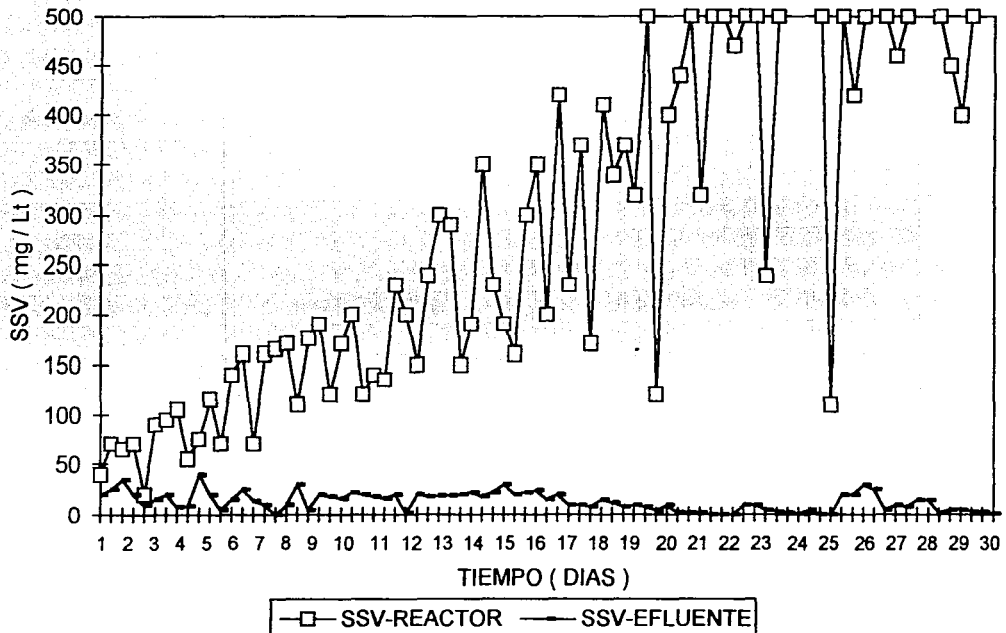
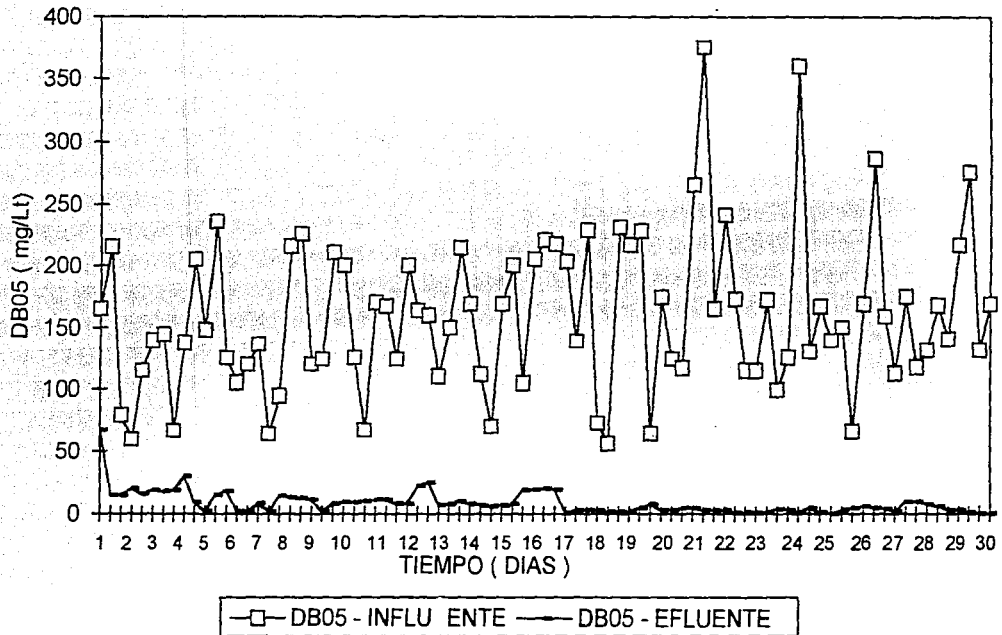
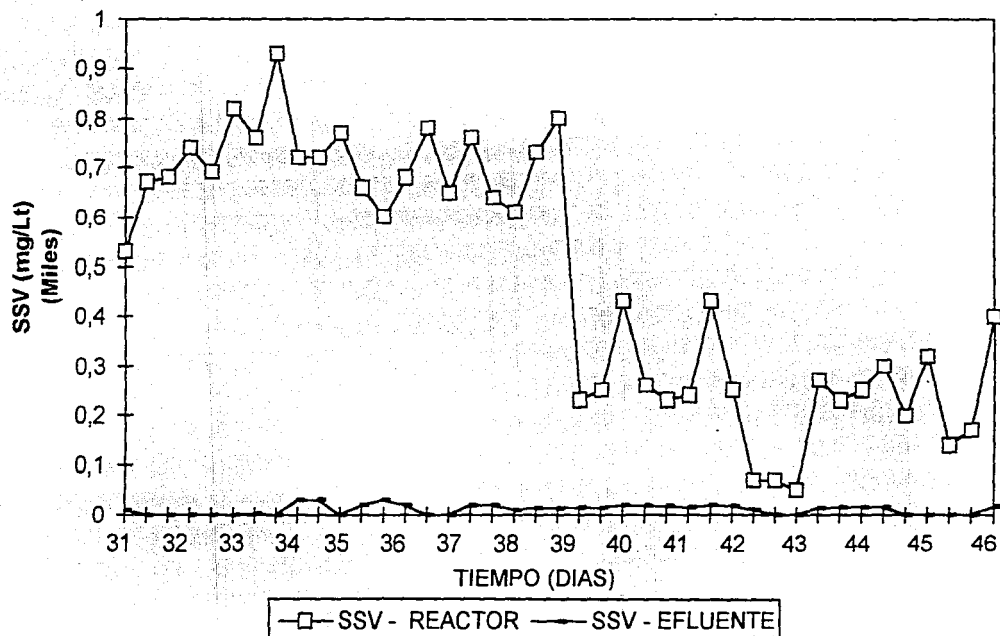


FIGURA 5.3 d)
VARIACION DE LA DB05 AL ARRANQUE



**FIGURA 5.3 e)
VARIACION DE LOS SSV DESPUES DE 30 DIAS**



VI.- ECUACIONES DE BALANCE.

6.1 ECUACIONES CINÉTICAS.

Sin duda que, los procesos biológicos empleados para el tratamiento de aguas residuales, tienen su explicación e importancia, en la cinética del crecimiento de los microorganismos (M.O.) y el sustrato que utilizan para llevar a cabo su metabolismo. Existen modelos matemáticos muy estudiados, que tratan de explicar dicha relación, los principales son:

a). MODELO CLÁSICO DE MONOD.-

Matemáticamente, expresa lo siguiente:

$$\left(\frac{dX}{dt} \right)_c = \frac{kSX}{k_s + S} \quad (\text{para los M.O.})$$

$$\left(\frac{dS}{dt} \right)_c = -\frac{kSX}{Y(k_s + S)} \quad (\text{para sustrato})$$

Donde:

$$\left(\frac{dX}{dt} \right)_c = \text{Cociente cinético para los M.O.}$$

$$\left(\frac{dS}{dt} \right)_c = \text{Cociente cinético del sustrato que consumen los M.O.}$$

k = Tasa máxima de utilización de sustrato por unidad de masa de M.O.

S = Sustrato en el efluente (Se-DBO_5)

$$X = \text{SSVLM (S)}$$

K_s = Coeficiente de velocidad media de concentración de sustrato, a la mitad de la tasa máxima de crecimiento (en masa por unidad de volumen).

Y = Coeficiente de máxima productividad durante el periodo de crecimiento logarítmico de los M.O.

b). MODELO DE MONOD, CON TÉRMINO DE DECAIMIENTO.

Este modelo, considera igual el término relacionado con el sustrato, pero en él de los M.O., considera una cierta mortandad o notable disminución de actividad de los mismos. Matemáticamente, este modelo se expresa como sigue:

$$\left(\frac{dX}{dt} \right)_c = - \frac{k^* S^* X}{(k_s + S)} - k_d * X \quad (\text{para los M.O.})$$

$$\left(\frac{dS}{dt} \right)_c = - \frac{k^* S^* X}{Y(k_s + S)} \quad (\text{para sustrato})$$

Donde:

k_d = Coeficiente de decaimiento endógeno (en T⁻¹)

c). ECUACIÓN DE MONOD SIMPLIFICADA.-

Supone que k_s es mucho mayor que S_l y matemáticamente se plantea como sigue:

$$\left(\frac{dX}{dt} \right)_c = k^* S^* X - k_d * X \quad (\text{para los M.O.})$$

$$\left(\frac{dS}{dt} \right)_c = - \frac{k}{Y} S^* X \quad (\text{para sustrato})$$

d). MODELO DE TEISSIER CON DECAIMIENTO.- Al igual que Monod, Teissier, presenta un modelo considerando un término de decaimiento y además, considera la base "e" para su expresión matemática definida como sigue:

$$\left(\frac{dX}{dt} \right)_c = k^* X (1 - e^{-k_s t}) - k_d \quad (\text{para los M.O.})$$

$$\left(\frac{dS}{dt} \right)_c = - \frac{k^* X (1 - e^{-k_s t})}{Y} \quad (\text{para sustrato})$$

Y

e). **MODELO DE ANDREW.**- Considera que existe una inhibición de M.O. por exceso de sustrato, quedando matemáticamente expresado así:

$$\left(\frac{dX}{dt} \right)_c = \frac{k}{1 + K_p/S + S/k_e} X \quad (\text{para los M.O.})$$

$$\left(\frac{dS}{dt} \right)_c = -\frac{1}{Y} \frac{k}{1 + K_p/S + S/k_e} \quad (\text{para sustrato})$$

f). **MODELO DE BENEFIELD & RANDALL.**- Considera que influye la concentración inicial de sustrato y lo expresan como:

$$\left(\frac{dX}{dt} \right)_c = k^* X \left(\frac{S}{S_0} \right)^n - k_d^* X \quad (\text{para M.O.})$$

$$\left(\frac{dS}{dt} \right)_c = -\frac{k}{Y} X \left(\frac{S}{S_0} \right)^n \quad (\text{para sustrato})$$

g). **MODELO DE VAVILIN.**- Considera término de decaimiento y relaciona el cuadrado del sustrato del esfuerzo con el sustrato del influente, es decir:

$$\left(\frac{dX}{dt} \right)_c = k^* X \frac{(Se)^2}{So} - k_d^* X \quad (\text{para M.O.})$$

$$\left(\frac{dS}{dt} \right)_c = -\frac{k}{Y} X \frac{(Se)^2}{So} \quad (\text{para sustrato})$$

6.2 MÉTODO CLÁSICO PARA LA DETERMINACIÓN DE LOS COEFICIENTES CINÉTICOS.

Una vez que se ordenaron los resultados de laboratorio, por cada etapa del experimento, se procedió a determinar los valores de los coeficientes: γ , k_{d1} , k y K_S , de acuerdo al criterio clásico, generándose los valores presentados en el ANEXO C (ref. 4 y 5). El objeto de encontrar estos valores, es con el fin de encontrar los valores de los términos cinéticos que definen los diferentes modelos matemático, que explican el comportamiento del proceso y así más fácilmente controlar y mantener este, en el rango de su máxima eficiencia. Los valores que resultaron de dichos términos cinéticos, se muestran en la tabla de la siguiente página:

TABLA 6.2

VALORES DE LOS TERMINOS CINETICOS, PARA M.O. Y SUSTRATO
PARA LOS DIFERENTES MODELOS, EN LAS ETAPAS CON EFICIENCIA
SUPERIOR AL 95 %.

ETAPA	EFICIEN- CIA (%)	(A)		(B)		(C)		(D)		(E)		(F)		(G)			
		MONOD CLASICO	(dS/dt)c	MONOD CON DECAMIENTO	(dS/dt)c	(dX/dt)c	(dS/dt)c	(dX/dt)c	(dS/dt)c	(dX/dt)c	(dS/dt)c	ANDREW	(dX/dt)c	(dS/dt)c	BENEFIELD & RANDALL	(dX/dt)c	(dS/dt)c
		(dX/dt)c	(dS/dt)c	(dX/dt)c	(dS/dt)c	(dX/dt)c	(dS/dt)c	(dX/dt)c	(dS/dt)c	(dX/dt)c	(dS/dt)c	(dX/dt)c	(dS/dt)c	(dX/dt)c	(dS/dt)c	(dX/dt)c	(dS/dt)c
II	98	239.40	1.36E+04	207.04	-1.36E+04	1.61E+03	-9.32E-04	2.41E+02	-1.55E+04	2.50E+00	-1.42E+02	-1.70E+01	-4.04E-01	-1.85E+01	-7.85E+02		
III	96	88.46	6.32E+04	66.91	-6.32E+04	5.56E+02	-4.12E-05	7.47E+01	-6.87E+04	5.24E-01	-3.75E-02	-2.24E+00	-1.79E+00	-1.47E+01	-4.87E+03		
IV	98	504.21	2.60E+04	500.13	-2.60E+04	7.03E+03	-3.62E+05	6.46E+02	-3.35E+04	1.01E+00	-5.20E+01	-4.08E+00	-1.18E+00	9.62E+01	-5.17E+03		
VII	95	364.62	6.43E+03	34.70	-6.43E+03	6.99E+03	-1.29E+05	1.33E+02	-8.16E+03	2.63E+01	-4.64E+02	-3.30E+02	-2.24E+01	-2.92E+02	-6.62E+02		
VIII	96	172.83	1.73E+06	172.83	-1.73E+06	1.33E+03	-1.33E+07	1.91E+02	-1.91E+06	2.72E+06	-2.72E+02	2.83E+01	-4.95E+01	3.05E+01	-3.05E+05		
IX	97	563.29	5.63E+06	563.29	-5.63E+06	2.15E+04	-2.15E+08	6.59E+02	-6.59E+06	1.49E+05	-1.49E+01	4.47E+03	-4.66E+02	1.92E+02	-1.92E+06		
X	96	347.35	6.95E+03	237.92	-6.95E+03	1.00E+04	-2.17E+05	3.04E+02	-8.27E+03	1.20E+01	-2.39E+02	2.89E+03	-5.14E+01	4.59E+01	-3.11E+03		

6.3 BALANCE DEL SISTEMA.

Con los valores de los coeficientes cinéticos se realizó el balance entre las siguientes unidades del sistema:

A.- Balance de la Entrada al tanque y salida del mismo (puntos 3 y 4 de la figura 3.1):

$$V_a \left(\frac{dX_i}{dt} \right) = Q_i^+ X_0 + Q_i^+ X_i - Q_i(1+r)X_i + \left(\frac{dX_i}{dt} \right) e^+ V_a$$

$$V_a \left(\frac{dS_i}{dt} \right) = Q_i^+ S_0 + Q_i^+ S_i - Q_i(1+r)S_i + \left(\frac{dS_i}{dt} \right) e^+ V_a$$

Donde:

V_a = Volumen del tanque = 466,303 Lts.

Q_i^+ = Gasto del influente (Lts/seg).

X_0 = SSV del influente.

Q_r = Gasto de recirculación.

X_r = SSV de la recirculación.

r = % de recirculación (en decimales).

X_1 = SSV en el tanque.

S_i = Sustrato en el tanque ($\text{DBO}_{5\text{sol}}$).

S_0 = Sustrato en el influente ($\text{DBO}_{5\text{sol}}$).

S_r = Sustrato en la recirculación ($\text{DBO}_{5\text{sol}}$).

$(\frac{dX_t}{dt})_c = \text{Crecimiento cinético de M.O.}$

$-(\frac{dS_t}{dt})_c = \text{Decrecimiento cinético de sustrato debido al consumo por los M.O.}$

B.- Balance en el Sedimentador. (puntos 4 y 5 figura 3.1)

$$Vs(\frac{dX_s}{dt}) = Q_i(1 - r)X_t - Q_i(1 - w)X_e - Q_w * X_r - Q_r * X_r$$

$$Vs(\frac{dS_s}{dt}) = Q_i(1 - r)S_t - Q_i(1 - w)S_e - Q_w * S_r - Q_r * S_r$$

Donde:

V_s = Volumen del sedimentador = 145,286 Lts.

X_s = SSV en el sedimentador (no homogénea a lo largo del mismo).

w = Fracción de lodos.

Q_w = Gasto de purga de lodos.

X_e = SSV en el efluente.

S_e = Sustrato en el efluente (DBO₅).

Si los valores de S_r son aproximadamente los mismos que los de S_e , el balance en el sedimentador se simplifica quedando como sigue:

$$Vs(\frac{dS_s}{dt}) = Q_i(1 + r)(S_t - S_e) \approx 0$$

C.- Balance desde la entrada al tanque y la salida del sedimentador (puntos 3 y 5 figura 3.1). Matemáticamente, este balance se expresa así:

$$V_a \left(\frac{dX_t}{dt} \right) + V_s \left(\frac{dX_s}{dt} \right) = Q_i * X_o - Q_i (1 - w) X_e - Q_w * X_r + \left(\frac{dX_t}{dt} \right)_c * V_a$$

$$V_a \left(\frac{dS_t}{dt} \right) + V_s \left(\frac{dS_s}{dt} \right) = Q_i (S_o - S_e) - \left(\frac{dS_t}{dt} \right)_c * V_a$$

Por otro lado, sabemos que:

$$\left(\frac{dX_t}{dt} \right)_c = Y * \left(\frac{dS_t}{dt} \right)$$

NOTA:

Como X_s y S_s no son homogéneas en el sedimentador, para su determinación, se debería de muestrear a lo largo de este. Lo anterior implica, tener entre los resultados tres valores críticos tanto de X como de S , es decir:

- El que entra al sedimentador (X_t y S_t).
- El que se recircula (X_r y S_r).
- El valor del efluente (X_e y S_e).

TABLA 6.3

VALORES DE LOS TERMINOS CINETICOS, DE LOS DIFERENTES MODELOS PARA CADA ETAPA.

ETAPA	EFICIENCIA (%)	(A)		(B)		(C)		(D)		(E)		(F)		(G)	
		MONOD CLASICO	(dX/dt)c	MONOD CON DECAYIMIENTO	(dX/dt)c	ECUACION DE MONOD	(dS/dt)c	TEISSIER CON DECAYIMIENTO	(dX/dt)c	(dS/dt)c	ANDREW	(dX/dt)c	(dS/dt)c	BENFIELD & RANDALL	(dX/dt)c
I	90	214.84	-2.15E+06	214.67	2.15E+06	5.42E+03	5.42E+07	2.65E+02	2.65E+06	1.90E-02	1.90E+02	-2.67E-01	7.06E+01	3.03E+02	3.03E+05
II	91	239.40	1.36E+04	207.04	-1.36E+04	1.61E-03	-9.32E+03	2.41E+02	-1.55E+04	2.50E+00	-1.42E+02	-1.70E+01	-4.04E+01	-1.85E+01	-7.85E+02
III	96	83.45	6.32E+04	66.91	-6.32E+04	5.56E+02	-4.12E+05	7.47E+01	-6.67E+04	5.24E+01	-3.75E+02	-2.24E+00	-1.78E+00	-1.47E+01	-4.87E+03
IV	95	504.21	2.60E+04	500.13	-2.60E+04	7.03E+03	-3.62E+05	6.45E+02	-3.35E+04	1.01E+00	-5.20E+01	-4.06E+00	-1.18E+00	9.62E+01	-5.17E+03
V	92	187.17	9.13E+03	187.62	-9.13E+03	3.36E+03	-1.84E+05	-4.41E+03	2.16E+05	-2.97E+01	1.45E+01	3.23E+10	-1.70E+01	1.87E+02	-5.63E+03
VI	94	267.35	5.24E+03	102.04	-5.24E+03	6.17E+03	-1.16E+05	1.83E+02	-6.71E+03	3.05E+01	-5.56E+02	-6.58E+01	-2.51E+01	1.26E+02	-5.86E+03
VII	95	354.62	6.43E+03	34.70	-6.43E+03	6.99E+03	-1.20E+05	1.33E+02	-8.16E+03	2.63E+01	-4.64E+03	-3.30E+02	-2.24E+01	-2.92E+02	-6.62E+02
VIII	96	172.83	1.73E+06	172.83	-1.73E+06	1.33E+03	-1.33E+07	1.91E+02	-1.91E+06	2.72E+06	-2.72E+02	2.83E+01	-4.95E+00	3.05E+01	-3.05E+05
IX	97	563.29	5.63E+06	563.29	-5.63E+06	2.15E+03	-2.15E+06	6.58E+02	-6.58E+06	1.49E+05	-1.49E+01	4.47E+03	-4.65E+02	1.92E+02	-1.92E+06
X	96	347.35	6.95E+03	237.92	-6.95E+03	1.08E+01	-2.17E+05	3.04E+02	-6.27E+03	1.20E+01	-2.38E+02	2.68E+03	-5.14E+01	4.56E+01	-3.11E+03
XI	93	470.74	3.66E+03	549.84	-3.66E+03	7.02E+03	-5.40E+05	8.77E+02	-4.68E+03	-7.77E+00	6.05E+01	-2.66E+01	-1.26E+01	2.82E+02	-1.58E+03
XII	93	159.21	-1.24E+03	(57.69)	1.24E+03	1.01E+03	8.55E+03	-1.57E+14	-1.22E+15	4.88E+00	3.80E+01	1.37E+04	3.10E+02	-1.92E+02	1.91E+02
XIID	96	394.52	-9.11E+03	251.95	9.11E+03	3.32E+03	8.01E+04	2.91E+02	1.00E+04	2.11E+01	4.88E+02	3.31E+02	2.60E+01	8.36E+01	1.36E+03
XIIN	90	144.25	1.44E+09	144.25	-1.44E+09	2.62E+03	-2.62E+10	1.70E+02	-1.70E+09	7.27E+06	-7.27E+01	1.91E+04	-1.13E+05	1.19E+02	-1.19E+09
XIVD	91	145.67	8.52E+02	130.19	-8.52E+02	1.38E+03	-8.16E+03	1.40E+02	-8.16E+02	9.06E+01	-5.27E+00	8.45E+02	-2.37E+01	3.71E+01	-3.12E+02
XIVN	70	20.48	-3.43E+02	(0.78)	3.43E+02	1.76E+02	3.31E+03	-1.50E+13	-2.52E+14	1.37E+01	2.29E+00	4.39E+03	8.59E+03	-2.99E+00	3.06E+02

BALANCE DEL SISTEMA

A) - BALANCE DE LA ENTRADA AL ARANQUE Y SALIDA DEL MISMO
(punto 3 y 4 de la figura 5.1)

MODELO CLÁSICO DE MONOP

$$V_{\text{SISTEMA}} = 0.1340747 \cdot t + 0.1147151 \\ + (gV_1/V_2) \cdot V_2$$

	MOTOR CORRIENTE			SISTEMA		
	MOTOR	MOTOR	DIF.	MOTOR	MOTOR	DIF.
	IZQUIERDO	DERECHO		IZQUIERDO	DERECHO	
	V_{SISTEMA}					
ETAPA II	8,27E+05	1,17E+05	1,15E+05	2,90E+02	-3,34E+05	6,21E+06
ETAPA III	3,07E+05	4,07E+04	2,65E+05	2,80E+03	-2,79E+07	2,53E+07
ETAPA IV	8,07E+05	2,15E+05	-2,78E+05	3,75E+03	-1,24E+07	1,21E+07
ETAPA V	1,77E+05	1,13E+05	7,03E+05	5,59E+03	-3,00E+06	3,03E+06
ETAPA VI	8,75E+05	7,65E+04	1,74E+05	3,25E+03	-6,06E+03	6,11E+08
ETAPA VII	8,37E+05	8,15E+05	7,11E+05	3,13E+03	-2,15E+03	3,13E+02
ETAPA VIII	3,24E+05	1,15E+05	2,11E+05	5,13E+03	-2,34E+05	3,74E+06

MODELO DE MONOP (CON CORRIENTE DE DESACELERACIÓN)

$$V_{\text{SISTEMA}} = 0.1340747 \cdot t + 0.1147151 \\ + (gV_1/V_2) \cdot V_2 - 1,45E+02 \cdot t^2$$

	MOTOR CORRIENTE			SISTEMA		
	MOTOR	MOTOR	DIF.	MOTOR	MOTOR	DIF.
	IZQUIERDO	DERECHO		IZQUIERDO	DERECHO	
	V_{SISTEMA}					
ETAPA II	8,25E+05	9,77E+04	1,75E+05	2,30E+03	5,24E+05	-5,51E+06
ETAPA III	3,06E+05	2,07E+04	8,77E+04	1,50E+03	2,75E+02	-2,03E+07
ETAPA IV	8,07E+05	8,03E+05	4,52E+04	3,72E+03	1,75E+02	-4,21E+07
ETAPA V	1,77E+05	1,53E+04	1,61E+05	5,52E+02	3,09E+00	-4,20E+06
ETAPA VI	8,75E+05	7,99E+04	1,75E+05	3,26E+03	5,26E+00	-8,50E+08
ETAPA VII	8,31E+05	8,60E+03	7,14E+04	3,40E+03	5,63E+00	-6,43E+09
ETAPA VIII	3,24E+05	1,07E+05	2,65E+05	5,13E+03	3,24E+05	-3,24E+06

$$Va \cdot dXt/dt = Df \cdot Xo \cdot (r - O) \cdot ((1 + r) \cdot Xt - Va \cdot dSt/dt = Df \cdot So \cdot (r - O) \cdot ((1 + r) \cdot St - (dSt/dt) \cdot c^*Va$$

MICROORGANISMO SUSTRATO

MIEMBRO IZQUIERDO	MIEMBRO DERECHO	MIEMBRO IZQUIERDO	MIEMBRO DERECHO	DIF.
-------------------	-----------------	-------------------	-----------------	------

	Va*xt	Va*st
ETAPA II	2,72E+05	7,51E+05
ETAPA III	3,05E+05	2,55E+05
ETAPA IV	2,07E+05	3,28E+06
ETAPA VII	1,77E+05	3,28E+06
ETAPA VIII	2,56E+05	6,21E+05
ETAPA IX	3,31E+05	1,00E+07
ETAPA X	3,70E+05	5,01E+06
	-4,78E+05	-4,34E+07
	2,80E+03	-1,98E+08
	3,73E+03	1,69E+08
	6,99E+03	-6,02E+07
	3,26E+03	6,22E+09
	5,60E+03	-1,00E+11
	5,13E+03	1,01E+09

MODELO DE TEISSIER CON DECAYMIENTO

$$Va \cdot dXt/dt = Df \cdot Xo \cdot (r - O) \cdot ((1 + r) \cdot Xt - Va \cdot dSt/dt = Df \cdot So \cdot (r - O) \cdot ((1 + r) \cdot St - (dSt/dt) \cdot c^*Va$$

MICROORGANISMO SUSTRATO

MIEMBRO IZQUIERDO	MIEMBRO DERECHO	MIEMBRO IZQUIERDO	MIEMBRO DERECHO	DIF.
-------------------	-----------------	-------------------	-----------------	------

	Va*xt	Va*st
ETAPA II	2,72E+05	1,13E+05
ETAPA III	3,05E+05	3,43E+04
ETAPA IV	2,07E+05	3,01E+05
ETAPA VII	1,77E+05	6,16E+04
ETAPA VIII	2,56E+05	8,74E+04
ETAPA IX	3,31E+05	3,04E+05
ETAPA X	3,70E+05	1,38E+05
	1,59E+05	2,80E+03
	2,71E+05	-3,20E+07
	3,73E+03	1,56E+07
	6,99E+03	-3,80E+06
	3,26E+03	8,68E+08
	5,60E+03	-3,07E+09
	5,13E+03	3,07E+06
	2,32E+05	3,86E+06

$$Va \cdot dXt/dt = Di \cdot Xo \cdot (Or \cdot Xt - Di \cdot (1+r) \cdot Xt) \quad Va \cdot dSt/dt = Di \cdot So \cdot (Sr - Di \cdot (1+r) \cdot St) \\ + (dXt/dt) c \cdot Va \quad - (dSt/dt) c \cdot Va$$

	MICROORGANISMO			SUSTRATO		
	MIEMBRO IZQUIERDO	MIEMBRO DERECHO	DIF.	MIEMBRO IZQUIERDO	MIEMBRO DERECHO	DIF.
	$Va \cdot Xt$					
ETAPA II	2,72E+05	2,36E+03	2,70E+05	2,80E+03	-6,48E+04	6,73E+04
ETAPA III	3,05E+05	-8,86E+02	3,06E+05	2,80E+03	-1,74E+05	1,77E+05
ETAPA IV	2,07E+05	1,79E+02	2,07E+05	3,73E+03	-2,26E+04	2,63E+04
ETAPA VII	1,77E+05	1,19E+04	1,65E+05	6,99E+03	-2,15E+05	2,22E+05
ETAPA VIII	2,56E+05	-1,41E+03	2,57E+05	3,26E+03	8,76E+02	2,39E+03
ETAPA IX	3,31E+05	-2,25E+03	3,34E+05	5,60E+03	1,43E+03	4,16E+03
ETAPA X	3,70E+05	1,93E+03	3,68E+05	5,13E+03	-1,09E+05	1,14E+05

MODELO DE BENEFIELD & RANDALL

$$Va \cdot dXt/dt = Di \cdot Xo \cdot (Or \cdot Xt - Di \cdot (1+r) \cdot Xt) \quad Va \cdot dSt/dt = Di \cdot So \cdot (Sr - Di \cdot (1+r) \cdot St) \\ + (dXt/dt) c \cdot Va \quad - (dSt/dt) c \cdot Va$$

	MICROORGANISMO			SUSTRATO		
	MIEMBRO IZQUIERDO	MIEMBRO DERECHO	DIF.	MIEMBRO IZQUIERDO	MIEMBRO DERECHO	DIF.
	$Va \cdot Xt$					
ETAPA II	2,72E+05	-6,76E+03	2,79E+05	2,80E+03	1,60E+03	1,20E+03
ETAPA III	3,05E+05	-1,57E+03	3,02E+05	2,80E+03	1,88E+03	9,80E+02
ETAPA IV	2,07E+05	-2,20E+03	2,09E+05	3,73E+03	2,22E+03	1,51E+03
ETAPA VII	1,77E+05	-1,54E+05	3,31E+05	6,99E+03	1,01E+03	5,99E+03
ETAPA VIII	2,56E+05	1,18E+04	2,44E+05	3,26E+03	2,40E+04	-2,07E+04
ETAPA IX	3,31E+05	2,08E+06	-1,75E+06	5,60E+03	2,19E+05	-2,13E+05
ETAPA X	3,70E+05	1,34E+06	-9,75E+05	5,13E+03	2,58E+03	2,58E+03

FALLA DE ORIGEN

$$V_a \cdot dX_t/dt = D_1 \cdot X_0 + D_2 \cdot X_t - D_3 \cdot ((1+r) \cdot X_t - V_a) \cdot dS_t/dt = D_1 \cdot S_0 \cdot D_2 \cdot S_t - D_3 \cdot ((1+r) \cdot S_t - (dS_t/dt) \cdot e^{rt})$$

MICROORGANISMO	SUSTRATO					
	MIEMBRO IZQUIERDO	MIEMBRO DERECHO	DIF.	MIEMBRO IZQUIERDO	MIEMBRO DERECHO	DIF.
$V_a \cdot Y_t$						$V_a \cdot S_t$
ETAPA II	2,72E+05	-7,45E+03	2,80E+05	2,80E+03	3,68E+05	-3,65E+05
ETAPA III	3,05E+05	-7,40E+03	3,13E+05	2,80E+03	2,27E+06	-2,22E+06
ETAPA IV	2,07E+05	4,46E+04	1,66E+05	3,73E+03	2,41E+05	-2,41E+06
ETAPA VII	1,77E+05	-1,37E+05	3,13E+05	6,99E+03	3,10E+05	-3,03E+05
ETAPA VIII	2,56E+05	1,28E+04	2,43E+05	3,26E+03	1,42E+05	-1,42E+08
ETAPA IX	3,31E+05	8,67E+04	2,44E+05	5,60E+03	8,97E+08	-8,97E+08
ETAPA X	3,70E+05	1,78E+04	3,52E+05	5,13E+03	1,45E+06	-1,45E+06

B. BALANCE EN EL SIDIMENTADOR

$$V_s \cdot dX_s/dt = Q_1 (1-r) X_t - Q_1 (1-W) \\ * X_t - Q_2 * X_t - Q_2 * X_t$$

$$V_s \cdot dS_s/dt = Q_1 (1-r) S_t - Q_1 (1-W)$$

$$* S_t - Q_2 * S_t - Q_2 * S_t$$

MICROORGANISMO	SUSTRATO					
	MIEMBRO IZQUIERDO	MIEMBRO DERECHO	DIF.	MIEMBRO IZQUIERDO	MIEMBRO DERECHO	DIF.
$V_s (dX_s)$						$V_s (dS_s)$
	---	---	dt	---	dt	
ETAPA II	1,43E+05	-1,27E+04	1,56E+05	1,07E+03	-4,25E+01	1,11E+03
ETAPA III	1,16E+05	-1,29E+04	1,29E+05	7,26E+02	-5,45E+00	7,32E+02
ETAPA IV	8,30E+04	-3,37E+04	1,17E+05	1,02E+03	-1,77E+02	1,19E+03
ETAPA VII	9,30E+04	-2,02E+05	2,95E+05	7,26E+02	-7,57E+02	1,48E+03
ETAPA VIII	1,18E+05	-1,29E+03	1,19E+05	1,26E+03	7,01E+01	1,19E+03
ETAPA IX	1,39E+05	-2,11E+03	1,41E+05	2,55E+03	2,41E+02	2,28E+03
ETAPA X	1,53E+05	-2,40E+04	1,77E+05	1,40E+03	-7,35E+00	1,41E+03

C.-BALANCE DESDE LA ENTRADA AL TANQUE
HASTA LA SALIDA DEL SEDIMENTADOR

40

MODELO CLASICO DE MONTE

$$V_0 \cdot (2t) + V_0 \cdot (dSt) = 0t^2 + 0t - 0t \cdot (1-W) + V_0 t^2 / r + (dSt) \cdot t^2 / r$$

$$V_0 \cdot (dSt) + V_0 \cdot (dSt) = 0t \cdot (S_0 - S_0) + (dSt) \cdot t^2 / r$$

			$\frac{dt}{dt}$		$\frac{dt}{dt}$		$\frac{dt}{dt}$
	DEROMA	IZQUIERDA	DIF.		DEROMA	IZQUIERDA	DIF.
	$V_0 \cdot St$			$V_0 \cdot St$			
	$+V_0 \cdot S_0$			$+V_0 \cdot S_0$			
ETAPA I	4,15E+03	1,12E+05	5,03E+02		5,85E+03	-6,34E+02	6,35E+02
ETAPA II	-2,21E+02	4,16E+04	5,75E+02		3,52E+03	-6,73E+02	5,75E+02
ETAPA III	5,50E+02	5,85E+02	5,48E+04		-5,75E+03	-1,21E+02	1,21E+02
ETAPA IV	5,70E+05	1,68E+05	1,02E+05		7,72E+03	-5,09E+02	5,01E+02
ETAPA V	5,70E+05	1,68E+05	1,02E+05		4,52E+03	-6,01E+02	6,02E+02
ETAPA VI	5,70E+05	1,68E+05	1,02E+05		5,11E+03	-6,63E+02	6,63E+02
ETAPA VII	5,70E+05	1,68E+05	1,02E+05		6,59E+03	-6,24E+02	6,24E+02
ETAPA VIII	5,70E+05	1,68E+05	1,02E+05				

MODELO DE MONTE CON TECNICO DE DERRAMIENTO

$$V_0 \cdot (2t) + V_0 \cdot (dSt) = 0t^2 + 0t - 0t \cdot (1-W) + V_0 t^2 / r + (dSt) \cdot t^2 / r$$

$$V_0 \cdot (dSt) + V_0 \cdot (dSt) = 0t \cdot (S_0 - S_0) + (dSt) \cdot t^2 / r$$

			$\frac{dt}{dt}$		$\frac{dt}{dt}$		$\frac{dt}{dt}$
	DEROMA	IZQUIERDA	DIF.		DEROMA	IZQUIERDA	DIF.
	$V_0 \cdot St$			$V_0 \cdot St$			
	$+V_0 \cdot S_0$			$+V_0 \cdot S_0$			
ETAPA I	4,15E+03	5,67E+04	5,18E+02		5,66E+03	6,34E+02	-6,34E+02
ETAPA II	4,21E+05	5,15E+04	5,90E+02		3,58E+03	8,95E+02	-8,95E+02
ETAPA III	5,90E+02	5,63E+02	5,67E+04		4,72E+03	1,21E+02	-1,21E+02
ETAPA IV	5,72E+03	1,43E+04	5,55E+02		7,72E+03	5,09E+02	-5,09E+02
ETAPA V	5,72E+03	1,43E+04	5,55E+02		4,52E+03	8,06E+02	-8,06E+02
ETAPA VI	5,72E+03	1,43E+04	5,55E+02		5,11E+03	6,63E+02	-6,63E+02
ETAPA VII	5,72E+03	1,43E+04	5,55E+02		6,59E+03	3,24E+02	-3,24E+02
ETAPA VIII	5,72E+03	1,43E+04	5,55E+02				

$$Va(dXt) + Vs(dXs) = Oi * Xo - Oi(1-W)Xe - W^*Oi^*Xr + (dXt)c^*Va \quad Va(dSt) + Vs(dSs) = Oi(So - Se) - (dSt)c^*Va$$

	dt	dt	dt	dt	dt	dt
	DERECHA	IZQUIERDA	DIF.	DERECHA	IZQUIERDA	DIF.
	Va^*Xt			Va^*St		
	$+Vs^*Se$			$+Vs^*Ss$		
ETAPA II	4,15E+05	1,37E+03	4,14E+05	3,86E+03	6,76E+04	-6,37E+04
ETAPA III	4,21E+05	6,08E+02	4,20E+05	3,52E+03	1,76E+05	-1,72E+05
ETAPA IV	2,90E+05	5,20E+02	2,89E+05	4,75E+03	2,55E+04	-2,12E+04
ETAPA VII	2,70E+05	1,04E+04	2,59E+05	7,72E+03	2,17E+05	-2,09E+05
ETAPA VIII	3,73E+05	3,40E+02	3,73E+05	4,52E+03	9,72E+02	3,55E+03
ETAPA IX	4,70E+05	1,92E+02	4,70E+05	8,11E+03	1,81E+03	6,30E+03
ETAPA X	5,23E+05	5,63E+03	5,17E+05	6,53E+03	1,14E+05	-1,08E+05

MODELO DE BENEFIELD & RANDALL

$$Va(dXt) + Vs(dXs) = Oi * Xo - Oi(1-W)Xe - W^*Oi^*Xr + (dXt)c^*Va \quad Va(dSt) + Vs(dSs) = Oi(So - Se) - (dSt)c^*Va$$

	dt	dt	dt	dt	dt	dt
	DERECHA	IZQUIERDA	DIF.	DERECHA	IZQUIERDA	DIF.
	Va^*Xt			Va^*St		
	$+Vs^*Se$			$+Vs^*Ss$		
ETAPA II	4,15E+05	-7,75E+03	4,23E+05	3,86E+03	1,60E+03	2,26E+03
ETAPA III	4,21E+05	-6,08E+02	4,22E+05	3,52E+03	1,84E+03	1,68E+03
ETAPA IV	2,90E+05	-1,86E+03	2,92E+05	4,75E+03	2,25E+03	2,50E+03
ETAPA VII	2,70E+05	-1,56E+05	4,25E+05	7,72E+03	1,03E+03	6,69E+03
ETAPA VIII	3,73E+05	1,35E+04	3,60E+05	4,52E+03	2,41E+04	-1,95E+04
ETAPA IX	4,70E+05	2,08E+05	-1,61E+06	8,11E+03	2,19E+05	-2,11E+05
ETAPA X	5,23E+05	1,35E+06	-8,26E+05	6,53E+03	2,66E+03	3,85E+03

$$g_2(0.7) = g_2(0.7 \cdot 1.027) = g_2(1.027) = -0.027 \approx -0.027$$

$$V_0 = \left(\frac{1}{2} \rho_0 + \frac{1}{4} \right) V_0 = \left(\frac{1}{2} \rho_0 + \frac{1}{4} \rho_0 \right) / \left(\rho_0 + \frac{1}{2} \rho_0 \right) = \frac{3}{4} \rho_0 = \frac{3}{4} \rho_{\text{sat}}.$$

ETAPA I	100000000	0.00000000	0.00000000	0.00000000	0.00000000
ETAPA II	4,156e-05	-6,448e-05	-1,454e-05	3,885e-05	-3,885e-05
ETAPA III	4,261e-05	-6,516e-05	-1,588e-05	3,859e-05	-3,859e-05
ETAPA IV	2,906e-05	-4,493e-05	-8,456e-05	-4,733e-05	-2,154e-05
ETAPA V	3,179e-05	-4,385e-05	-4,988e-05	3,729e-05	-3,022e-05
ETAPA VI	3,179e-05	-4,385e-05	-4,988e-05	-3,729e-05	-3,022e-05
ETAPA VII	4,706e-05	8,928e-04	5,602e-05	8,111e-11	8,373e-05
ETAPA VIII	5,285e-05	8,157e-04	5,016e-05	8,553e-11	8,553e-05

FALLA DE ORIGEN

VII- TRATAMIENTO DE LOS RESULTADOS EXPERIMENTALES.

7.1- Verificación de los ecuaciones clásicas con resultados Dinámicos.

Como se describe en el capítulo anterior, son básicamente cinco modelos matemáticos, los que tratan términos cinéticos, con los resultados promedio de cada etapa, se encontró el valor de dichos términos cinéticos, obteniéndose los resultados de la tabla 7.1.

Con estos resultados, se trataron de verificar las ecuaciones de cada modelo, haciendo el balance del sistema, encontrándose resultados poco satisfactorios.

7.2- Verificación de las Ecuaciones Cinéticas con los resultados del sistema Estabilizado.

Para esta verificación se entendió como sistema estabilizado, el momento en que la eficiencia promedio por etapa fue superior al 95%, sin importar gastos de influente ni gasto de recirculación de lodos. Las etapas del experimento, en que se pudo lograr esto, como se puede comprobar en el ANEXO D, son : II, III, IV, VII, VIII, IX, y X.

Los resultados obtenidos se muestran en la tabla 6.2

7.3- Resultados promedio.

Como se podrá observar en los resultados del " ANEXO A ", las variaciones de estos son cílicos sinuosas, es decir altas y bajas durante las 24 horas y por cada etapa. De manera que se optó por trabajar con la media de dichos resultados, considerando que sería lo más adecuado. La tabla que concentra dichos resultados, se muestra como el " ANEXO D ".

FALLA DE ORIGEN

TABLA 7.1

VALOR DE LOS TERMINOS CINETICOS, DE LOS DIFERENTES MODELOS
PARA CADA ETAPA

ETAPA	EFICIEN- CIA (%)	(A)		(B)		(C)		(D)		(E)		(F)		(G)	
		MONOD	CLASICO	MONOD CON DECAIMIENTO.		ECUACION DE MONOD	TEISSIER CON DECAIMIENTO	ANDREW		BENEFIELD & RANDALL		VAVILIN			
		(dX/dt)c	(dS/dt)c	(dX/dt)c	(dS/dt)c	(dX/dt)c	(dS/dt)c	(dX/dt)c	(dS/dt)c	(dX/dt)c	(dS/dt)c	(dX/dt)c	(dS/dt)c	(dX/dt)c	(dS/dt)c
I	90	214.94	-2.15E-06	214.67	2.15E-06	5.42E-03	5.42E-07	2.65E+02	2.65E+08	1.90E-02	1.90E-02	-2.67E-01	7.05E-01	3.05E-02	3.02E-06
II	98	239.40	1.36E-04	237.04	-1.36E-04	1.61E-03	-9.32E-04	2.41E-02	-1.55E-04	2.50E-06	-1.42E-02	-1.70E-01	-4.04E-01	-1.85E-01	-7.85E-02
III	98	88.45	6.32E-04	68.91	-8.32E-04	5.56E-02	-4.12E-05	7.47E-01	-8.47E-04	5.24E-01	-3.75E-02	-2.24E-00	-1.76E-00	-1.47E-01	-1.87E-03
IV	98	504.21	2.50E-04	500.13	-2.50E-04	7.03E-03	-3.82E-05	6.45E-02	-3.35E-04	1.01E-00	-5.20E-01	-4.08E-00	-1.15E-00	3.62E-01	-5.75E-01
V	92	187.17	9.13E-03	197.82	-9.13E-03	3.36E-03	-1.64E-05	4.41E-03	2.16E-05	-2.97E-01	1.45E-01	3.73E-10	-1.70E-01	1.87E-02	-9.65E-03
VI	94	287.25	5.24E-03	102.04	-5.24E-03	6.17E-03	-1.16E-05	1.83E-02	-6.71E-03	3.05E-01	-5.56E-02	-6.58E-01	-2.51E-01	1.38E-03	-5.86E-03
VII	95	364.62	6.43E-03	34.70	-6.43E-03	6.99E-03	-1.29E-05	1.33E-02	-8.16E-03	2.93E-01	-4.64E-02	-3.30E-02	-2.24E-01	-2.92E-02	-4.62E-02
VIII	96	172.83	1.73E-06	172.83	-1.73E-06	1.33E-03	-1.33E-07	1.91E-02	-1.91E-06	2.72E-06	-2.72E-02	2.83E-01	-4.95E-01	3.05E-01	-3.05E-05
IX	97	563.29	5.83E-06	563.29	-5.83E-08	2.15E-04	-2.15E-08	6.59E-02	-6.59E-08	1.46E-05	-1.49E-01	4.47E-03	-4.66E-02	1.92E-02	-1.92E-06
X	96	347.35	8.95E-03	237.92	-8.95E-03	1.08E-04	-2.17E-05	3.04E-02	-3.27E-03	1.20E-01	-2.39E-02	2.89E-03	-5.14E-01	4.58E-01	-3.11E-01
XI	93	470.74	3.68E-03	549.84	-3.86E-03	7.02E-03	-5.40E-04	8.77E-02	-4.85E-03	7.77E-00	8.05E-01	-2.56E-01	-1.23E-01	2.82E-02	-1.58E-03
XII	93	159.21	-1.24E-03	(57.89)	1.24E-03	1.01E-03	9.55E-03	-1.57E-14	-1.22E+15	4.89E-00	3.80E-01	1.37E-04	3.10E-02	-1.92E-02	1.91E-05
XIII	98	394.52	-9.11E-03	251.96	9.11E-03	3.32E-03	8.01E-04	2.91E-02	1.00E-01	2.11E-01	4.68E-02	3.31E-02	2.30E-01	-8.38E-01	1.36E-03
XIV	50	144.25	1.44E-09	144.25	-1.44E-09	2.82E-03	-2.82E-10	1.70E-02	-1.70E-09	7.27E-06	-7.27E-01	1.91E-04	-1.13E-05	1.19E-02	-1.19E-06
XV	91	148.67	8.52E-02	130.19	-8.52E-02	1.39E-03	-8.19E-03	1.40E-02	-8.10E-02	9.08E-01	-5.27E-00	8.45E-02	-2.37E-02	3.71E-01	-3.22E-01
XVII	70	29.48	-3.43E-02	(0.78)	3.43E-02	1.76E-02	3.31E-03	-1.50E-13	-2.52E-14	1.37E-01	2.29E-03	4.39E-03	8.59E-03	-2.99E-00	3.06E-01

VIII- OPTIMIZACIÓN DEL PROCESO.

En este caso, se debe entender como " optimización del proceso ", al mantener este entre eficiencias del 95% al 99% medidos como DBO_5^{TOT} - DBO_5^{SOL} del influente-efluente respectivamente.

8.1- Variación de las Calidades del Influente durante las 24 horas.

Durante el desarrollo de cada una de las etapas del proyecto, se empezó a observar que operando de la misma manera que cuando se alcanzó una eficiencia por primera vez, superior al 95%, no se conservó esta por un periodo mayor de 2 días, esto obligó a observar más minuciosamente el proceso durante las 24 hrs. encontrándose que por las noches la calidad del influente era similar a la calidad del agua potable, es decir esto hizo suponer que en horarios nocturnos estaba escasa el agua residual y predominaba agua limpia, seguramente producto de fugas de la red de agua potable. (fig. 8.1a). Obviamente esto perturbó el sistema y hubo necesidad de tener dos sistemas de operación: uno durante el dia y otro por la noche.

8.2- Cambios obligados en la operación del sistema.

Por las razones antes descritas, hubo necesidad de modificar la operación del sistema. Básicamente consistió en variar la recirculación de lodos de dia y de noche, es decir incrementando el gasto recirculado de noche a comparación del de dia.

IX. CONCLUSIONES Y RECOMENDACIONES

1. La puesta en marcha sin siembra, de una planta de tratamiento por lodos activados, producto del escalamiento de un estudio piloto al prototipo, funcionó satisfactoriamente y se logró estabilizar el sistema en tan sólo dos semanas, es decir, al término de este tiempo, se logró obtener una eficiencia superior al 95% medida como $\text{DBO}_{5\text{días}}$, $\text{DBO}_{5\text{días}}$ entrada salida respectivamente.
2. En nuestro país (Méjico), es de gran importancia la puesta en marcha sin usar lodos de siembra, en sistemas de tratamiento de este tipo, debido a que evita costos innecesarios generados por el acarreo de lodos-siembra de otras plantas que, seguramente estarán a grandes distancias a la que se pondrá en marcha. En otras palabras, las pocas plantas de tratamiento de este tipo que existen en nuestro país, genera dicho inconveniente. Por otro lado, esta actividad, evita grandes tiempos de maduración del sistema, temor de que nunca se podrá vaciar en su totalidad éste para darle mantenimiento por completo y por lo tanto, dicho mantenimiento se daría a medias. También es ventaja de esta actividad, el que al iniciarla, los lodos que se van generando, simultáneamente se van aclimatando y esto implica que conforme pasa el tiempo, la calidad del efluente mejorará hasta alcanzar su máxima eficiencia, la cual deberá considerarse entre el 95% y 99%, lo cual implica un gran avance, puesto que en los años 40, se hablaba de una eficiencia máxima del 90% (Ref. 8).

3. Respecto a la potencia aplicada para la aireación, desde el primer minuto después del inicio de la puesta en marcha del sistema, se pudo comprobar el exceso de ésta, como se podrá observar en el ANEXO B, en las etapas con eficiencia superior al 95%, fue superior al 40%, llegando hasta un 207%. Esto implica que la transferencia de O₂ operando un sólo aireador es suficiente, en otras palabras, el sistema puede operar con el 50% de la capacidad de aireación instalada significando con el 50% de la capacidad de aireación instalada significando con ello, ahorro en consumo de energía y por lo tanto, menor costo en la operación, conservación y mantenimiento del mismo sistema. Por otro lado esto viene a comprobar que una buena suspensión de los lodos en el tanque. Se realizó una prueba con los dos aireadores funcionando y esto provocó que a los 45 minutos, se presentará una excesiva flotación de lodos en el sedimentador secundario.
4. En el presente estudio, se logró operar el sistema con un gasto al 10% del diseño (20 LT/seg), encontrándose que, a pesar de incrementar éste, no mostró disminución la calidad del efluente, el tiempo de retención hidráulico en el tanque y la tasa de derrame en el sedimentador secundario, quedaron dentro de los rangos que marcan las estadísticas mundiales (Ref. 5).

5. Debido a la baja concentración de DBO₅ del influente en los períodos nocturnos, fue necesario implementar una forma de operación durante el día y otra durante la noche, siendo la diferencia entre una y otra, el incremento del gasto de recirculación por las noches, entre un 10 y 15% del registrado durante el día.
6. En general, los valores de los coeficientes cinéticos K_s, k, Y K_d, en las etapas de mayor eficiencia, coinciden con los indicados en las publicaciones METCALF & EDDY y RAMALHO (ref. 4 y 5), sin embargo en algunos casos no lo hacen, es cuando el sistema no está estabilizado.
7. Se recomienda la búsqueda de nuevos modelos cuyos componentes, no sean valores generados por curvas lineales, ya que éstas pudieran ser cuadráticas. Lo anterior se basa en el hecho de que términos cinéticos $(dx_t/dt)c$ y $(dS_t/dt)c$ de un mismo modelo en la etapa, no se ajustan al balance del mismo.
8. Se recomienda, para un futuro estudio, obtener los valores de X_s y S_s (en el sedimentador), a lo largo del mismo, es decir, a diferentes profundidades, ya que los utilizados en este estudio para el balance del sedimentador y el balance total del sistema, son los promedios de X_t, X_r, X_e, y S_t, S_r y S_e, tomados exclusivamente para completar el estudio.

9. Se recomienda el diseño y la construcción de un digestor de lodos, que pudiera ser aerobio, anacrobio o mixto, logrando con ello, utilizar los lodos tratados como acondicionadores de suelos en las áreas verdes de C.U. y no tirarlos al drenaje como actualmente se hace. El área propuesta para ello, es en el tanque de regularización pero en forma elevada, como están construidas las oficinas y laboratorios en la misma planta.

FALLA DE ORIGEN

X.- REFERENCIAS.

1.- Water measurement manual

departamen of the Interior
Bureau of reclamation- United States
first Edition, Denver Colorado
1953

2.- Título : Evaluación del diseño y de la operación y capacitación del personal de la Planta de Tratamiento de Aguas de descenso de C.V.

Autores: Miryoussef Norouzian
Esperanza Ramírez C.
Victoria Alcántara
Roberto González T.

Editoria: Instituto de Ingeniería-U.N.A.M.

Año : Abril de 1984.

3.- Título " Estudios dinámico del Proceso de Iodos Activados (Ira. Etapa)."

Proyecto 3307 y 4322

Autores: Viñas, Sesdic M.

Guzmán Ríos B.E.

Flores Torres C.R.

Fecha: Noviembre de 1984

Editorial: Instituto de Ingeniería (Informe de Proyecto).

4.- Título: **Introduction wastewater Treatment Processes.**

Autor: Ramalho R.S.

Edición: 2da, 1983.

Editorial: Academic Press.

5.- Título: **Wastewater engineering**

treatment, Disposal Reuse.

Autor: Metcalf & Eddy, Inc.

Edición: 2da, 1979.

Editorial: McGraw Hill Book Company.

6.- Título : **Generación de Lodos Activados A partir de Agua Residuales.**

Proyecto 5303

Autores: Guzmn Ríos B.E.

Flores Torres C.R.

Viñas Sendic M.

Fecha: Agosto de 1985.

Editorial: Instituto de Ingeniería (Informe de Proyecto).

7.- Título: **Estadística Descriptiva.**

Autor: Rascon Chávez O.A.

Edición: 7a Marzo de 1986

Editorial: DEPFI-UNAM (SERIE AZUL).

8.- Título: **Sewerage and Sewage Treatment.**

Autor: Baibitt Harold E., M.S.

Edición: Fifth Edition de 1940

Editorial: JOHN WILEY & SONS, INC.

ANEXO A

Resultados de los Análisis de Laboratorio por etapas

ETAPA I (ARRANQUE DEL SISTEMA)

 $Q_i = 10 \text{ m}^3/\text{seg}$ $Q_r(\text{DIA}) = 36\%$ $Q_r(\text{NOCHE}) = 0\%$

FECHA	HORA	X_a	X_t	X_r	X_e	X_{rot}	S_o	S_t	S_r	S_e	($S_{o, SSV, t, r, e}$)	C	Q_i	Q_r	Q_w	W	F/M	H	R	IVL			
		mg/l	mg/l	mg/l	mg/l	mg/l	mg/l	mg/l	mg/l	mg/l	mg/l	mg/l	l/s	l/s	m³/d	M'	d¹	(hrs)	(d)	(m³/d)			
17-02-05	08:00	48	40	144	24	3.69	153	33	67	33	43	7.67	2.29	3.00	30	0	1.00E05	-	5.65	16:09	12,952,611 11	29	
	12:00	64	70	104	24	1.49	207	63	80	13	93	9.65	1.81	1.00	22*	0	1.00E05	-	1.75	14:05	31,385,771 85	24	
	15:00	56	68	128	28	1.63	87	17	16	13	85	8.43	1.91	1.00	22*	0	1.00E05	-	2.66	14:22	24,722,346 05	29	
	20:00	44	70	112	36	1.60	63	22	24	17	73	9.73	2.51	1.00	41	0	1.00E05	-	1.53	14:08	29,143,537 50	65	
	08:00	56	24	1,340	24	55.83	111	23	75	15	65	9.65	2.63	1.00	26	0	1.00E05	-	7.71	14:19	635,169 55	83	
	12:00	62	94	164	12	1.71	144	110	26	15	92	8.16	1.18	0.00	76	0	1.00E05	-	2.22	15:47	26,727,123 17	53	
08-02-05	15:00	78	96	136	16	1.42	147	22	16	22	85	8.16	5.00	1.00	61	0	1.00E05	-	7.32	15:07	32,915,508 86	52	
	20:00	14	108	124	24	1.15	75	18	26	17	77	7.83	3.81	0.00	49	0	1.00E05	-	1.01	16:14	40,613,487 10	92	
	08:00	38	54	8,340	8	172.69	138	19	30	19	85	7.83	2.74	0.00	35	0	1.00E05	-	3.71	16:14	269,597 02	74	
	12:00	70	76	169	10	2.11	204	25	90	22	81	7.83	3.59	0.00	46	0	1.00E05	-	3.89	16:14	22,149,392 50	131	
	15:00	68	118	128	38	1.05	147	26	29	29	89	7.83	3.93	0.00	50	0	1.00E05	-	1.61	16:14	49,987,307 81	67	
	20:00	54	68	8,880	72	130.59	235	7	84	6	97	8.16	5.30	0.00	65	0	1.00E05	-	5.23	15:57	357,078 87	102	
19-02-05	08:00	48	40	140	600	5	4.29	125	12	13	11	91	8.16	3.49	0.00	44	0	1.00E05	-	1.10	16:19	10,880,403 35	74
	12:00	59	150	615	18	3.65	162	14	26	10	61	7.81	3.21	0.00	41	0	1.00E05	-	0.92	16:14	12,111,761 23	62	
	15:00	48	75	9,500	25	125.03	117	11	74	4	97	8.16	5.30	0.00	66	0	1.00E05	-	2.28	16:19	372,042 40	92	
	20:00	64	160	520	15	5.13	138	11	23	4	97	7.83	3.41	0.00	40	0	1.00E05	-	1.25	16:14	9,094,996 12	69	
	08:00	52	152	309	12	1.65	65	29	42	10	85	8.16	3.97	0.00	4*	0	1.00E05	-	0.60	16:19	25,180,357 20	25	
	12:00	70	76	170	10	2.05	225	25	12	91	7.71	3.27	0.00	49	0	1.00E05	-	1.76	17:07	23,034,261 44	44		
03-02-05	08:00	6	114	4,300	17	37.72	210	15	85	16	91	7.71	4.00	0.00	41	0	1.00E05	-	1.76	17:07	25,516 59	53	
	12:00	70	76	170	10	2.05	225	25	12	91	7.71	3.40	0.00	41	0	1.00E05	-	0.64	16:55	21,724,326 04	84		
	15:00	44	120	359	5	2.05	116	35	20	17	63	9.13	2.08	0.00	33	0	1.00E05	-	1.57	16:13	8,626,870 73	71	
	20:00	43	120	650	18	5.42	120	18	30	11	91	8.16	4.16	0.00	13	0	1.00E05	-	2.27	16:19	865,114 49	71	
	08:00	62	110	7,540	25	53.85	204	11	44	16	92	8.16	2.31	0.00	31	0	1.00E05	-	2.13	15:47	8,553,174 76	147	
	12:00	65	122	220	12	6.78	201	3	26	5	93	8.16	2.77	0.00	34	0	1.00E05	-	0.63	16:19	26,112,452 19	43	
10-02-05	08:00	43	224	400	21	1.73	123	12	14	12	93	8.16	2.54	0.00	31	0	1.00E05	-	0.57	15:57	12,569,882 34	109	
	12:00	37	192	710	20	3.79	170	22	15	17	82	8.16	2.45	0.00	30	0	1.00E05	-	1.96	16:14	3,720,502 59	102	
	15:00	69	150	1,880	15	12.63	177	14	84	14	82	8.16	1.60	0.00	31	0	1.00E05	-	1.97	16:10	11,950,644 52	63	
	18:00	72	220	910	13	3.69	165	13	22	11	93	8.16	2.09	0.00	25	0	1.00E05	-	0.63	15:10	15,724,170 35	62	
	08:00	44	220	666	74	2.97	170	18	22	16	85	8.16	2.15	0.00	30	0	1.00E05	-	1.36	16:22	11,744,540 22	77	
	12:00	9	254	509	2	3.17	261	14	18	10	91	10.70	3.47	0.00	21	0	1.00E05	-	1.86	13:56	5,984,755 34	57	
17-02-05	08:00	82	146	2,269	22	16.15	16	39	77	11	63	8.16	3.18	0.00	31	0	1.00E05	-	1.20	15:57	44,705,385 09	145	
	12:00	59	192	209	16	1.64	153	16	54	6	95	8.16	2.59	0.00	32	0	1.00E05	-	0.44	15:57	22,785,455 56	53	
	15:00	68	190	710	16	2.04	204	22	35	16	81	8.16	2.44	0.00	31	0	1.00E05	-	0.99	16:15	22,785,455 53	175	
	20:00	24	224	650	18	3.79	150	18	32	24	84	8.00	2.67	0.00	21	0	1.00E05	-	1.97	16:14	2,481,189 50	62	
	08:00	43	167	329	25	18.10	210	9	74	4	68	7.85	2.45	0.00	31	0	1.00E05	-	1.58	16:14	4,752,132 48	147	
	12:00	59	150	1,570	24	9.47	174	14	52	6	97	7.81	2.14	0.00	27	0	1.00E05	-	0.62	16:14	12,350,129 11	102	
21-02-05	08:00	35	294	1,110	18	3.78	165	40	32	10	94	7.63	2.31	0.00	33	0	1.00E05	-	0.32	16:19	16,885,071 05	50	
	12:00	25	314	950	24	2.76	75	6	19	10	87	8.06	2.77	0.00	35	0	1.00E05	-	1.29	16:19	16,362,289 59	55	
	15:00	50	200	560	36	4.50	174	12	60	7	56	8.06	2.45	0.00	31	0	1.00E05	-	0.49	16:14	16,493,461 74	141	
	20:00	53	429	1,079	18	2.55	261	11	74	4	28	7.83	2.28	0.00	32	0	1.00E05	-	0.96	15:57	2,874,134 70	145	
	08:00	45	226	3,700	24	16.13	59	32	74	7	58	8.16	2.50	0.00	25	0	1.00E05	-	0.82	16:14	8,326,692 00	76	
	12:00	20	350	1,000	20	5.00	204	7	46	4	59	7.83	1.92	0.00	27	0	1.00E05	-	2.93	14:16	1,560,191 36	145	
24-02-05	08:00	65	172	5,140	13	29.76	216	15	89	12	94	8.16	2.31	0.00	27	0	1.00E05	-	0.76	16:14	5,169,181 29	125	
	12:00	67	47	494	3,680	26	9.02	213	14	56	12	94	7.83	2.45	0.00	31	0	1.00E05	-	0.95	14:17	9,553,324 56	145
	15:00	65	55	173	1,640	16	4.58	260	16	27	11	53	8.61	2.45	0.00	23	0	1.00E05	-	1.16	16:14	7,547,153 50	119
	20:00	33	736	2,100	9	6.46	208	7	27	3	46	8.16	1.29	0.00	22	0	1.00E05	-	1.16	16:15	7,055,589 21	115	
	08:00	93	599	3,180	17	8.16	70	5	56	4	55	8.16	2.27	0.00	23	0	1.00E05	-	0.24	15:40	7,547,153 50	119	
	12:00	74	610	2,400	17	3.61	70	14	15	4	53	8.16	2.19	0.00	27	0	1.00E05	0.00	0.15	15:14	11,851,167 52	102	
25-02-05	08:00	46	170	7,026	2	58.50	231	5	37	4	58	8.16	3.21	0.00	25	0	1.00E05	-	2.41	15:47	1,913,593,15	416	
	12:00	-	-	-	-	-	-	-	-	-	-	-	-	-	-	-	-	-	-	-			

 $Q = Q_i = \text{gasto de influente}$ $Q_r = \text{gasto de recirculación}$ $X_L = \text{SSV en el influente}$ $X_t = \text{SSV en el tanque}$ $X_r = \text{SSV en la recirculación}$ $X_e = \text{SSV en el efluente}$ $Q_o = DB_3 \text{ en el influente}$ $Q_t = DB_3 \text{ en el tanque}$ $Q_r = DB_3 \text{ en la recirculación}$ $Q_e = DB_3 \text{ en el efluente}$ $Q_w = \text{Gasto de purga de lodos}$ $W = \text{Fracción de lodos en m}^3$ $Q_H = \text{Tiempo de retención Hídrico}$ $\Delta C = \text{Tiempo de residencia celular}$ $IVL = \text{Índice Volumétrico de lodos}$

ETAPA II

 $Q_i = 10 \text{ l/s}$ $G_r = (DIA) = 39\%$ $G_r (\text{NOCHE}) = 0\%$

FECHA	HORA	Xe	XI	Xt	Xe	Xt/I/I	So	SI	Sr	Sa	(SI+SR)/100	D	DI	SI	SR	DI	NOCHE	DI	NOCHE	DI	NOCHE	W	A	F.M.	H.I.	R.E.	I.V.L.
		mg/l	mg/l	mg/l	mg/l	mg/l	mg/l	mg/l	mg/l	mg/l	mg/l	%	1/4	1/4	1/4	1/4	1/4	1/4	1/4	1/4	1/4	1/4	1/4	1/4	(hrs)	(d)	(d)
13-SEP-85	12:00	20	400	2,740	11	6.65	210	9	13	3	94	8.16	5.47	0.00	42	0	3,761.60	-	0.76	16.87	18.01	-	-	-	-	-	296
	16:00	36	440	1,600	8	3.77	228	8	13	3	98	8.16	5.46	0.00	43	0	1,00E+05	-	0.75	16.87	12,316,838.65	-	-	-	-	-	-
	20:00	10	510	1,400	4	2.76	86	4	9	2	97	7.13	3.20	0.00	41	0	1,00E+05	-	0.19	16.94	16,946,752.14	-	-	-	-	-	-
14-SEP-85	10:00	42	310	4,400	9	14.39	180	9	17	3	98	8.16	3.32	0.00	41	0	1,00E+05	-	0.68	16.87	3,241,119.51	-	-	-	-	-	-
	14:00	38	600	1,300	3	2.17	120	10	20	5	99	7.03	2.20	0.00	41	0	1,00E+05	-	0.19	16.94	21,521,876.92	-	-	-	-	-	-
15-SEP-85	10:00	32	470	3,000	3	6.28	114	9	18	3	97	8.00	5.18	0.00	39	0	3,671.00	-	0.36	18.19	18.40	-	-	-	-	-	298
	12:00	30	580	2,600	4	5.66	264	17	20	3	99	8.00	5.15	0.00	39	0	1,00E+05	-	0.67	18.19	3,276,050.00	-	-	-	-	-	-
	17-SEP-85	08:00	52	240	6,800	9	26.17	378	6	8	4	99	8.10	2.97	0.00	35	0	1,00E+05	-	2.51	19.24	1,752,643.48	-	-	-	-	-
17-SEP-85	12:00	56	540	2,600	9	3.74	150	7	10	3	98	8.14	5.08	0.00	38	0	1,00E+05	-	0.43	16.13	12,465,315.71	-	-	-	-	-	-
	16:00	58	540	1,610	9	3.37	240	7	8	3	99	8.16	2.16	0.00	37	0	1,00E+05	-	0.67	16.87	12,825,352.74	-	-	-	-	-	-
18-SEP-85	08:00	78	740	2,500	13	3.16	180	7	7	3	98	8.10	2.77	0.00	34	0	1,00E+05	-	0.37	15.93	14,821,355.25	-	-	-	-	-	-
	20:00	70	1,250	3,450	13	2.85	100	10	8	3	97	8.10	3.20	0.00	38	0	1,00E+05	-	0.14	15.24	16,311,048.77	-	-	-	-	-	-
19-SEP-85	10:00	38	1,720	2,100	7	1.24	150	3	3	2	98	8.00	5.47	0.00	43	0	1,00E+05	-	0.69	15.99	2,712,153.51	-	-	-	-	-	-
	20:00	18	590	1,100	4	3.14	180	9	3	2	99	8.14	2.99	0.00	39	0	1,00E+05	-	0.48	15.93	12,372,642.09	-	-	-	-	-	-
21-SEP-85	10:00	24	550	1,040	3	1.06	96	2	3	2	99	8.00	2.20	0.00	40	0	1,00E+05	-	0.16	14.19	24,014,254.61	-	-	-	-	-	-
	14:00	54	110	1,420	2	12.91	120	2	4	2	98	8.10	2.97	0.00	47	0	3,301.01	-	1.62	16.19	1.07	-	-	-	-	-	-
22-SEP-85	10:00	46	660	2,110	7	3.30	354	2	4	3	99	7.13	2.97	0.00	38	0	1,00E+05	-	0.78	16.54	14,117,430.26	-	-	-	-	-	-
	14:00	74	420	1,240	1	2.36	125	2	5	2	98	7.13	3.18	0.00	39	0	2,181.01	-	0.44	16.51	7.32	-	-	-	-	-	-
		50	510	1,400	1	2.46	162	2	5	1	99	8.00	3.20	0.00	40	0	1,00E+05	-	0.47	16.19	16,318,666.44	-	-	-	-	-	-

Q = Q_i = gasto de influente.Q_r = gasto de recirculación

Xe = SSV en el influente

XI = SSV en el tanque

Xt = SSV en la recirculación

Xt/I/I = SSV en el efluente

Xe = SSV en el efluente

Sc = DBO en el influente

SI = DBO en el tanque

Sr = DBO en la recirculación

SE = DBO en el efluente

Cw = Gasto de purga de bolas

W = Fracción de bolas en SE

H.I. = Tiempo de retención Hidráulica

R.C. = Tiempo de residencia celular

I.V.L. = Índice Volumétrico de fuentes

ETAPA III

 $Q_i = 10 \text{ l/s}$ $Q_r = (\text{DIA}) = 2\%$ $Q_r (\text{NOCHE}) = 0\%$

FECHA	HORA	X_o	X_t	X_r	A_o	A_{T+R}	S_o	S_t	S_r	Δ_o	$(Q_i + Q_r) / 100$	Q_o	DIA	Sf	S_NOCHE	M_o	M_NOCHE	C_w	w	F_M	η_M	η_C	IVL
		mg/l	mg/l	mg/l	mg/l	mg/l	mg/l	mg/l	mg/l	mg/l	mg/l	l/s	hrs	hrs	hrs	hrs	hrs	hrs	hrs	hrs	hrs	hrs	(hrs)
23 SEP '06	12:00	62	880	1,860	13	2.74	135	6	4	0.7	7.83	3.78	0.00	48	0	3.15E+01	-	0.20	16.54	6.41	100		
	16:00	62	780	1,900	15	2.44	144	7	2	1	89	7.63	3.97	0.00	61	0	1.00E+00	-	0.27	16.51	19.142,865.26	143	
24 SEP '06	20:00	63	640	2,300	25	6.00	86	7	8	2	97	8.16	4.16	0.00	61	0	1.00E+00	-	0.22	16.87	8.325,069.00	591	
	08:00	268	660	1,200	17	2.18	174	7	8	3	90	8.16	3.78	0.00	48	0	1.00E+01	-	0.48	16.87	11.50	291	
12:00	303	660	1,400	3	2.16	208	8	7	3	99	8.16	4.16	0.00	61	0	1.00E+00	-	0.67	16.87	21.649,702.14	260		
	16:00	60	620	1,600	10	2.52	160	7	10	6	97	8.00	3.97	0.00	60	0	1.00E+00	-	0.38	16.19	16.542,666.13	260	
18:00	20:00	42	610	1,800	8	2.06	102	7	8	6	99	8.00	3.97	0.00	61	0	1.00E+00	-	0.25	16.19	16.802,490.66	410	
	25-SEP-'06	08:00	60	460	920	18	2.04	103	6	7	4	98	8.33	4.10	0.00	60	0	1.00E+00	-	0.83	16.56	22.808,290.01	400
12:00	68	410	920	23	2.14	306	13	7	1	100	4.13	4.09	0.00	49	0	2.02E+01	-	1.10	16.56	10.81	1346		
	16:00	69	410	900	20	2.20	111	4	6	2	99	4.33	3.99	0.00	49	0	1.00E+00	-	0.42	16.66	21.242,692.22	406	
26 SEP '06	08:00	60	470	1,400	11	3.11	120	11	8	5	93	4.33	3.96	0.00	43	0	2.71E+00	-	0.30	16.66	19.32	643	
	12:00	38	630	900	3	1.81	128	13	10	5	99	8.20	4.16	0.00	61	0	1.00E+00	-	0.36	16.80	26.743,811.49	771	
18:00	24	610	1,400	7	2.41	169	9	9	6	99	8.00	4.03	0.00	61	0	1.00E+00	-	0.41	16.19	19.316,267.14	361		
	20:00	28	610	1,600	8	3.14	138	11	10	6	97	8.15	4.10	0.00	61	0	1.00E+00	-	0.41	16.93	14.663,400.13	440	
27-SEP-'06	08:00	60	670	1,100	3	1.76	210	2	7	2	89	8.80	3.87	0.00	49	0	7.28E+00	-	0.67	16.66	23.943,670.00	110	
	12:00	64	640	1,300	4	2.13	276	14	8	1	101	8.31	4.00	0.00	49	0	1.00E+00	-	0.67	16.66	23.943,670.00	110	
18:00	68	820	1,600	2	2.52	126	3	11	1	99	8.20	4.16	0.00	42	0	1.00E+00	-	0.32	16.31	19.112,666.13	400		
	28-SEP-'06	08:00	22	510	1,640	20	3.02	174	6	7	4	93	8.66	4.10	0.00	49	0	1.00E+00	-	0.61	16.19	16.442,601.99	391
29-SEP-'06	10:00	38	620	1,800	7	3.46	90	7	7	3	97	8.32	3.79	0.00	49	0	7.28E+00	-	0.27	16.66	18.60	677	
	12:00	66	600	2,140	0	3.10	140	3	6	2	99	8.00	4.16	0.00	62	0	1.00E+00	-	0.36	16.19	16.056,601.27	436	
30-SEP-'06	09:00	70	670	1,840	2	2.75	33	6	4	3	91	7.83	3.70	0.00	43	0	2.62E+01	-	0.07	16.64	6.73	370	
	18:00	60	740	2,020	0	2.73	183	4	3	2	93	7.83	4.08	0.00	62	0	1.00E+00	-	0.36	16.64	17.028,373.13	746	
01-OCT-'06	20:00	68	700	2,420	1	3.46	98	4	6	4	93	8.00	3.78	0.00	47	0	1.00E+00	-	0.21	16.19	13.468,103.31	330	
	08:00	34	810	1,600	3	1.95	36	3	7	5	60	7.83	3.97	0.00	61	0	2.49E+01	-	0.06	16.54	9.94	220	
12:00	42	760	1,700	2	2.24	72	1	4	4	81	7.83	3.97	0.00	51	0	1.00E+00	-	0.14	16.64	26.046,417.68	742		
	16:00	69	820	1,300	0	1.40	90	3	7	3	97	8.00	3.97	0.00	50	0	1.00E+00	-	0.14	16.19	33.328,591.23	720	
20:00	114	720	1,700	1	2.47	186	2	7	3	94	7.92	3.68	0.00	49	0	1.00E+00	-	0.39	16.38	16.601,691.39	320		
	02-OCT-'06	08:00	32	1,020	1,810	8	1.80	138	2	6	1	94	7.83	3.97	0.00	51	0	1.00E+01	-	0.20	16.54	13.26	213
12:00	26	740	1,710	8	2.30	222	2	3	1	102	7.83	3.08	0.00	61	0	1.00E+00	-	0.44	16.14	20.297,495.29	330		
	16:00	32	710	1,740	8	2.45	78	2	6	3	89	8.00	3.97	0.00	50	0	1.00E+00	-	0.19	16.19	13.027,363.52	312	
20:00	60	780	2,020	8	2.68	84	7	6	4	75	7.81	3.78	0.00	49	0	1.00E+00	-	0.16	16.14	10.706,761.41	330		
	03-OCT-'06	08:00	36	720	2,040	14	2.83	84	3	4	2	99	8.33	3.82	0.00	45	0	1.00E+00	-	0.18	15.66	13.457,761.94	331
12:10	64	640	2,300	12	3.72	60	7	4	3	95	8.60	4.16	0.00	43	0	2.33E+01	-	0.16	16.24	5.59	121		
	18:00	88	780	1,980	9	2.64	36	1	6	6	89	8.26	4.16	0.00	61	0	1.00E+00	-	0.07	16.69	13.339,612.12	332	
20:00	46	660	2,600	0	3.68	24	4	4	3	89	8.20	3.79	0.00	46	0	6.22E+00	-	0.08	16.69	17.693	333		
	04-OCT-'06	08:00	32	600	2,040	8	3.40	84	2	3	3	95	8.13	4.16	0.00	61	0	1.00E+00	-	0.21	16.83	12.714,794.12	331
12:00	24	690	1,640	8	2.28	72	2	3	3	96	8.33	4.16	0.00	50	0	1.00E+00	-	0.16	16.66	19.616,849.73	436		
	18:00	60	780	1,940	3	2.46	57	1	4	3	96	8.03	3.97	0.00	49	0	1.00E+00	-	0.11	16.19	10.986,627.32	331	
20:00	36	660	2,100	6	3.23	82	4	3	2	95	8.26	3.97	0.00	48	0	1.00E+00	-	0.10	16.68	14.435,165.16	324		
	05-OCT-'06	16:00	62	770	1,840	17	2.39	144	13	10	7	95	8.13	4.09	0.00	60	0	1.00E+00	-	0.28	16.83	13.615,794.66	312
06-OCT-'06	08:00	38	640	1,890	19	3.06	144	7	13	7	99	8.16	3.78	0.00	46	0	1.89E+01	-	0.34	16.87	3.12	331	
	12:00	68	610	2,230	7	3.68	138	13	12	7	95	8.60	3.02	0.00	48	0	1.00E+00	-	0.36	16.24	12.765,371.64	327	

Q = Q_i = Gasto de influente.

Qi = Gasto de recirculación

Xo = SSV en el influente

Xi = SSV en el tanque

Xr = SSV en la recirculación

Xe = SSV en el efluente

Cw = Gasto de purga de fondos

W = Fracción de fondos en m³

Sf = DOD_2 en el influenteSr = DOD_2 en el tanqueSv = DOD_2 en la recirculaciónSe = DOD_2 en el efluente

IVL = Índice Volumétrico de fondos

dH = Tiempo de retención Hidráulica

tC = Tiempo de resistencia celular

dV = Índice volumétrico de fondos

ETAPA IV

 $Q_i = 10 \text{ l/s}$ $Q_r = (\text{DIA}) = 40\%$ $Q_r (\text{NOCHE}) = 0\%$

FECHA	HORA	A_e	X_t	X_r	A_e	X_{r1}	S_e	S_t	S_r	$\text{SSV}_{\text{INFLU}} \text{ mg/l}$	$\text{SSV}_{\text{REC}} \text{ mg/l}$	$\text{SSV}_{\text{EFFL}} \text{ mg/l}$	$\text{SSV}_{\text{REC}} \text{ mg/l}$	$\text{SSV}_{\text{EFFL}} \text{ mg/l}$	DIA_{H}	DIA_{N}	DIA_{R}	Q_i	Q_i	Q_i	Q_w	W	F_M	T_H	θ_c	IVL
		mg/l	mg/l	mg/l	mg/l	mg/l	mg/l	mg/l	mg/l	mg/l	mg/l	mg/l	mg/l	mg/l	mg/l	mg/l	mg/l	mg/l	mg/l	mg/l	mg/l	mg/l	mg/l	mg/l	mg/l	mg/l
08-OCT-86	12:00	124	730	1,740	10	2.38	128	11	6	1	89	0.00	3.20	0.00	40	0	4.18E+01	-	0.20	1e.18	4.00	304				
	18:00	42	800	1,860	7	2.33	300	6	9	2	89	7.83	3.20	0.00	41	0	1.00E-05	-	0.64	16.64	20.060,043.01	260				
	20:00	66	780	2,020	12	2.59	144	6	12	3	89	8.16	3.20	0.00	39	0	1.00E-06	-	0.20	15.87	18.005,763.41	120				
09-OCT-86	08:00	84	240	920	18	3.83	204	4	4	2	89	7.16	3.03	0.00	42	0	1.11E+02	-	1.13	19.09	1.10	303				
	12:00	64	260	1,220	7	4.69	312	8	2	4	89	7.03	3.03	0.00	39	0	1.00E-06	-	1.74	16.54	9.937,603.92	440				
	18:00	68	420	960	21	2.29	236	6	3	8	89	7.83	3.03	0.00	39	0	1.00E-06	-	1.16	16.64	20.400,759.25	214				
10-OCT-86	20:00	28	270	440	17	1.63	102	3	4	2	89	8.60	3.20	0.00	38	0	1.00E-06	-	0.77	15.24	28.613,047.73	66				
	08:00	81	240	920	16	3.83	246	17	17	11	89	8.18	3.20	0.00	39	0	6.73E+01	-	1.66	16.87	1.81	263				
	12:00	64	260	1,220	7	4.69	174	17	17	10	89	7.01	3.15	0.00	40	0	1.00E-06	-	0.98	16.38	9.957,604.92	153				

ETAPA V

 $Q_i = 10 \text{ l/s}$ $Q_r = (\text{DIA}) = 31\%$ $Q_r (\text{NOCHE}) = 0\%$

FECHA	HORA	A_e	X_t	X_r	A_e	X_{r1}	S_e	S_t	S_r	$\text{SSV}_{\text{INFLU}} \text{ mg/l}$	$\text{SSV}_{\text{REC}} \text{ mg/l}$	$\text{SSV}_{\text{EFFL}} \text{ mg/l}$	$\text{SSV}_{\text{REC}} \text{ mg/l}$	$\text{SSV}_{\text{EFFL}} \text{ mg/l}$	DIA_{H}	DIA_{N}	DIA_{R}	Q_i	Q_i	Q_i	Q_w	W	F_M	T_H	θ_c	IVL
		mg/l	mg/l	mg/l	mg/l	mg/l	mg/l	mg/l	mg/l	mg/l	mg/l	mg/l	mg/l	mg/l	mg/l	mg/l	mg/l	mg/l	mg/l	mg/l	mg/l	mg/l	mg/l	mg/l	mg/l	mg/l
10-OCT-86	18:00	68	420	960	21	2.29	174	23	18	20	89	8.16	2.68	0.00	31	0	1.00E-06	-	0.63	16.87	20.400,759.25	142				
	20:00	28	270	440	17	1.63	156	28	20	10	89	8.11	2.16	0.00	30	0	1.00E-06	-	0.87	16.91	28.614,047.73	136				
11-OCT-86	08:00	60	170	460	11	2.71	278	23	21	10	93	8.06	2.19	0.00	27	0	2.59E+01	-	2.42	16.07	0.02	-				
	12:00	29	70	480	4	8.86	234	26	22	7	97	8.16	2.09	0.00	31	0	6.00E+01	-	5.06	16.87	1.13	807				
12-OCT-86	16:00	69	70	620	3	7.43	252	23	21	16	91	8.00	2.72	0.00	33	0	6.00E+01	-	6.64	16.61	0.76	1.14				
	20:00	10	40	440	2	11.00	318	32	4	16	99	8.26	2.48	0.00	35	0	1.00E+02	-	12.17	16.03	0.42	2.044				
12-OCT-86	10:00	72	280	680	8	3.43	198	21	22	20	99	8.13	2.40	0.00	39	0	6.00E+01	-	1.07	16.93	2.27	21.				

$Q_i = \text{Q}_i = \text{gasto de influente}$
 $Q_r = \text{gasto de redención}$
 $X_0 = \text{SSV en el influente}$
 $X_t = \text{SSV en el tanque}$
 $X_r = \text{SSV en la recirculación}$
 $X_e = \text{SSV en el efluente}$

$S_e = \text{DBO}_5 \text{ en el influente}$
 $S_t = \text{DBO}_5 \text{ en el tanque}$
 $S_r = \text{DBO}_5 \text{ en la recirculación}$
 $S_e = \text{DBO}_5 \text{ en el efluente}$
 $Q_w = \text{Gasto de purga de lechos}$
 $W = \text{Fracción de lechos en m}^3$

$t_H = \text{Tiempo de retención Hidráulica}$
 $t_C = \text{Tiempo de residencia celular}$
 $IVL = \text{Índice Volumétrico de lechos}$

ETAPA VI

 $Q_i = 10 \text{ l/s}$ $Q_r = (\text{DIA}) = 21\%$ $Q_r (\text{NOCHE}) = 0\%$

FECHA	HORA	X_0	X_1	X_t	X_e	X_{R1}	S_0	S_1	S_t	S_e	$(P_{S1} + P_{T1})/2$	t	DIA	Q_i	Q_r	Q_r	Q_i	W	F_M	P_t	Φ_t	IVL
		mg/l	mg/l	mg/l	mg/l	mg/l	mg/l	mg/l	mg/l	mg/l	mg/l	hs	1/a	1/a	1/a	%	m/d	M ⁻¹	d ⁻¹	(hrs)	(d)	(M/d)
12-OCT-86	14:00	66	230	1,700	13	7.74	162	31	19	31	81	8.13	1.68	0.60	20	0	90.00	-	1.06	15.93	0.87	391
13-OCT-86	10:00	60	260	1,180	14	4.64	174	18	16	26	86	8.33	1.81	0.60	22	0	60.00	-	1.03	16.85	1.71	311
	14:00	68	300	920	13	3.07	192	23	14	4	96	9.13	1.73	0.60	21	0	80.00	-	0.98	15.93	1.90	267
14-OCT-86	00:00	34	162	970	8	6.99	210	0	13	9	86	8.36	1.73	0.60	21	0	90.00	-	2.01	15.51	0.87	563
	12:00	64	200	1,020	1	5.10	198	6	12	7	96	8.10	1.73	0.60	21	0	90.00	-	1.49	15.93	1.02	481
	18:00	38	310	1,020	1	3.29	210	8	12	6	97	8.20	1.73	0.60	21	0	90.00	-	1.03	16.80	1.57	293
	20:00	14	130	1,200	0	9.23	180	10	16	6	97	9.13	1.68	0.60	20	0	160.00	-	2.09	15.93	0.34	1,154
16-OCT-86	08:00	72	180	1,430	4	7.94	168	3	13	7	96	7.83	1.81	0.60	23	0	100.00	-	1.35	16.64	0.59	616
	12:00	46	180	1,880	4	9.22	132	4	10	6	96	8.00	1.73	0.60	22	0	130.00	-	1.09	16.19	0.39	721
	18:00	66	290	1,440	6	4.97	108	4	8	3	97	8.00	1.73	0.60	22	0	160.00	-	0.65	16.19	0.59	196
	20:00	30	400	1,480	13	3.65	78	18	7	4	86	7.83	1.26	0.60	16	0	160.00	-	0.26	16.64	0.80	400

ETAPA VII

 $Q_i = 10 \text{ l/s}$ $Q_r = (\text{DIA}) = 24\%$ $Q_r (\text{NOCHE}) = 49\%$

FECHA	HORA	X_0	X_1	X_t	X_e	X_{R1}	S_0	S_1	S_t	S_e	$(P_{S1} + P_{T1})/2$	t	DIA	Q_i	Q_r	Q_r	Q_i	W	F_M	P_t	Φ_t	IVL
		mg/l	mg/l	mg/l	mg/l	mg/l	mg/l	mg/l	mg/l	mg/l	mg/l	hs	1/a	1/a	1/a	%	m/d	M ⁻¹	d ⁻¹	(hrs)	(d)	(M/d)
18-OCT-86	48	360	1,820	7	4.60	234	26	11	2	90	8.06	2.08	0.00	26	0	110.00	-	0.87	16.09	0.89	416	
17-OCT-86	44	373	1,800	4	4.29	98	26	11	7	93	8.12	1.78	0.00	22	0	110.00	-	0.39	16.96	0.78	376	
18-OCT-86	66	360	1,880	11	4.80	120	16	2	2	90	8.08	1.73	2.17	21	0	120.00	-	0.61	16.03	0.81	311	
19-OCT-86	66	360	1,240	2	3.43	96	4	2	1	89	8.14	2.08	3.04	26	48	120.00	-	0.40	16.97	1.13	358	
20 OCT-86	100	460	1,640	2	3.42	30	4	2	1	97	8.24	2.14	4.12	26	60	126.00	-	0.13	16.72	1.00	278	

 $Q = Q_i = \text{gasto de influente.}$ $Q_r = \text{gasto de recirculación}$ $X_0 = SSV \text{ en el influente}$ $X_1 = SSV \text{ en el tanque}$ $X_t = SSV \text{ en la recirculación}$ $X_e = SSV \text{ en el efluente}$ $X_0 = SSV \text{ en el aguado}$ $S_0 = DEG_i \text{ en el influente}$ $S_1 = DEG_i \text{ en el tanque}$ $S_t = DEG_i \text{ en la recirculación}$ $S_e = DEG_i \text{ en el efluente}$ $Q_i = \text{Gasto de pugna de lodos}$ $W = \text{Fracción de lodos en m}^3$ $\tau_H = \text{Tiempo de retención Hidráulica}$ $\tau_C = \text{Tiempo de residencia celular}$ $IVL = \text{Índice Volumétrico de lodos}$

ETAPA VIII

 $Q_i = 10 \text{ l/s}$ $Q_r = (\text{DIA}) = 28\%$ $Q_r (\text{NOCHE}) = 35\%$

FECHA	HORA	Xo	Xt	Xr	Xi	Xi/H	Se	Si	Sr	Se	(Δ Se)/100	Q	Q_i	Q_r	$Q_r (\text{NOCHE})$	Qr	Qr (NOCHE)	Qr (dia)	Qr (noche)	Qr (total)	W	P-24	P-11	E	V	IVL
		mg/l	mg/l	mg/l	mg/l	mg/l	mg/l	mg/l	mg/l	mg/l	%	m³/h	l/s	l/s	l/s	l/s	l/s	l/s	l/s	l/s	l/s	kg/día	kg/día	kg/día	kg/día	kg/día
26-OCT-85		64	440	1,600	10	3.64	40	2	6	4	92	6.92	2.65	3.64	31	41	1.0CE-05	-	0.19	12.46	12,823,392.50					
27-OCT-85		30	500	1,560	2	2.54	60	4	6	4	94	10.02	2.68	2.86	28	28	1.0CE-05	-	0.27	12.98	19,341,121.31	294				
28-OCT-85		50	600	1,760	10	2.98	88	1	1	1	99	10.18	2.84	5.60	28	49	1.0CE-05	-	0.27	12.72	15,621,446.33	264				
29-OCT-85		50	420	1,560	10	3.03	132	8	12	7	95	10.03	3.04	-	31	0	1.0CE-05	-	0.67	12.91	12,654,233.74	340				
30-OCT-85		30	420	1,460	20	3.40	258	12	11	8	97	10.17	5.08	5.26	50	51	1.0CE-05	-	1.13	12.74	13,722,161.51	201				
31-OCT-85		10	470	1,400	0	2.98	108	17	27	12	89	1.50	3.64	4.68	31	41	1.0CE-05	-	0.42	12.38	16,654,457.80	411				
01-NOV-85		40	495	1,760	8	3.50	68	3	5	2	97	10.02	2.22	2.57	22	26	1.0CE-05	-	0.25	12.91	12,992,011.93	302				
02-NOV-85		58	470	2,020	7	4.30	72	5	11	2	97	6.64	2.05	2.44	21	25	1.0CE-05	-	0.28	13.03	16,949,624.23	221				
03-NOV-85		29	510	2,480	6	4.88	72	6	11	2	97	6.86	2.12	2.53	21	25	1.0CE-05	-	0.28	12.99	9,556,205.63	160				
04-NOV-85		44	590	2,220	12	3.76	72	5	11	2	97	6.88	2.15	3.24	27	32	1.0CE-05	-	0.23	12.98	12,362,737.32	182				
05-NOV-85		48	560	2,240	10	3.39	72	5	11	2	97	10.06	2.13	3.12	21	31	1.0CE-05	-	0.20	12.68	13,739,234.62	151				
06-NOV-85		60	710	2,360	9	3.24	78	6	16	2	97	10.05	2.50	3.47	25	35	1.0CE-05	-	0.10	12.89	14,304.570.87	103				
07-NOV-85		42	740	2,020	6	2.73	102	12	13	7	96	6.84	2.64	3.47	30	35	1.0CE-05	-	0.40	12.03	17,057,367.13	202				

ETAPA IX

 $Q_i = 10 \text{ l/s}$ $Q_r = (\text{DIA}) = 31\%$ $Q_r (\text{NOCHE}) = 37\%$

FECHA	HORA	Xo	Si	Co	Cr	Ca	Sc	Se	Cr	Co	(Δ Co)/100	Q	Q_i	Q_r	$Q_r (\text{NOCHE})$	Qr	Qr (NOCHE)	Qr (dia)	Qr (noche)	Qr (total)	W	P-24	P-11	E	V	IVL
		mg/l	mg/l	mg/l	mg/l	mg/l	mg/l	mg/l	mg/l	mg/l	%	m³/h	l/s	l/s	l/s	l/s	l/s	l/s	l/s	l/s	kg/día	kg/día	kg/día	kg/día	kg/día	
08 NOV-85		22	750	2,280	8	3.04	222	6	10	4	98	12.02	3.13	4.22	20	35	1.0CE-05	-	0.68	10.72	15,328,814.47	213				
09 NOV-85		26	730	2,040	8	2.79	72	12	27	2	97	11.93	3.38	4.29	20	36	1.0CE-05	-	0.22	10.80	16,668,332.64	-				
10 NOV-85		18	650	2,100	8	3.18	60	12	28	2	97	12.05	3.68	4.21	33	35	1.0CE-05	-	0.70	10.75	14,655,237.12	303				
11 NOV-85		22	700	2,180	3	3.11	243	14	31	8	97	12.05	4.32	5.12	30	42	1.0CE-05	-	0.78	10.74	14,973,032.11	357				

 $Ci = Ci$ gasto de influente. $Cr = Cr$ gasto de recirculación $Xo = Xo$ en el influente $Xi = Xi$ en el tanque $Xr = Xr$ en la recirculación $Xo = Xo$ en el efluente $Si = Si$ en el influente $Sr = Sr$ en la recirculación $Se = Se$ en el efluente $Qr = Qr$ gasto de purga de lodos $W = W$ fracción de lodos en m³ $So = So$ DBO₅ en el influente $St = St$ DBO₅ en el tanque $Sr = Sr$ DBO₅ en la recirculación $Se = Se$ DBO₅ en el efluente $Qr = Qr$ gasto de purga de lodos $W = W$ fracción de lodos en m³ $tR = tR$ Tiempo de retención Hidráulica $tC = tC$ Tiempo de residencia celular $IVL = IVL$ Índice Volumétrico de lodos

ETAPA X

$Q_i = 10 \text{ l/s}$

$Q_r = (D/A) = 32\%$

$Q_r (\text{NOCHE}) = 41\%$

FECHA	HORA	X_0	X_1	X_T	X_e	$X_{r/A}$	S_0	S_1	S_T	S_e	$(D-A)/A \cdot 100$	Q	D/A	$Q_r / D/A$	Q_r / Q	Q_w	W	F_M	F_H	F_C	IVL
		mg/l	mg/l	mg/l	mg/l	mg/l	mg/l	mg/l	mg/l	mg/l	%	l/s	l/s	%	l/s	m³/d	W	hrs	hrs	(MLG)	
12-NOV-85	-	780	2,520	11	3.23	287	9	2	5	98	14.08	2.95	6.56	28	40	1.00E-05	-	0.89	9.21	14,433,188.10	268
13-NOV-85	-	770	2,240	4	2.91	114	4	8	5	98	14.04	4.14	5.03	29	38	4.00E-06	-	0.39	9.23	40.07	279
14-NOV-85	-	820	2,320	6	2.80	98	19	29	5	95	14.05	5.48	6.54	39	47	2.25E-01	-	0.30	9.22	7.41	281

ETAPA XI

$Q_i = 10 \text{ l/s}$

$Q_r = (D/A) = 35\%$

$Q_r (\text{NOCHE}) = 38\%$

FECHA	HORA	X_0	X_1	X_T	X_e	$X_{r/A}$	S_0	S_1	S_T	S_e	$(D-A)/A \cdot 100$	Q	D/A	$Q_r / D/A$	Q_r / Q	Q_w	W	F_M	F_H	F_C	IVL
		mg/l	mg/l	mg/l	mg/l	mg/l	mg/l	mg/l	mg/l	mg/l	%	l/s	l/s	%	l/s	m³/d	W	hrs	hrs	(MLG)	
15-NOV-85	38	950	2,440	5	2.57	84	11	13	2	98	18.02	5.23	5.99	33	37	4.00E-06	-	0.28	8.09	45.39	241
16-NOV-85	30	680	2,520	6	3.71	144	5	7	2	99	16.37	5.15	5.68	31	39	1.00E-05	-	0.54	7.91	12,582,779.37	353
17-NOV-85	32	480	2,900	1	5.42	147	19	5	8	98	16.22	5.08	5.88	31	38	2.25E-01	-	0.92	7.99	3.00	481
18-NOV-85	41	280	2,320	7	9.69	72	8	9	14	81	16.19	6.94	7.22	43	45	1.00E-05	-	0.83	8.02	4,811,042.70	988

 $Q = Q_i = \text{gasto de influentes.}$ $C_r = \text{gasto de recirculación}$ $X_0 = \text{SSV en el influente}$ $X_1 = \text{SSV en el tanque}$ $X_T = \text{SSV en la recirculación}$ $X_e = \text{SSV en el efluente}$ $X_{r/A} = \text{SSV en el influente}$ $S_0 = \text{DBO}_5 \text{ en el influente}$ $S_1 = \text{DBO}_5 \text{ en el tanque}$ $S_T = \text{DBO}_5 \text{ en la recirculación}$ $S_e = \text{DBO}_5 \text{ en el efluente}$ $Q_w = \text{Gasto de purge de lodos}$ $W = \text{Fracción de lodos en m}^3$ $SH = \text{Tiempo de retención Hidráulica}$ $SC = \text{Tiempo de residencia celular}$ $ML = \text{Índice Volumétrico de lodos}$

ETAPA XII

 $Q_i = 10 \text{ l/s}$ $Or = (DIA) = 43\%$ $Or (\text{NOCHE}) = 58\%$

FECHA	HORA	X_o	X_I	A_r	X_e	$X_{e/I}$	S_o	S_I	S_e	$(S_e + S_I)/100$	Q	DIA	Q_{NOCHE}	DIA	Q_{NOCHE}	Q_w	W	$F.M.$	θ_t	θ_c	IVL
		mg/l	mg/l	mg/l	mg/l	mg/l	mg/l	mg/l	mg/l	%	l/s	l/s	%	l/s	l/s	m³/d	M³	(hrs)	(d)	(d/VG)	
21-NOV-86	72	800	3,840	11	4,00	78	10	12	3	98	19,39	8,33	9,77	43	60	1,00E+06	-	0,35	0,68	8,714,645,03	268
22-NOV-86	78	1,270	3,000	9	3,07	114	10	8	3	87	20,61	6,96	8,40	29	31	3,00E+01	-	0,34	0,32	5,66	264
23-NOV-86	86	850	3,490	8	4,11	42	10	16	3	93	20,34	6,96	8,43	29	31	4,00E+01	-	0,19	0,37	2,84	-
24-NOV-86	65	850	3,490	8	4,11	11	8	12	3	73	19,31	6,76	8,84	30	36	4,39E+01	-	0,06	0,71	2,69	-
26-NOV-86	62	430	3,060	7	7,16	16	14	10	3	80	19,20	6,66	7,71	26	40	4,30E+01	-	0,13	0,68	1,48	367
27-NOV-86	66	613	2,710	15	6,28	160	10	9	6	87	19,39	6,41	9,92	33	61	1,00E+06	-	1,05	0,68	8,827,064,17	-
28-NOV-86	66	850	2,340	3	2,76	102	13	19	3	98	20,66	8,33	8,82	40	48	8,04E+01	-	0,86	0,27	2,32	279
29-NOV-86	74	910	1,880	5	2,07	68	9	9	1	90	20,02	8,04	8,85	40	43	4,00E+01	-	0,27	0,47	5,64	234
30-NOV-86	70	800	1,420	6	1,76	75	8	9	3	95	19,94	9,36	8,84	42	60	4,00E+01	230,00	0,34	0,50	5,61	-
01-DIC-86	34	700	1,020	5	1,48	64	11	9	1	98	19,83	8,61	13,91	43	70	2,00E+01	176,00	0,28	0,53	16,00	209
02-DIC-86	40	360	1,300	6	3,94	27	8	10	1	86	20,30	7,78	13,88	38	89	1,50E+01	105,00	0,29	0,30	7,62	607
03-DIC-86	40	620	1,740	4	2,81	18	10	11	1	78	20,41	8,03	13,85	39	98	3,20E+01	316,00	0,11	0,36	5,19	603
04-DIC-86	48	720	1,020	1	2,67	171	8	21	6	97	20,31	9,06	13,26	48	85	2,30E+01	338,00	0,90	0,37	7,37	403
06-DIC-86	98	910	2,220	7	2,39	72	9	6	21	71	20,04	9,99	13,88	49	98	2,35E+01	303,00	0,29	0,38	8,18	412
06-DIC-86	65	846	2,160	11	2,68	76	8	11	6	93	20,10	9,04	11,60	49	97	2,00E+01	-	0,33	0,44	9,04	-
07-DIC-86	42	730	1,140	11	2,62	93	7	12	2	90	19,79	10,00	13,92	61	70	2,60E+01	476,00	0,46	0,66	6,62	626
08-DIC-86	18	1,000	2,010	14	2,00	222	7	8	3	99	19,79	10,17	13,92	61	70	2,50E+01	463,00	0,81	0,66	9,33	403
09-DIC-86	38	920	2,140	3	2,33	153	4	34	3	99	19,64	9,21	13,92	60	76	1,60E+01	376,00	0,67	0,69	13,38	402
10-DIC-86	62	1,000	2,020	1	2,82	141	8	30	2	99	19,60	9,36	12,74	62	71	1,80E+01	364,00	0,47	0,20	9,76	364
11-DIC-86	84	1,050	3,240	4	3,09	160	3	16	2	99	19,63	7,66	12,86	49	82	1,80E+01	350,00	0,41	0,20	8,60	333
12-DIC-86	42	990	2,640	7	2,87	63	2	8	2	97	19,42	8,01	13,36	61	89	1,00E+05	318,00	0,23	0,67	17,480,362,50	321
13-DIC-86	136	980	2,040	12	2,97	210	13	31	6	87	19,85	9,02	13,87	60	70	1,00E+05	311,00	0,81	0,62	16,762,059,60	311

 $Q = Q_i = \text{gasto de influento.}$ $Q_i = \text{gasto de recirculación.}$ $X_o = SSV \text{ en el influento}$ $X_I = SSV \text{ en el tanque}$ $X_r = SSV \text{ en la recirculación}$ $X_e = SSV \text{ en el efluente}$ $X_{e/I} = SSV \text{ en el influente}$ $Q_w = \text{Gasto de purga de bocas}$ $W = \text{Fracción de bocas en m}^2$ $S_o = DBO_5 \text{ en el influento}$ $S_I = DBO_5 \text{ en el tanque}$ $S_r = DBO_5 \text{ en la recirculación}$ $S_e = DBO_5 \text{ en el efluente}$ $S_{e/I} = DBO_5 \text{ en el influente}$ $T.d = \text{Tiempo de retención Hidráulica}$ $T.R = \text{Tiempo de residencia celular}$ $IVL = \text{Índice Volumétrico de bocas}$

ETAPA XIII

 $Q_i = 20 \text{ l/s}$

ANALISIS DE MUESTRAS

COMPOSICIONES DE DIA Y NOCHE

 $Q_r = (\text{DIA}) = 30\%$ $Q_n (\text{NOCHE}) = 40\%$

FECHA	HORA	X_o	X_i	X_o	X_i	S_o	S_i	S_o	$(S_o + S_i)/100$	Q_i	Q_n	Q_i %	Q_n %	Q_i %	Q_n %	Q_i	Q_n	W	FAT	H	Ec	IVL	
		mg/l	mg/l	l/s	l/s	l/s	l/s	l/s	l/s	m³/d	m³/d	hrs	(d)	(m³/d)									
(MUESTRAS DE DIA)																							
13 ENE-86																							
14 ENE-86	78	710	1,500	7	211	128	12	34	2	18	19.33	7.88	-	41	-	3.52E+01	200.00	0.64	6.70	-	0.27	282	
15 ENE-86	62	650	1,640	0	252	93	13	39	5	18	19.64	7.88	-	41	-	5.92E+01	200.00	0.50	6.80	-	3.12	308	
16 ENE-86	62	610	1,800	7	245	120	20	3	3	18	18.45	7.72	-	41	-	6.64E+01	186.00	0.69	6.84	-	2.38	275	
17 ENE-86	88	530	1,800	8	302	128	8	20	2	18	19.59	7.95	-	41	-	8.23E+01	180.00	0.88	6.64	-	1.68	340	
18 ENE-86	48	510	1,080	31	276	98	1	23	1	18	19.10	7.95	-	42	-	7.95E+01	141.00	0.89	6.78	-	2.09	371	
19 ENE-86	52	210	910	37	243	75	3	28	6	18	19.63	8.68	-	40	-	1.54E+01	56.00	1.26	6.81	-	0.96	282	
20-FEB-86	58	120	940	10	450	153	10	17	8	18	19.55	6.03	-	31	-	3.66E+00	58.00	4.62	6.63	-	20.71	483	
21-FEB-86	32	170	860	7	655	158	2	19	3	18	19.39	5.78	-	30	-	3.88E+00	111.00	3.30	7.04	-	21.26	653	
24-FEB-86	50	300	1,800	9	660	105	2	18	3	18	18.83	4.98	-	32	-	1.03E+03	112.00	1.22	6.88	-	7,771,716.57	372	
25-FEB-86	38	440	1,720	25	361	98	10	37	3	18	19.32	6.32	-	33	-	2.12E+01	186.00	0.78	6.70	-	5.62	209	
26-FEB-86	48	340	940	40	286	106	11	32	2	18	18.49	6.17	-	44	-	1.03E+01	95.00	1.00	7.01	-	1.43	288	
27-FEB-86	49	150	250	8	172	119	10	d	8	18	19.37	20.05	-	110	-	1.03E+02	56.00	2.85	6.69	-	28,602,046.15	387	
28-FEB-86	28	170	250	8	147	117	6	5	9	18	12.11	21.57	-	110	-	1.03E+05	66.00	1.55	10.55	-	31,704,641.06	368	
29-FEB-86	72	210	150	14	152	93	8	5	5	18	14.81	16.04	-	110	-	1.03E+05	64.00	0.75	8.75	-	30,642,768.57	278	
30-FEB-86	70	420	1,160	11	281	114	1	2	18	18	17.74	13.15	-	74	-	1.56E+01	110.00	0.89	7.30	-	10.63	281	
31-FEB-86	88	500	1,000	6	200	105	1	18	4	18	19.41	6.68	-	33	-	7.91E+01	150.00	0.77	6.58	-	2.76	312	
01-FEB-86	73	310	1,040	1	274	141	0	35	5	18	19.24	6.18	-	43	-	8.22E+01	140.00	1.32	6.73	-	1.93	342	
02-FEB-86	68	490	1,680	4	270	108	c	26	9	18	19.30	8.18	-	42	-	1.00E+03	-	0.97	6.71	-	17,270,481.46	-	
03-FEB-86	152	410	1,010	12	244	169	11	19	5	18	19.42	8.18	-	42	-	1.01E+02	160.00	1.40	6.57	-	1.67	259	
04-FEB-86	22	210	1,180	12	652	131	6	8	4	18	19.63	8.11	-	41	-	8.03E+01	160.00	2.20	6.58	-	1.03	476	
05-ENE-86	180	230	1,030	12	312	114	2	4	5	18	19.53	8.10	-	41	-	8.03E+01	50.00	1.27	6.52	-	1.86	273	
06-FEB-86	69	290	1,070	1	348	124	6	8	13	18	19.71	8.06	-	41	-	8.03E+01	95.00	1.69	6.57	-	1.57	328	
07-FEB-86	68	360	1,200	9	333	99	1	17	1	18	19.52	8.00	-	41	-	1.00E+02	84.00	0.83	6.64	-	1.40	233	

 $Q_i = Q_r + \text{gasto de influente},$ $Q_r = \text{gasto de recirculación}$ $X_o = \text{SSV en el influente}$ $X_i = \text{SSV en el tanque}$ $X_s = \text{SSV en la recirculación}$ $X_e = \text{SSV en el efluente}$ $S_o = \text{DO}_3 \text{ en el influente}$ $S_i = \text{DO}_3 \text{ en el tanque}$ $S_r = \text{DO}_3 \text{ en la recirculación}$ $S_e = \text{DO}_3 \text{ en el efluente}$ $C_{pr} = \text{Gasto de purge de fondos}$ $V_f = \text{Fracción de fondo en mP}$ $\delta t = \text{Tiempo de retención Hidráulica}$ $\delta C = \text{Tiempo de restinción celular}$ $IVL = \text{Índice Volumétrico de fondos}$

ETAPA XIII

ANALISIS DE MUESTRAS
COMPUETAS DE DIA Y NOCHE

$$Q_i = 20 \text{ l/s}$$

$$Q_r = (\text{DIA}) = 30\%$$

$$Q_r (\text{NOCHE}) = 40\%$$

FECHA	HORA	A _i	X _t	X _r	A _r	X _{r/X_i}	S _d	S _r	S _e	(S _d +S _r +S _e) ¹⁰⁰	Q	DIA	R _h	NOCHE	DIA	NOCHE	C _w	W	F.M	H ₁	H ₂	W ₁	W ₂	
		mg/l	mg/l	mg/l	mg/l	mg/l	mg/l	mg/l	mg/l	%	l/s	1/a	1/a	1/a	1/a	1/a	m ³ /d	M ₁	a ¹	hrs)	(d)	dl/dia		
(MUESTREO DE NOCHE)																								
14-ENE-86	12	300	1,880	8	5,08	9	4	24	1	89	20,02	-	9.91	-	50	1,00E-05	165.00	0.09	6.47	9,184,765.00	423			
15-FNC-86	24	330	1,000	4	3,03	8	2	13	2	87	19,46	-	9.94	-	51	1,00E-05	200.00	0.07	6.66	10,387,890.00	600			
16-ENE-86	18	850	1,480	7	1.74	15	4	37	1	93	10,77	-	9.94	-	53	1,00E-05	161.00	0.06	6.90	26,760,915.64	170			
17-ENE-86	18	480	1,220	18	2.66	27	4	7	2	93	19,81	-	9.93	-	50	1,00E-05	136.00	0.22	6.54	17,051,910.39	293			
18-ENE-86	4	200	500	31	2.90	30	6	13	1	87	19,29	-	9.96	-	52	1,00E-05	78.00	0.64	6.72	16,079,413.79	380			
19-ENE-86	8	120	400	21	3.33	40	3	3	2	96	19,39	-	7.71	-	40	1,00E-05	63.00	1.38	6.68	13,989,050.00	620			
20-ENE-86	14	120	840	7	7.00	61	6	9	6	80	19,91	-	6.78	-	29	1,00E-05	100.00	1.67	6.51	6,681,471.43	814			
21-ENE-86	18	240	1,320	2	6.80	36	8	15	5	88	19,03	-	8.36	-	33	1,00E-05	-	-	6.81	6,478,258.36				
22-ENE-86	20	190	1,320	10	8.95	42	24	16	4	90	19,03	-	8.36	-	33	1,00E-05	-	-	6.81	6,711,937.12				
24 ENE-86	48	420	1,800	0	4.28	36	1	20	3	92	18,18	-	8.96	-	50	1,00E-05	160.00	0.29	7.13	10,880,403.33	361			
25-ENE-86	44	360	480	68	1.37	39	11	37	8	86	19,29	-	7.79	-	40	1,00E-05	137.00	0.40	6.71	34,001,260.42	391			
27-ENE-86	10	180	130	63	0.87	33	10	8	8	78	18,9	-	29.61	-	14	1,00E-05	72.00	0.77	6.83	6,804,192.31	460			
28-ENE-86	12	180	180	42	1.06	47	5	5	4	91	9,03	-	14.85	-	150	1,00E-05	65.00	0.48	13.04	44,176,073.68	361			
29-ENE-86	40	310	450	14	1.46	27	0	6	2	93	15,67	-	23.33	-	160	1,00E-05	67.00	0.25	8.32	32,123,096.66	281			
30-ENE-86	44	370	780	11	2.05	21	1	7	1	96	18,87	-	9.91	-	62	1,00E-05	380.00	0.20	6.83	22,701,693.42	1,027			
31-ENE-86	28	360	900	2	2.72	27	3	4	2	93	19,01	-	9.96	-	60	1,00E-05	125.00	0.28	6.64	17,129,497.00	347			
01-FEB-86	24	330	1,000	2	3.21	42	9	22	4	90	19,00	-	9.94	-	52	1,00E-05	100.00	0.41	6.79	14,510,980.19	303			
02-FEB-86	24	280	800	6	2.78	42	5	8	4	90	19,26	-	9.94	-	52	1,00E-05	-	0.52	6.73	16,903,403.75				
03-FEB-86	34	300	1,060	6	3.60	39	3	10	3	92	19,4b	-	9.94	-	61	1,00E-05	105.00	0.47	6.60	13,322,942.88	350			
04-FEB-86	26	300	1,020	7	2.62	42	4	2	3	93	19,70	-	9.91	-	60	1,00E-05	108.00	0.39	6.68	17,829,232.36	272			
05-FEB-86	22	430	1,170	13	2.72	33	4	8	3	91	19,00	-	9.93	-	48	1,00E-05	88.00	0.28	6.64	17,137,631.82	206			
06-FEB-86	18	200	1,060	2	3.62	63	6	8	7	87	19,61	-	9.91	-	61	1,00E-05	105.00	0.66	6.64	12,870,844.76	362			
07-FEB-86	16	280	800	13	3.21	12	14	2	1	92	19,06	-	8.00	-	40	1,00E-05	85.00	0.16	6.49	14,507,204.44	304			

Q = Q_i a gasto de influente.

Q_r = gasto de recirculación

X_o = SSV en el influente

X_t = SSV en el tanque

X_r = SSV en la recirculación

X_e = SSV en el efluente

S_d = DBO₅ en el influente

S_r = DBO₅ en el tanque

S_r = DBO₅ en la recirculación

S_e = DBO₅ en el efluente

Q_w = Gasto de purga de lodos

W = Fracción de lodos en m³

t_h = Tiempo de retención Hidráulica

t_c = Tiempo de residencia celular

IVL = Índice Volumétrico de lodos

ETAPA XIV

ANÁLISIS DE MUESTRAS
COMBINADAS DE DÍA Y NOCHE

 $Q_i = \text{Máx}$
 $Q_r = \{D/A\} = 20\%$
 $Q_r (\text{NOCHE}) = 30\%$

FECHA	HORA	Xo	X1	X2	Ae	Xr/X1	So	Si	Sr	Sa	Ls	Se	IR	Q	DIA	DIA	DIA	DIA	Qr	Qr	Qw	W	Fw	Fr	Fr	Fr	IVL
		mg/l	mg/l	mg/l	mg/l	mg/l	mg/l	mg/l	mg/l	mg/l	mg/l	mg/l	mg/l	mg/l	mg/l	mg/l	mg/l	mg/l	mg/l	mg/l	mg/l	mg/l	d ⁻¹	(hrs)	(hrs)	(hrs)	(hrs)
(MUESTREO DE DIA)																											
08-FEB-80	0:00	108	350	740	7	2.11	147	35	34	1	99	22.40	6.20	-	28	-	0.00E+00	100	1.74	5.78	12.05	266					
	13:00	68	430	660	14	1.53	105	36	35	2	98	22.40	6.20	-	28	-	1.00E+05	-	1.01	5.73	7.40	-					
	17:00	60	210	1020	10	4.86	83	14	34	2	98	22.40	6.20	-	28	-	1.00E+05	100	1.66	5.72	3.16	-					
09-FEB-80	09:00	40	200	550	8	2.75	27	1	3	1	99	22.00	5.37	-	24	-	1.00E+05	58	0.54	5.29	10,958,472.73	179					
	11:00	40	330	810	3	2.45	63	1	8	3	95	22.00	5.37	-	24	-	1.00E+05	-	0.77	5.98	18,997,529.63	-					
	13:00	68	200	1,300	6	0.85	24	1	24	4	93	21.73	4.54	-	21	-	2.94E+01	-	0.48	5.98	2.29	-					
	15:00	62	220	1,650	11	7.50	36	1	29	3	92	21.84	4.46	-	20	-	1.00E+05	-	0.66	5.99	6,217,073.33	-					
	17:00	68	330	1,420	8	4.30	6	1	30	2	87	21.84	4.46	-	20	-	1.00E+05	-	0.07	5.95	10,338,619.01	-					
	19:00	40	180	1,170	9	7.31	12	5	30	2	83	21.84	4.46	-	20	-	1.00E+05	-	0.30	5.96	4,378,703.16	-					
10-FEB-80	09:00	112	330	1,200	7	3.64	61	5	21	7	89	21.64	4.46	-	20	-	1.00E+05	100	-	5.00	12,323,322.60	303					
	12:00	56	380	1,700	8	4.47	61	6	21	7	89	21.25	4.98	-	20	-	3.13E+01	-	-	5.92	3.32	-					
	17:00	38	380	1,920	8	5.33	61	6	21	7	89	21.25	4.98	-	20	-	1.00E+05	-	-	5.92	3,743,101.20	-					
11-FEB-80	7:00	410	1,360	16	4.78	108	8	11	12	89	21.95	4.38	-	20	-	5.26E+01	96	1.08	5.92	1.85	203						
12-FEB-80	10:02	460	2,140	11	4.05	126	11	19	8	94	22.33	4.59	-	20	-	5.70E+01	102	1.14	5.79	1.74	222						
13-FEB-80	7:2	340	1,140	8	3.94	102	13	37	11	89	22.60	4.37	-	19	-	8.01E+01	78	1.25	5.75	1.67	229						
14-FEB-80	7:4	320	1,180	11	4.25	150	16	29	9	94	22.17	4.71	-	21	-	7.64E+01	101	1.93	5.84	1.65	316						
15-FEB-80	62	320	1,420	12	4.44	72	1	27	1	99	22.61	4.76	-	21	-	7.01E+01	86	0.64	5.73	1.50	266						
16-FEB-80	62	310	1,480	12	4.71	60	1	1	3	95	22.01	4.63	-	20	-	5.05E+01	68	0.81	5.73	1.68	316						
FROM:	314.44										60.91	22.13		22													
FROM:	0 959427																										

 $Q = Q_i = \text{gasto de influente}$ $Or = \text{gasto de recirculación}$ $Xo = SSV$ en el influente $X1 = SSV$ en el tanque $Xr/X1 = SSV$ en la recirculación $Xe = SSV$ en el efluente $So = TBC$ en el influente $St = TBO$ en el tanque $Sr = TBO$ en la recirculación $Se = TBO$ en el efluente $Qw = \text{Gasto de purga de tubos}$ $W = \text{Fracción de lodos en m}^3$ $dt = \text{Tiempo de retención Hidráulica}$ $tC = \text{Tiempo de residencia celular}$ $tV = \text{Índice Volumétrico de lodos}$

ETAPA XIV

ANALISIS DE MUESTRAS
COMPUSTAS DE DIA Y NOCHE

 $Q_i = \text{Máx}$ $Cr = (DIA) = 20\%$ $Cr (NOCHE) = 30\%$

FECHA	HORA	Xo	Xi	Xr	Xo	TOTAL	So	St	Sr	Sa	(Salida)**/D	Q	Cr	Cr	C=	W	FAM	FM	SC	IVL	
		m3/s	m3/s	m3/s	m3/s	m3/s	m3/s	m3/s	m3/s	m3/s	m3/s	m3/s	DIA	NOCHE	%	m3/s	m3/s	[m3]	[m3]	[m3]	
(MUESTREO DE NOCHE)																					
08-FEB-88	21:00	58	380	760	14	2.11	57	22	32	1	98	22.00	-	7.67	-	30	1.00E-05	-	0.70	5.41	22,681,318.84
	01:00	32	350	1,290	16	3.60	21	3	38	2	90	23.95	-	7.34	-	31	1.00E-05	-	0.27	5.41	12,952,381.11
	05:00	24	320	1,180	13	3.69	20	5	22	2	90	22.00	-	7.18	-	32	1.00E-05	-	0.28	5.41	12,845,908.68
09-FEB-88	21:00	18	210	1,220	10	5.81	9	9	30	5	17	22.00	-	7.18	-	32	1.00E-05	-	0.12	5.90	8,028,527.05
	01:00	12	240	1,280	9	5.25	5	9	4	4	33	21.95	-	7.02	-	32	2.94E-01	-	0.10	5.90	3.03
	05:00	14	270	1,150	12	4.26	6	9	15	2	37	21.95	-	6.82	-	32	1.00E-05	-	0.09	5.90	10,947,983.48
10-FEB-88	21:00	52	400	1,950	10	3.88	19	9	11	9	53	21.55	-	6.85	-	32	2.13E-01	-	0.50	-	-
11-FEB-88	20	370	1,550	18	4.11	21	12	7	10	48	22.39	-	6.85	-	31	1.00E-05	100	0.25	5.79	11,350,798.71	270
12-FEB-88	14	370	1,020	10	2.78	42	9	12	8	81	22.00	-	6.85	-	32	1.00E-05	90	0.46	5.87	16,914,912.75	250
13-FEB-88	20	310	1,220	8	3.94	12	38	37	1	92	21.95	-	6.83	-	31	1.00E-05	85	0.16	5.90	11,848,682.70	274
14-FEB-88	22	240	780	9	3.25	35	2	13	9	74	22.61	-	6.84	-	31	1.00E-05	90	0.61	5.73	14,347,784.02	375
15-FEB-88	14	250	1,420	11	5.68	3	2	7	1	57	22.94	-	6.84	-	30	1.00E-05	85	0.05	6.65	8,209,658.68	340
16-FEB-88	26	270	1,120	10	4.15	88	1	10	1	99	22.11	-	5.79	-	28	1.00E-05	95	1.34	6.88	11,241,213.04	352
PROM:		304.62					69.91				22.39				31.30	PROM:	0.378701				

Q = Qi = gasto de influento.
 Cr = gasto de recirculación
 Xo = SSV en el influente
 Xi = SSV en el tanque
 Xr = SSV en la recirculación
 Xe = SSV en el efluente

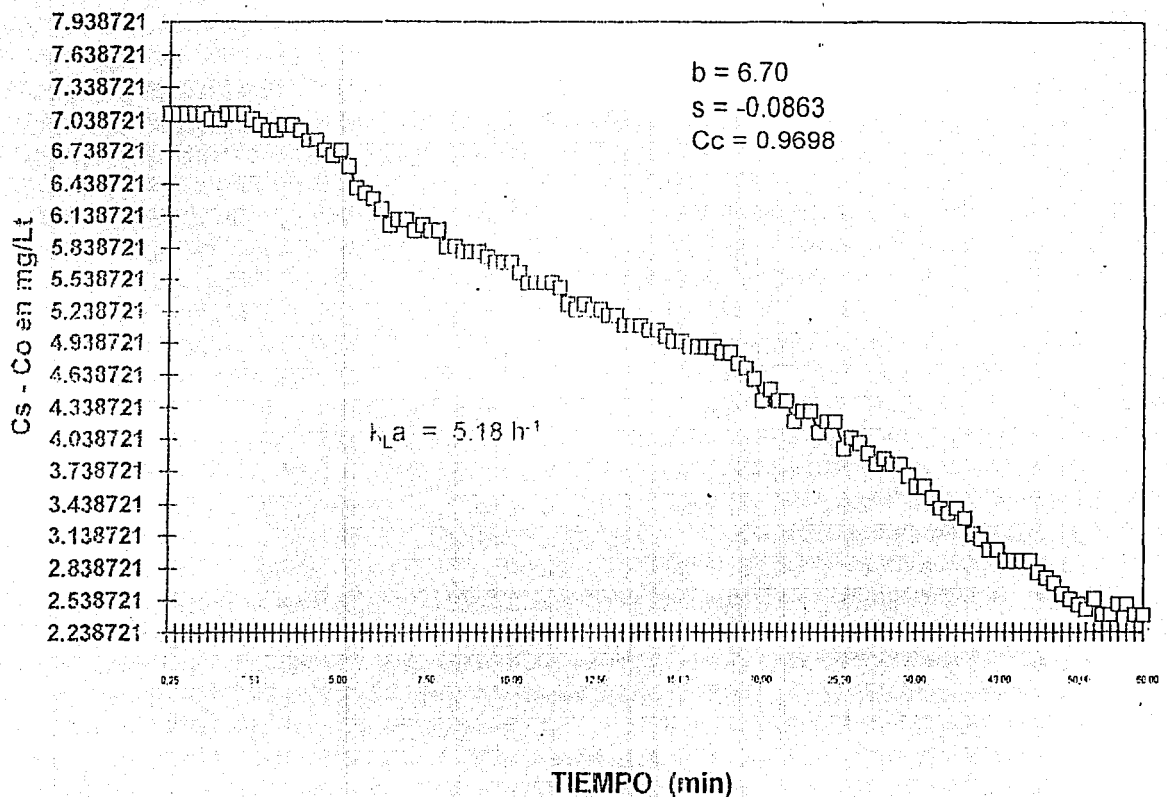
So = CBO, en el influente
 St = CBO, en el tanque
 Sr = CBO, en la recirculación
 Se = CBO, en el efluente
 CW = Gasto de purga de locos
 W = Fracción de locos en m³

tH = Tiempo de retención Hidráulica
 tC = Tiempo de residencia cedular
 IVL = Índice Volumétrico de locos

ANEXO B

Determinación del Coeficiente k_L al arranque del Sistema

VELOCIDAD DE TRANSFERENCIA DE O₂ AL ARRANQUE (PUNTO # 1)



VELOCIDAD DE TRANSFERENCIA DE O₂ AL ARRANQUE (PUNTO # 2)

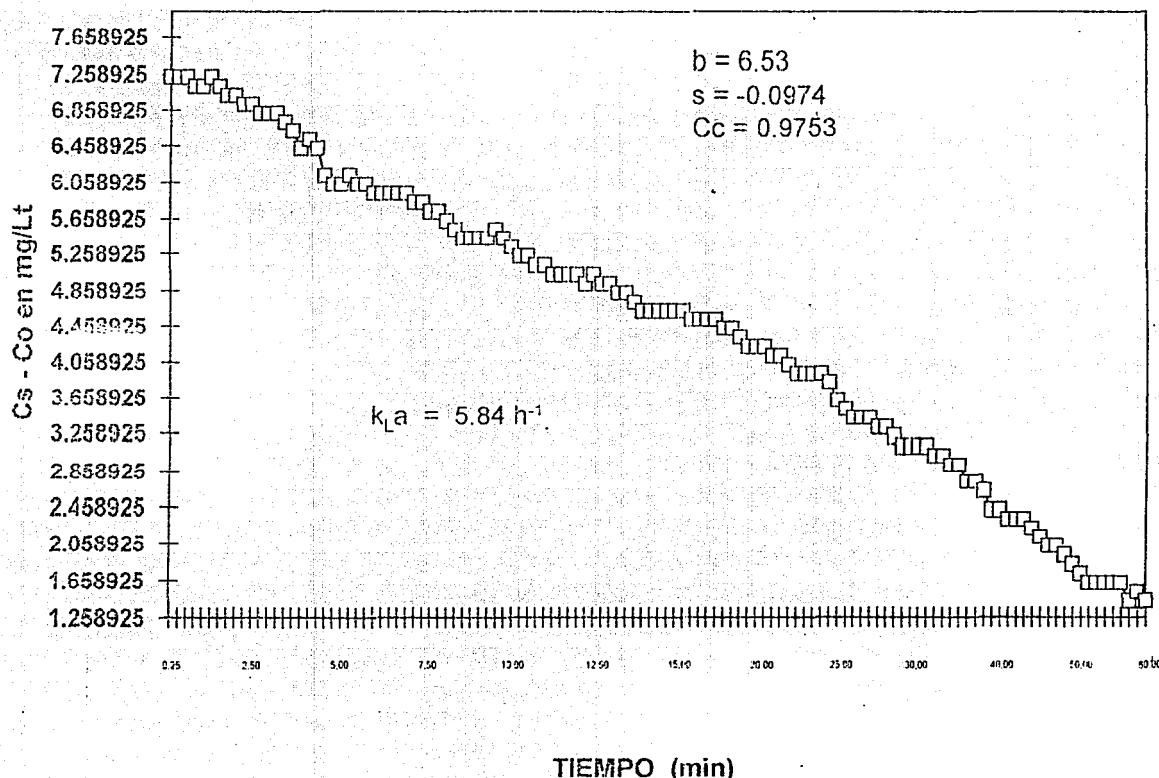


TABLA QUE MUESTRA EL EXCESO DE OXIGENO TRANSFERIDO
EN EL REACTOR DE PROCESO

ETAPA	Qi (Lts/deg)	Qr (%)	EFICIEN- CIA. (%)	F/M (d-1)	SCVIM (mg/Lt)	KLa (h-1)	MAXIMA		TASA DE CONSUMO DE O2 (mg/Lt*min)	MAXIMO CONSUMO DE O2 (kg/hr)	EXCESO DE O2 (%)
							OXIGENO TRANSFERIDO (kg/hr)	(mg/Lt*min)			
I	8.18	37.46	89.85	1.80	196	5.18	0.0863	(0.1910)	(0.0534)	161.92	
II	7.9	39.75	98.16	0.54	585	5.18	0.0863	(0.1473)	(0.0412)	147.75	
III	8.19	48.35	96.14	0.21	655	5.18	0.0863	(0.2779)	(0.0778)	190.09	
IV	7.93	41.11	97.78	0.93	444	5.18	0.0863	(0.2779)	(0.0778)	190.09	
V	8.17	30.72	92.14	0.96	189	5.18	0.0863	(0.1365)	(0.0382)	144.25	
VI	8.09	20.89	94.00	1.18	310	5.18	0.0863	(0.1719)	(0.0491)	155.73	

INTEGRAS COMPUSTAS DE 24 HORAS.

Qi (Lts/deg)	Qr (%)	G _i (DIA) (NOCHE)	EFICIEN- CIA (%)	F/H (d-1)	SCVIM (mg/Lt)	KLa (h-1)	OXIGENO TRANSFERIDO (kg/hr)	(mg/Lt*min)	TASA DE CONSUMO DE O2 (kg/hr)	MAXIMO CONSUMO DE O2 (kg/hr)	EXCESO DE O2 (%)
VII	8.12	24.14	38.67	95.20	0.95	330	5.18	0.0863	(0.2017)	(0.0564)	165.39
VIII	9.99	27.73	32.23	95.60	0.36	518	5.18	0.0863	(0.1245)	(0.0628)	172.78
IX	12.03	30.76	37.07	97.27	0.46	710	5.18	0.0863	(0.2060)	(0.0576)	166.78
X	14.05	32.17	40.64	96.31	0.53	793	5.18	0.0863	(0.2586)	(0.0726)	134.16
XI	16.24	25.37	34.10	93.50	0.69	512	5.18	0.0863	(0.1574)	(0.0720)	133.45
XII	19.6	41.1	51.58	92.00	0.43	825	5.18	0.0863	(0.2301)	(0.0924)	207.02
XIII(DIA)	18.77	38.72		92.34	1.29	316	5.18	0.0863	(0.2694)	(0.0754)	137.34
XIII(NOCHE)	18.79		45.7	89.57	0.39	320	5.18	0.0863			

INTEGRAS COMPUSTAS DE 12 HORAS.

XIV (DIA)	22.13	22.22		90.91	0.96	314	5.18	0.0863	(0.2141)	(0.0599)	169.41
XIV (NOCHE)	22.3		31.3	69.91	0.38	305	5.18	0.0863			

ANEXO C

Determinación de los
Coeficientes cinéticos Y, k_d , K_s
y k para cada Etapa

VALORES DE LOS COEFICIENTES CINETICOS
DE LOS RESULTADOS PROMEDIO DE CADA UNA DE LAS ETAPAS

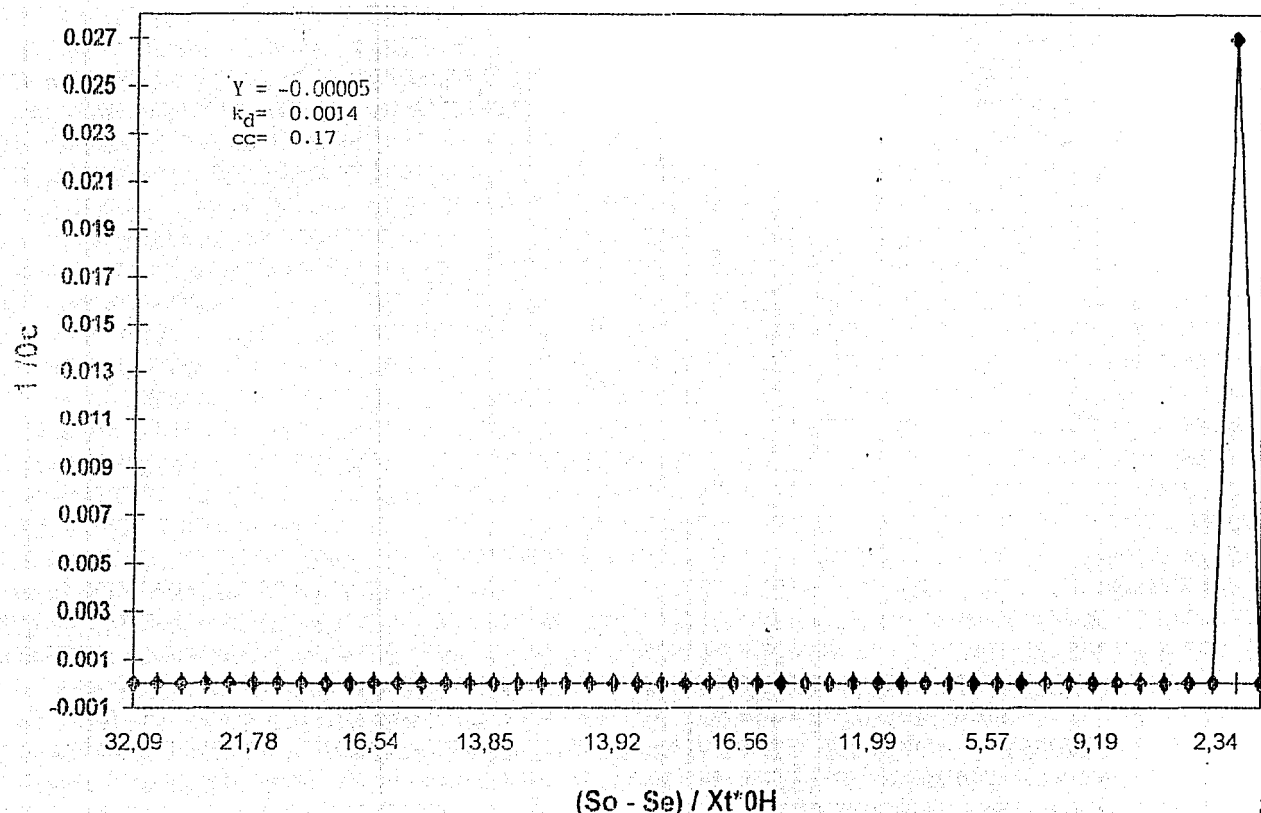
ETAPAS	EFICIEN- CIA (%)	Ks	k	Y	kd	METCALF. & Eddy	Ramalho
I	90.00	5.2185	1.3828	(0,0001)	0.0014	25 < Ks < 100	Y=0,73
II	98,16	0.8500	0.4680	0,0176	0.0554	2 < K < 10	kd=0,075
III	96,14	0.5262	0.1469	0,0014	0.0329	0,4 < Y < 0,8	a=0,52
IV	97,78	5.9435	1.9793	0,0194	0,0092	0,04< kd< 0,075	0,017< K <0,03
V	92,00	(7.0912)	0.7094	0,0205	(0,0553)		
VI	94,00	10.1160	2.2066	0,0548	0.7721		
VII	97,00	5.0835	1.2881	0,0567	0.8705		
VIII	95,69	0.7171	0.3477	0,0001	0,0000		
IX	97,25	26.1449	2.5219	0,0001	0,0000		
X	96,33	20.2854	1.2158	0,0500	0.1380		
XI	93,00	3.7369	1.0635	0,1285	(0,1334)		
XII	93,00	(0,2893)	0.1860	(0,1285)	0.2629		
XIII	96,00	0.7892	1.2527	(0,0433)	0.4120		
XIV	90,00	12.1173	1.3634	0,0000	0,0000		
XV	91,00	0.6087	0.4987	0,1721	0,0525		
XVI	70,00	(0,3655)	0,0647	(0,0597)	0,0697		

TIEMPOS CON EL SISTEMA ESTABILIZADO

- O 011 - Ks < 26,14 (complemento R-M & E)
- O 015 < K < 2,52 (complemento R-M & E)
- O 0,001 < Y < 0,057 (complemento T << M & E)
- O 0,0001 < kd < 0,87 (complemento T >> R= M & E)

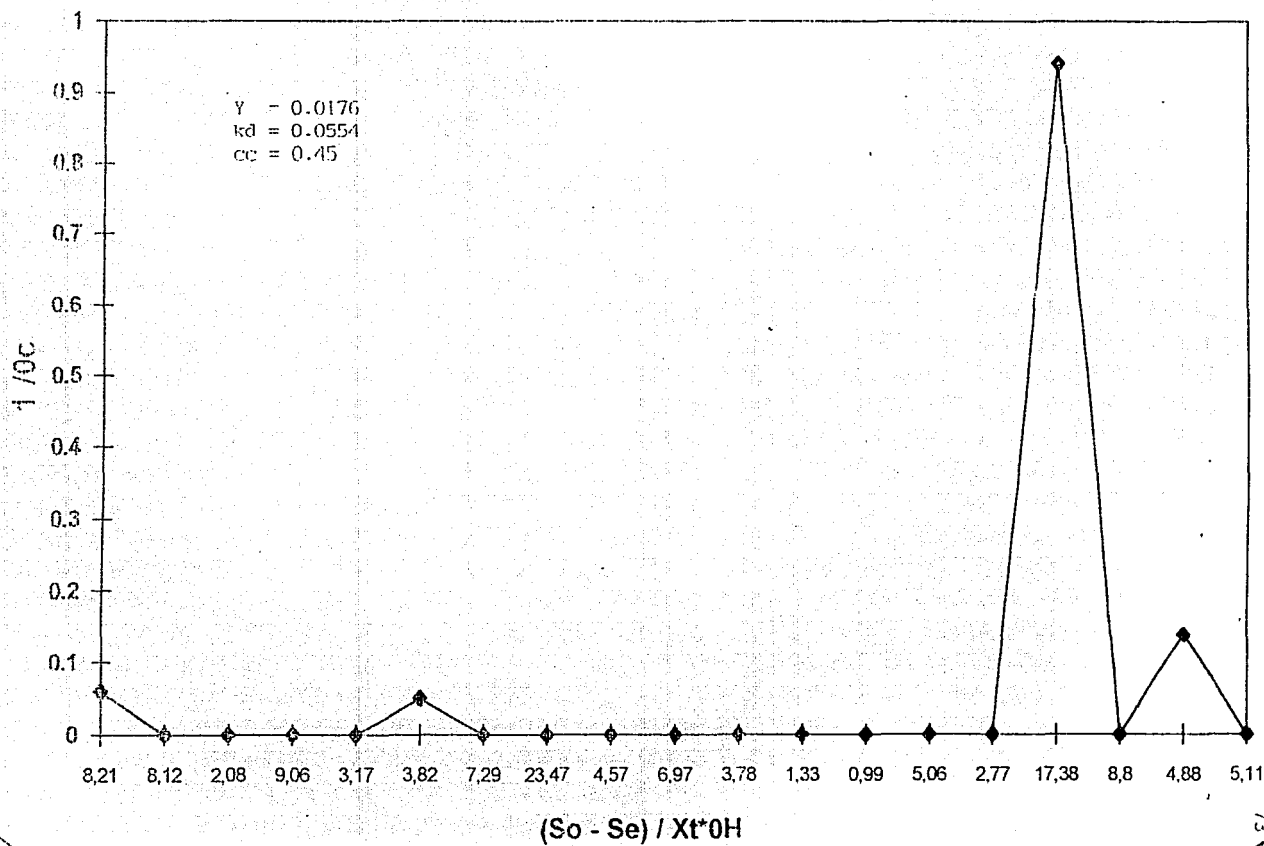
ETAPA I

VALOR DE LOS COEFICIENTES Y y kd



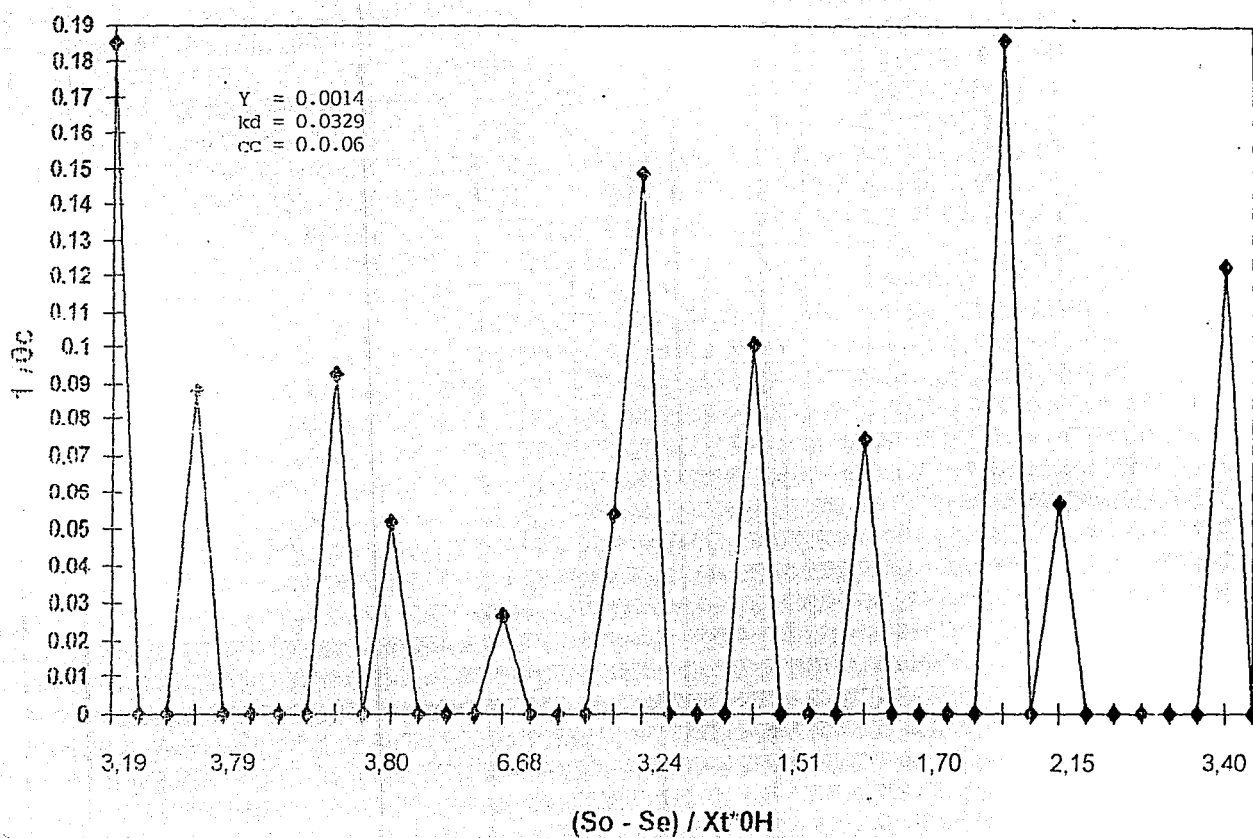
ETAPA II

VALOR DE LOS COEFICIENTES Y y kd



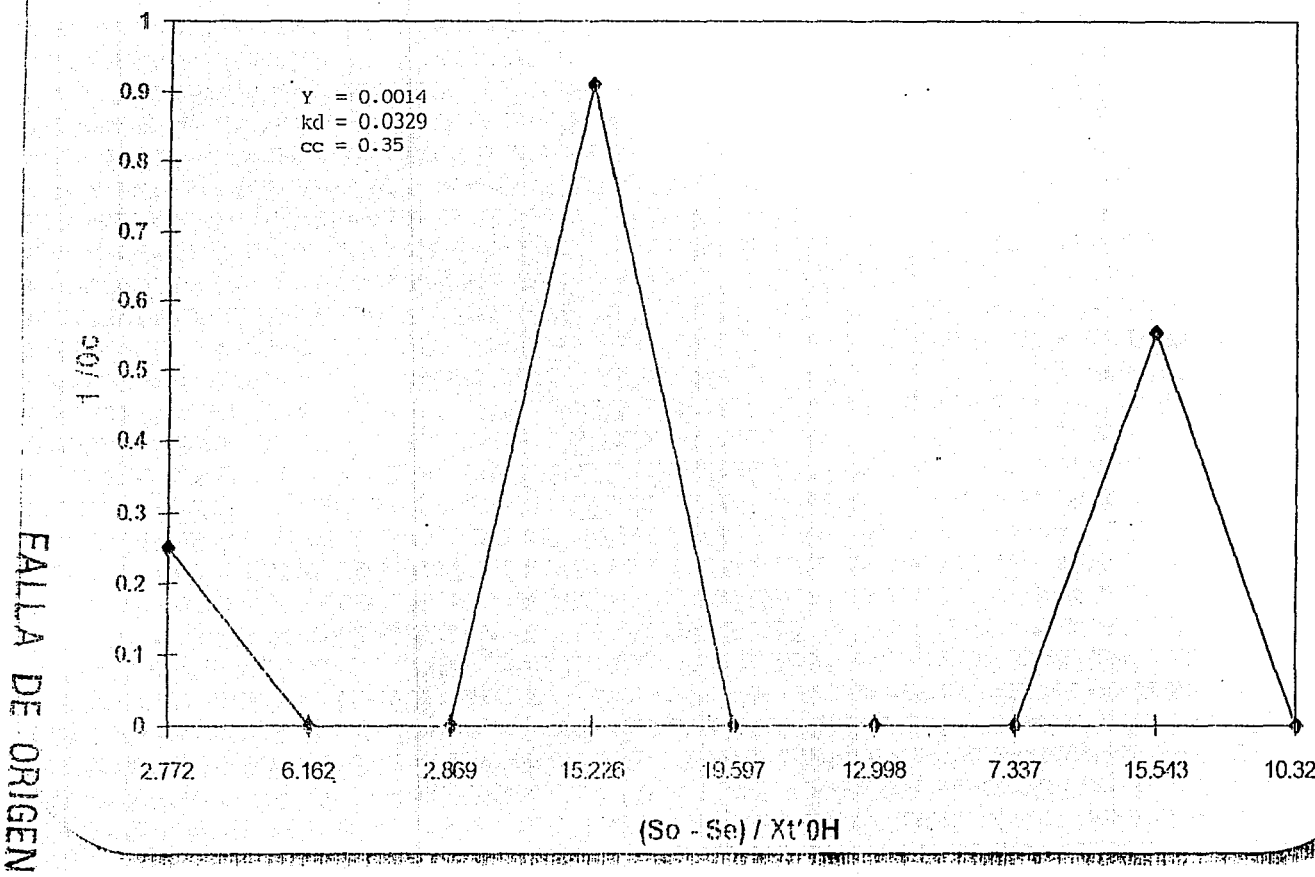
ETAPA III

VALOR DE LOS COEFICIENTES Y y kd



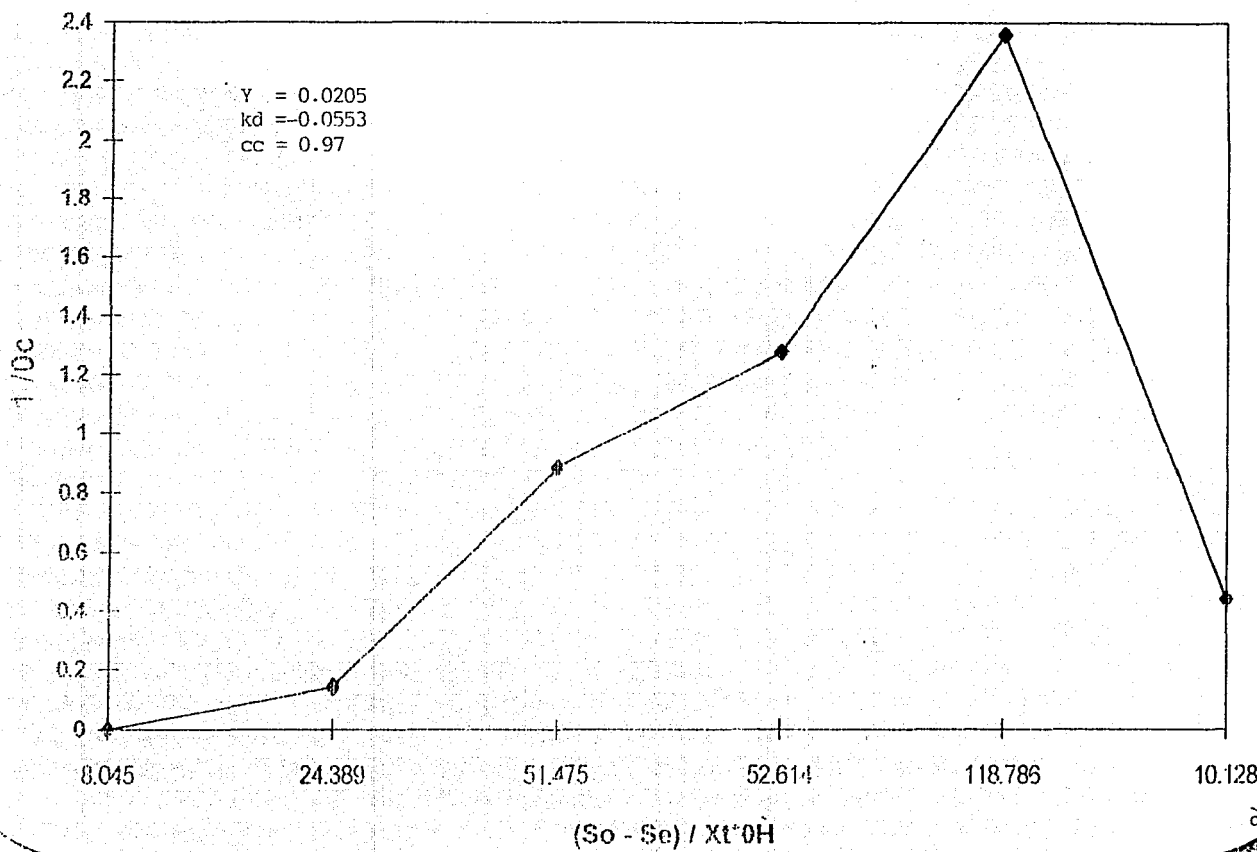
ETAPA IV

VALOR DE LOS COEFICIENTES Y y kd



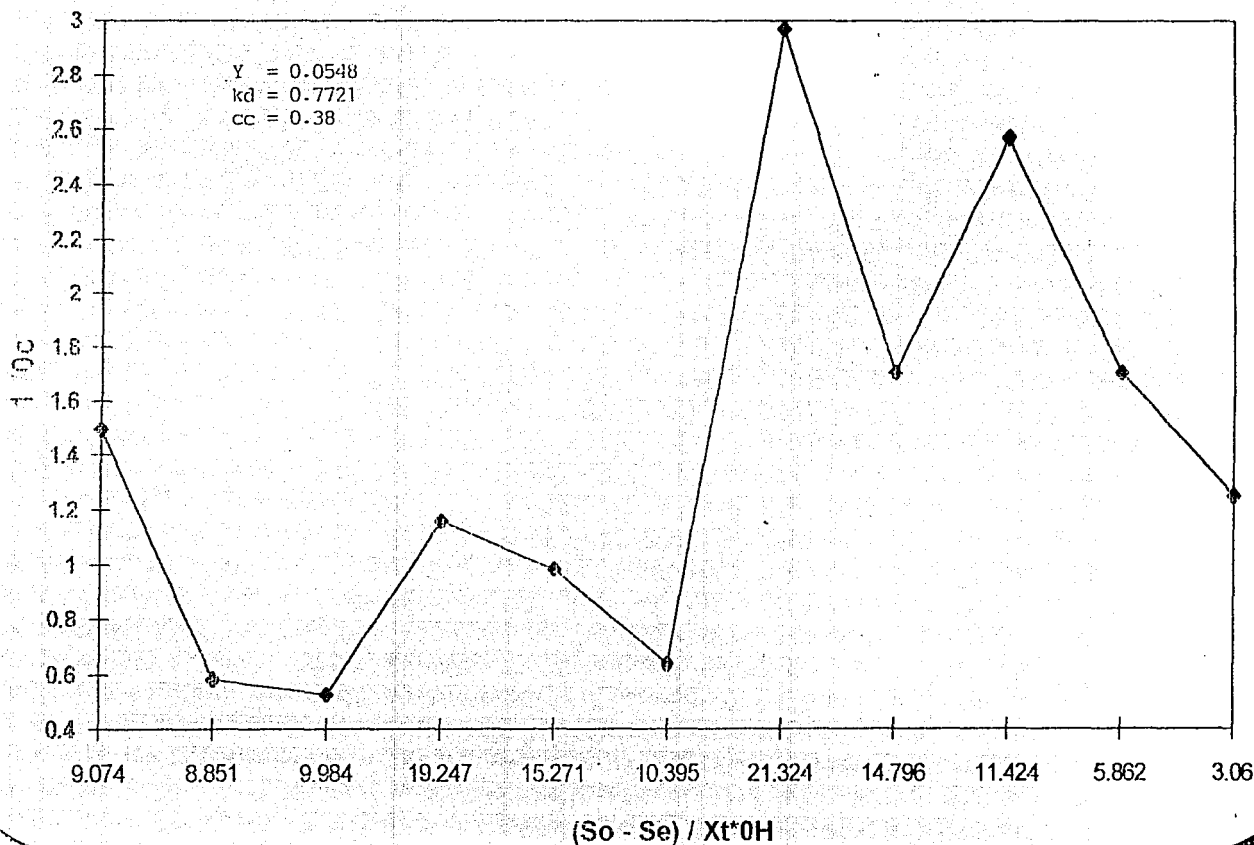
ETAPA V

VALOR DE LOS COEFICIENTES Y y kd



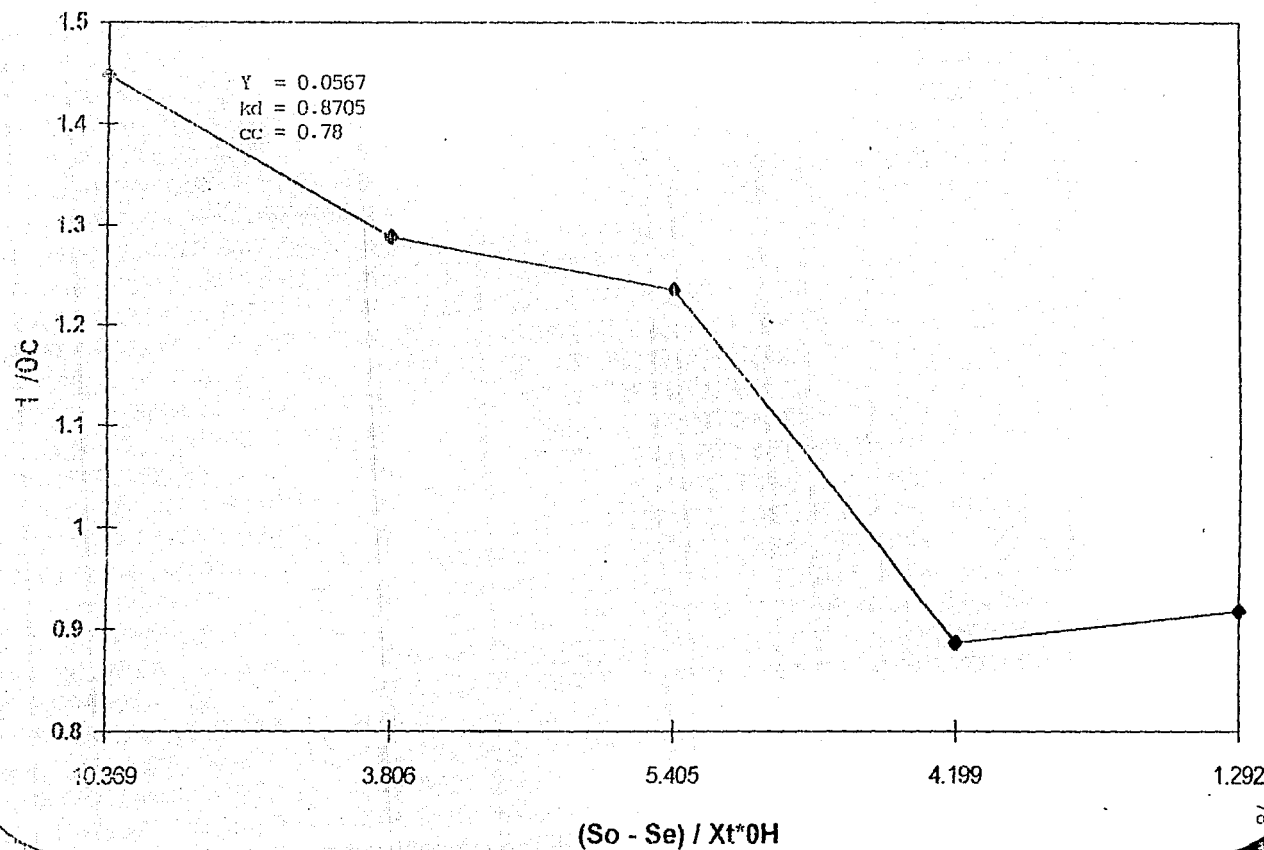
ETAPA VI

VALOR DE LOS COEFICIENTES Y y kd



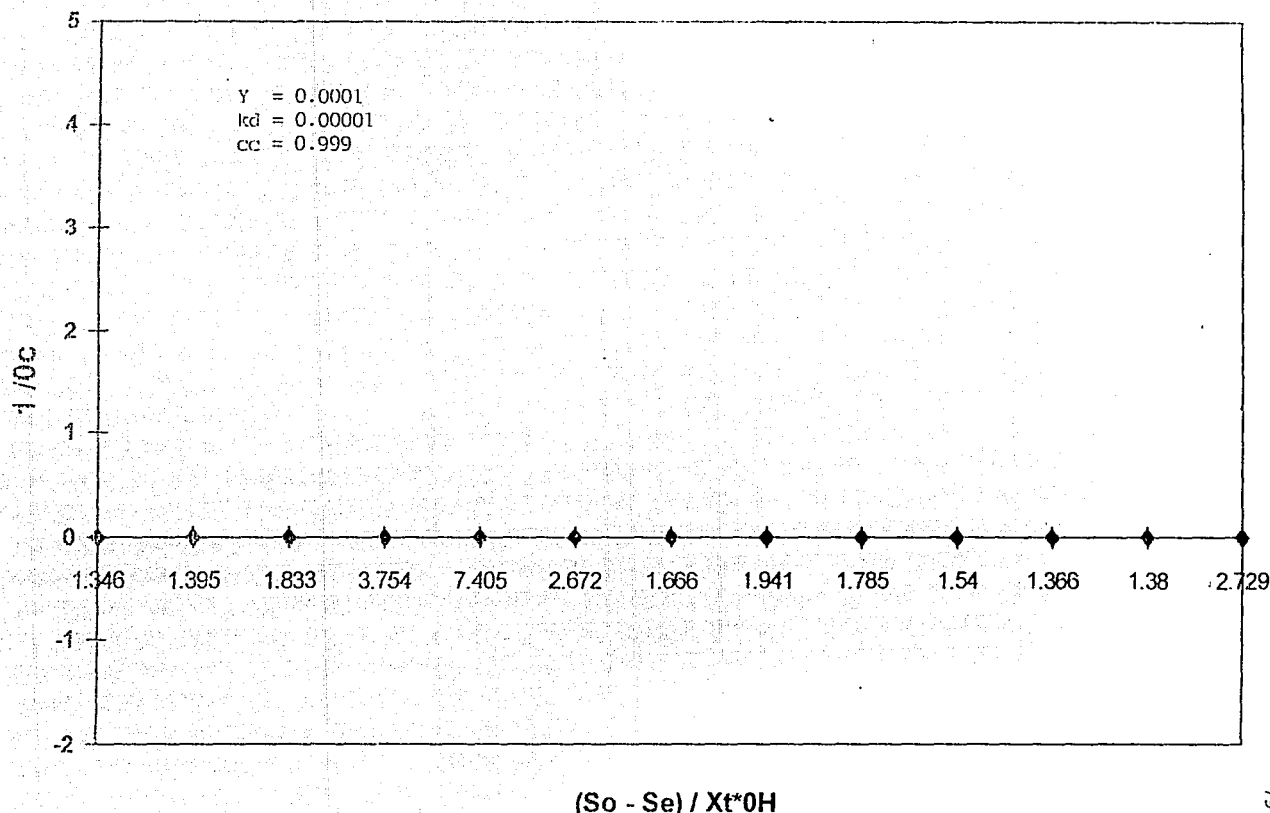
ETAPA VII

VALOR DE LOS COEFICIENTES Y y kd



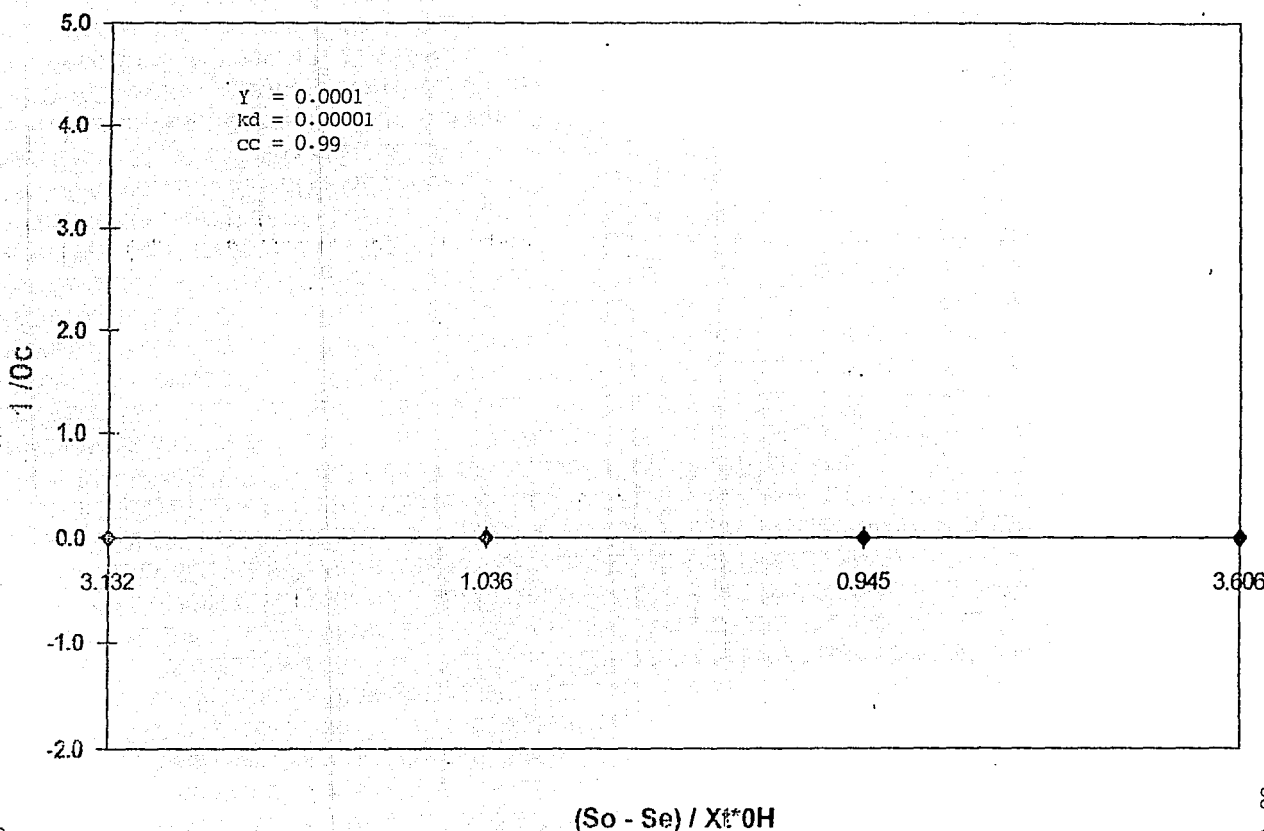
ETAPA VIII VALOR DE LOS COEFICIENTES Y y kd

ESTA TESIS NO SEDE
SALIR DE LA BIBLIOTECA



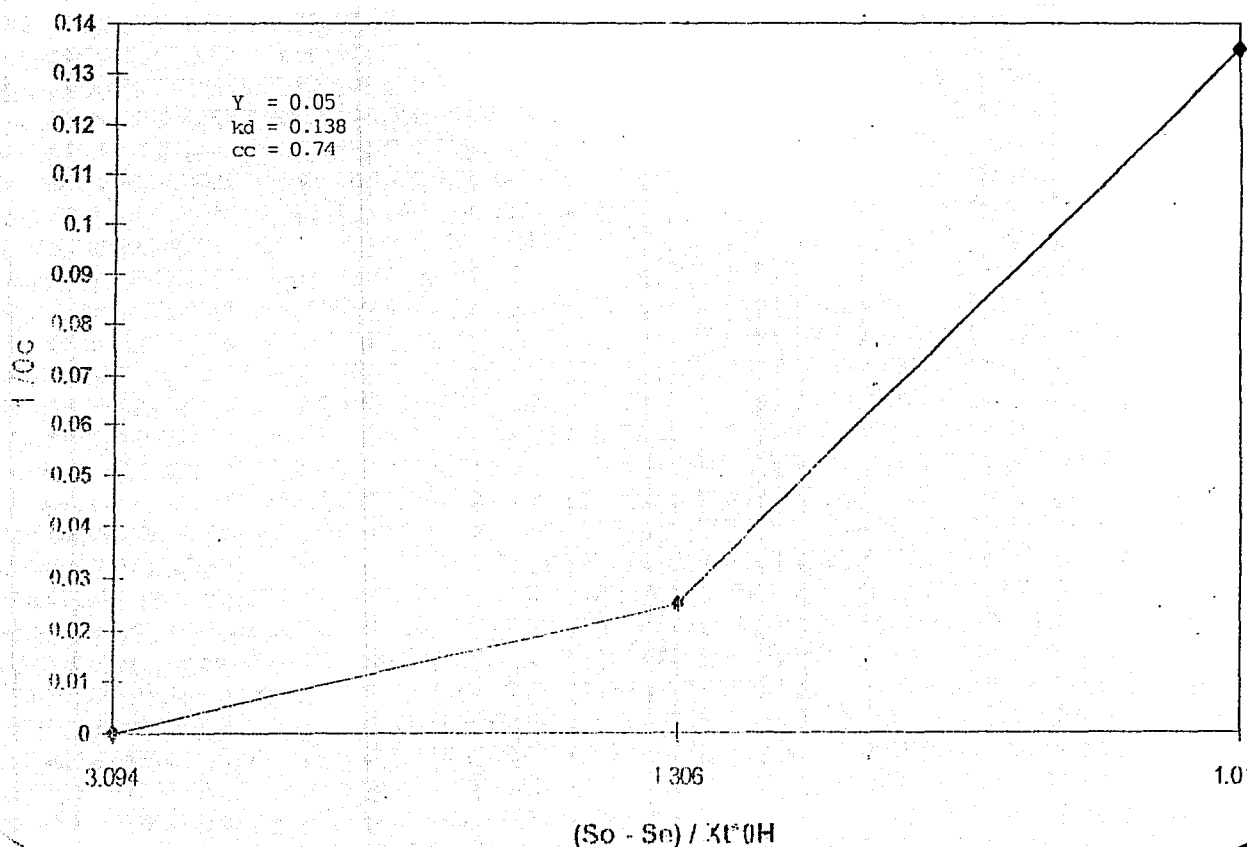
ETAPA IX

VALOR DE LOS COEFICIENTES Y y kd



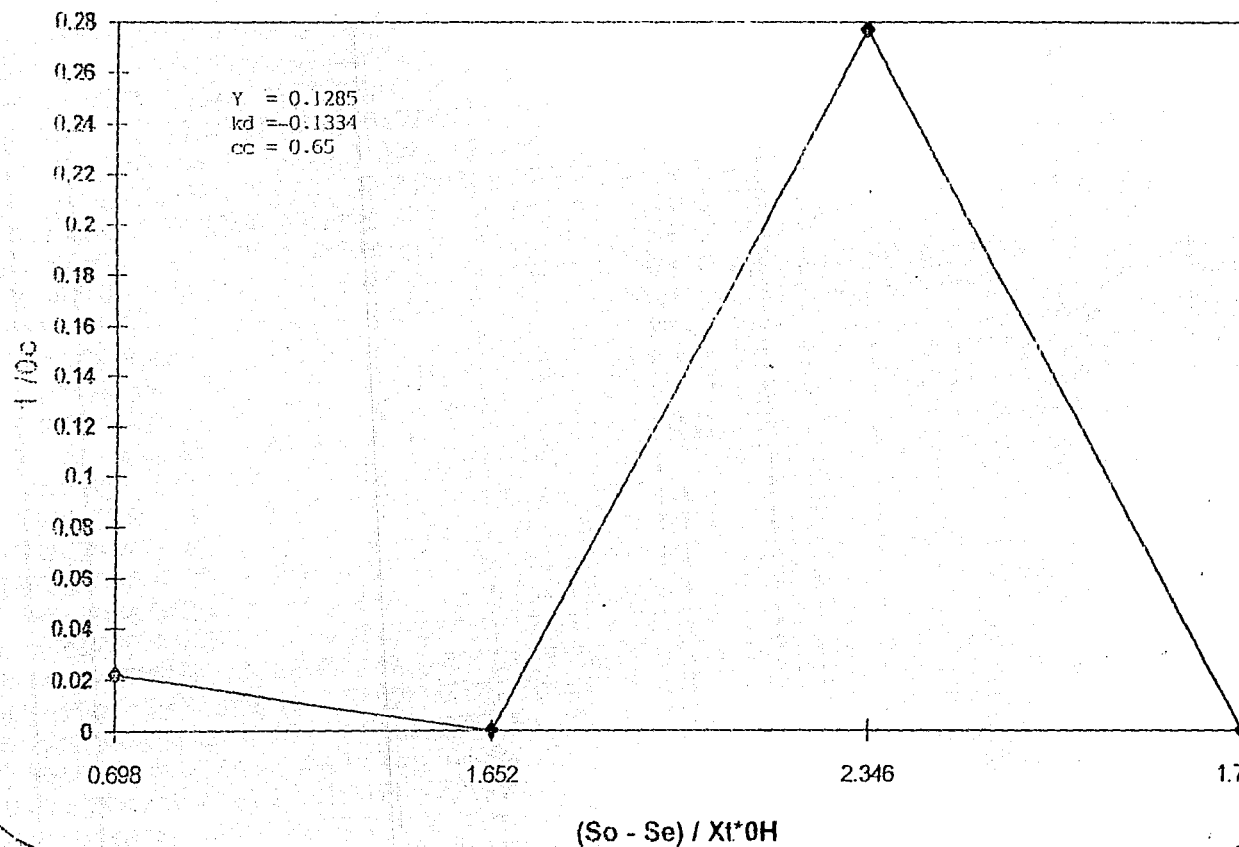
ETAPA X

VALOR DE LOS COEFICIENTES Y y kd



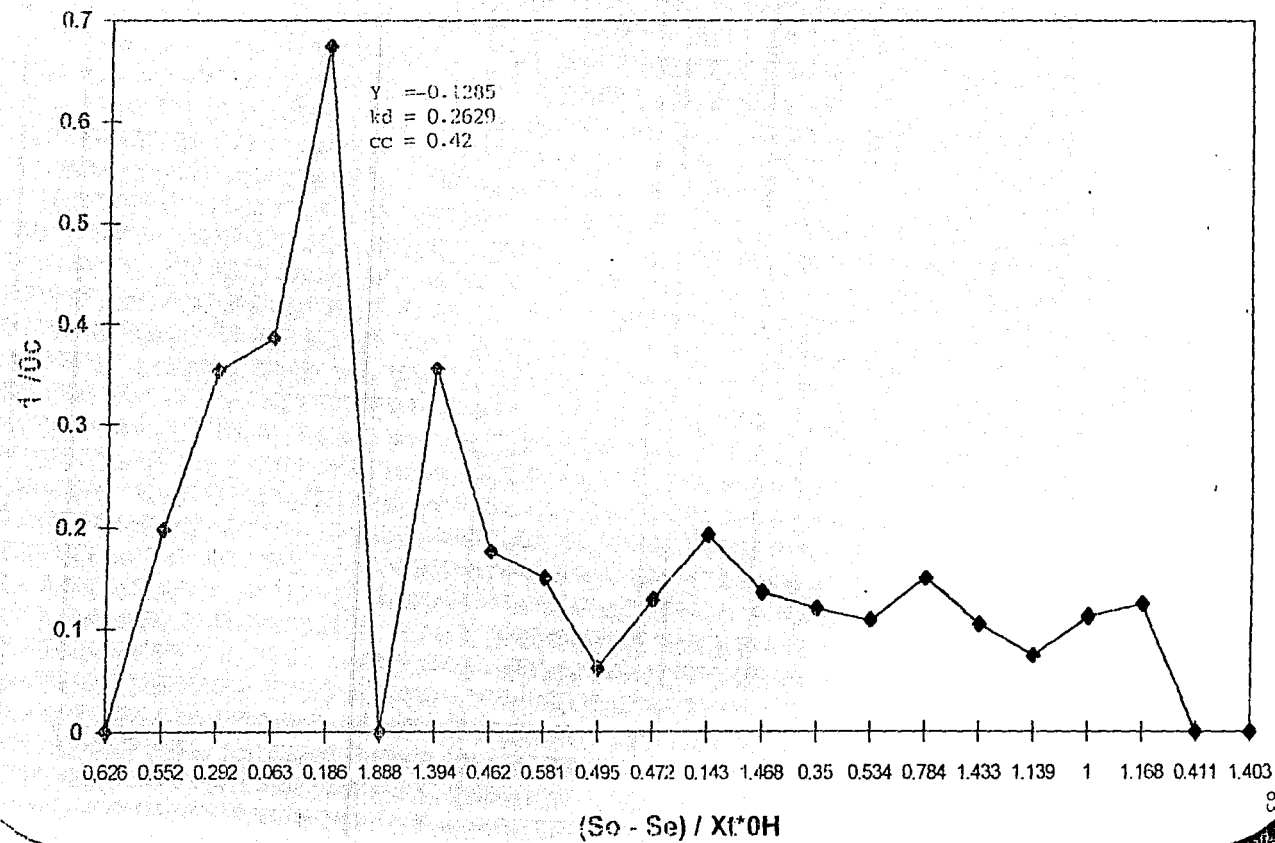
ETAPA XI

VALOR DE LOS COEFICIENTES Y y kd

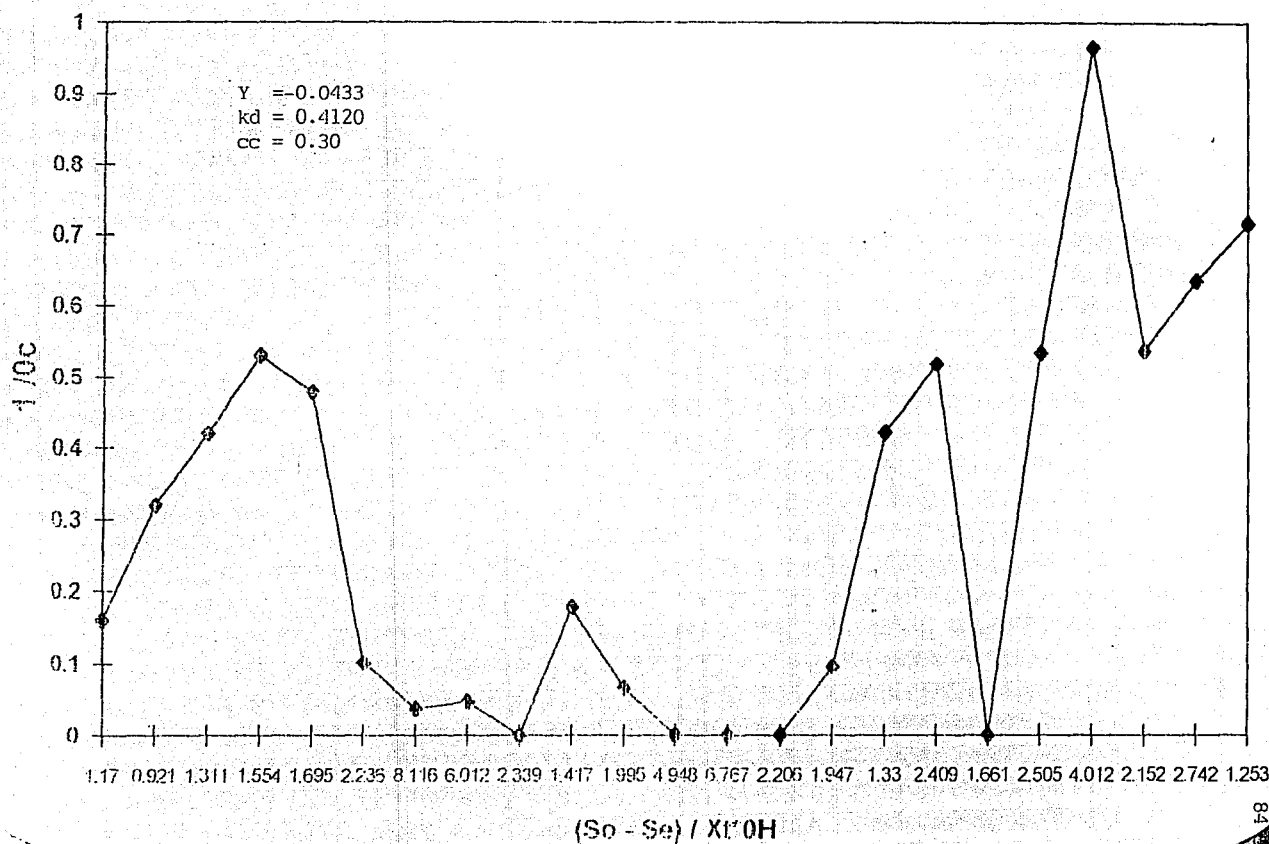


ETAPA XII

VALOR DE LOS COEFICIENTES Y y kd

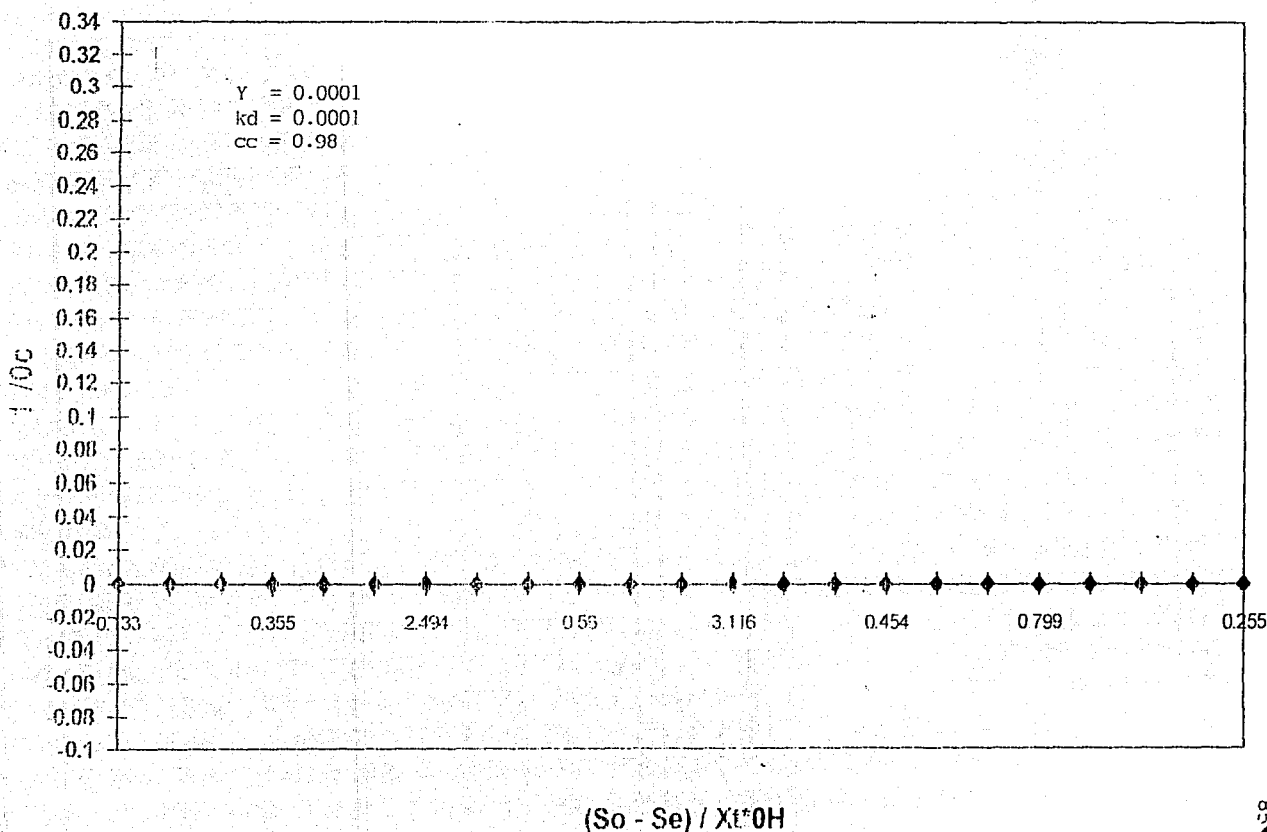


ETAPA XIII (DIA)
VALOR DE LOS COEFICIENTES Y y kd



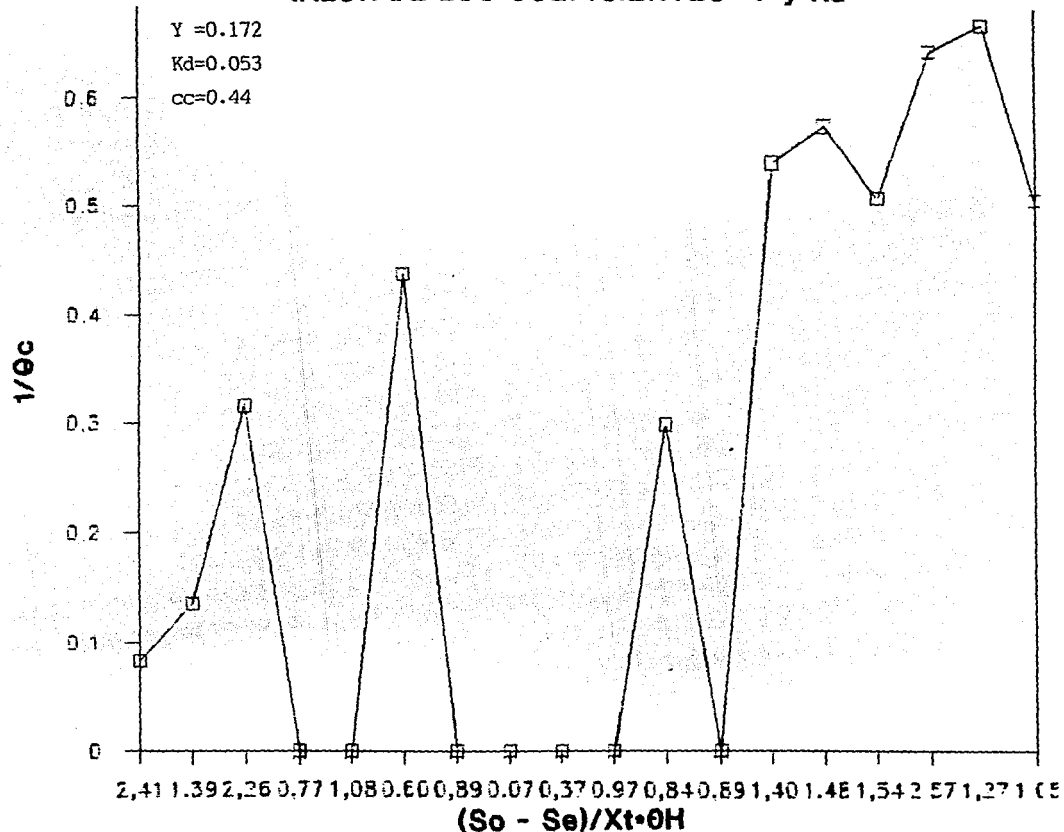
ETAPA XIII (NOCHE)

VALOR DE LOS COEFICIENTES Y y kd

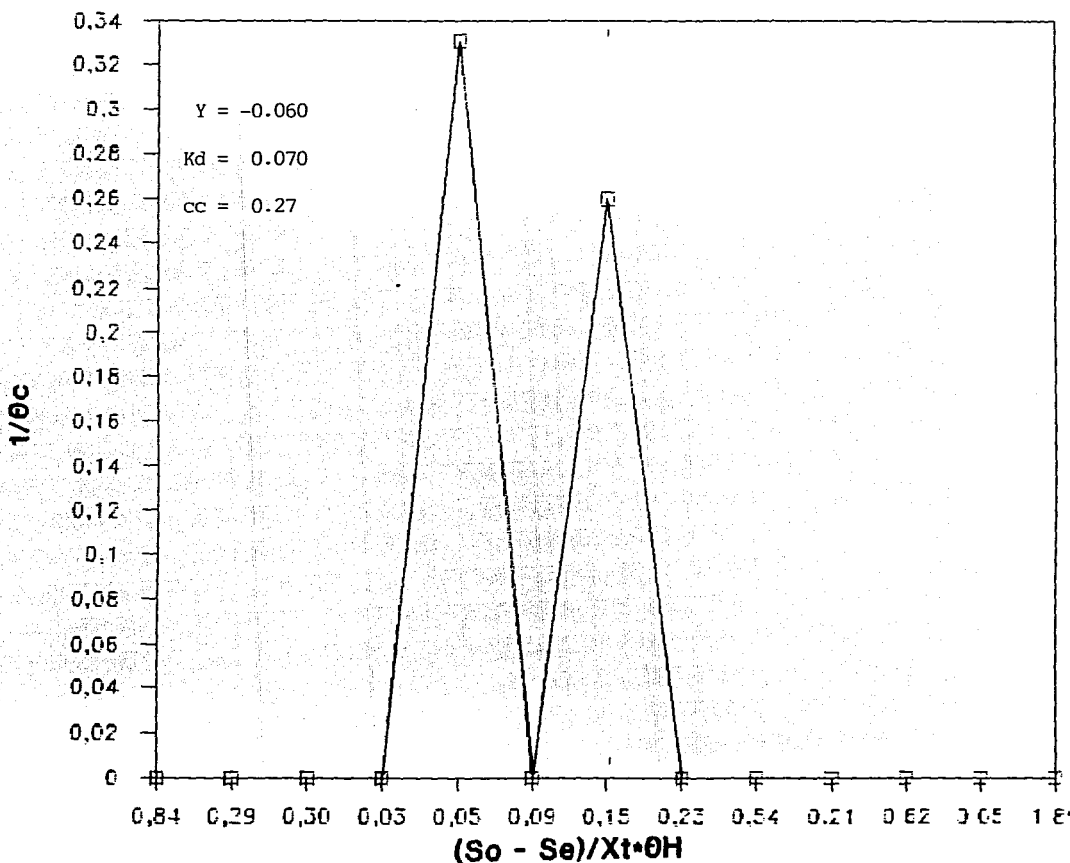


ETAPA XIV

VALOR DE LOS COEFICIENTES Y y Kd

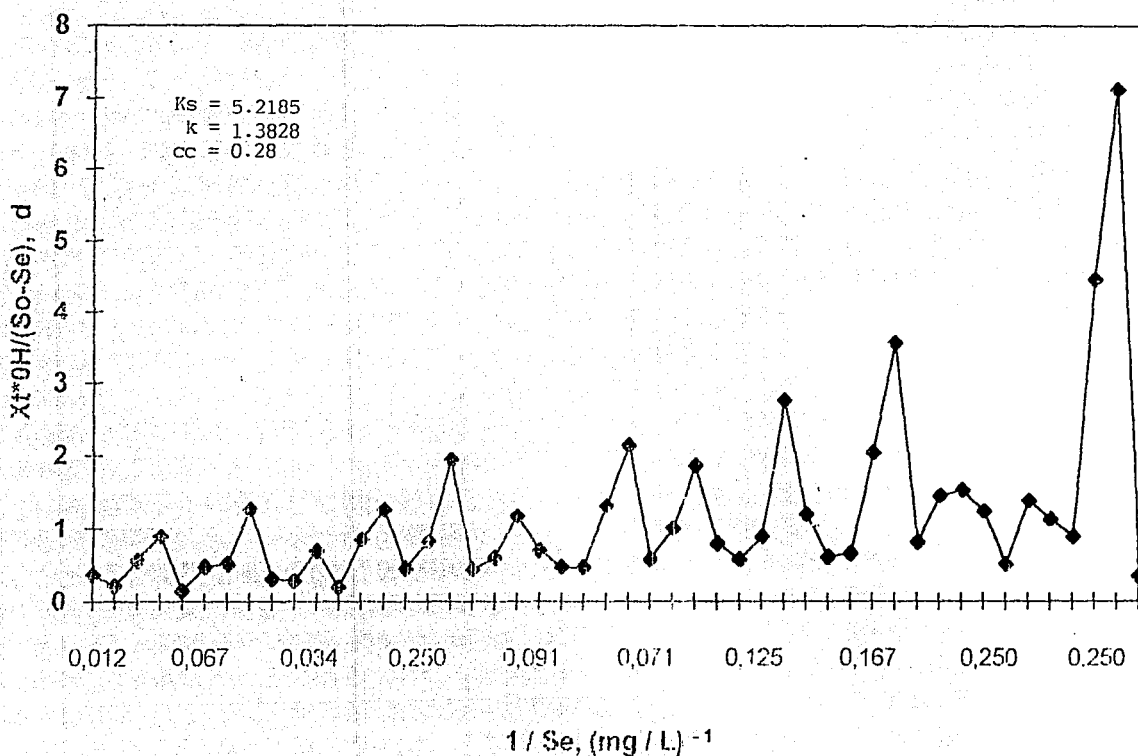


ETAPA XIV (NOCHE)
VALOR DE LOS COEFICIENTES Y y Kd



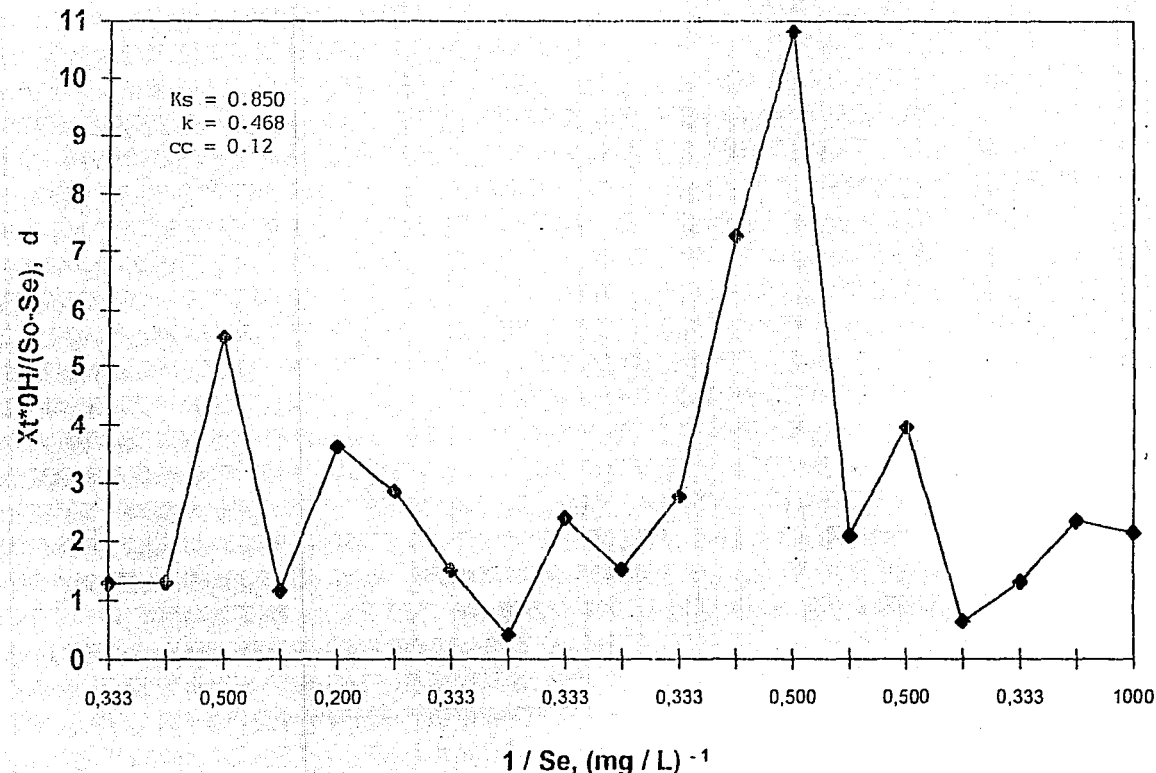
ETAPA I

VALOR DE LOS COEFICIENTES K_s y k



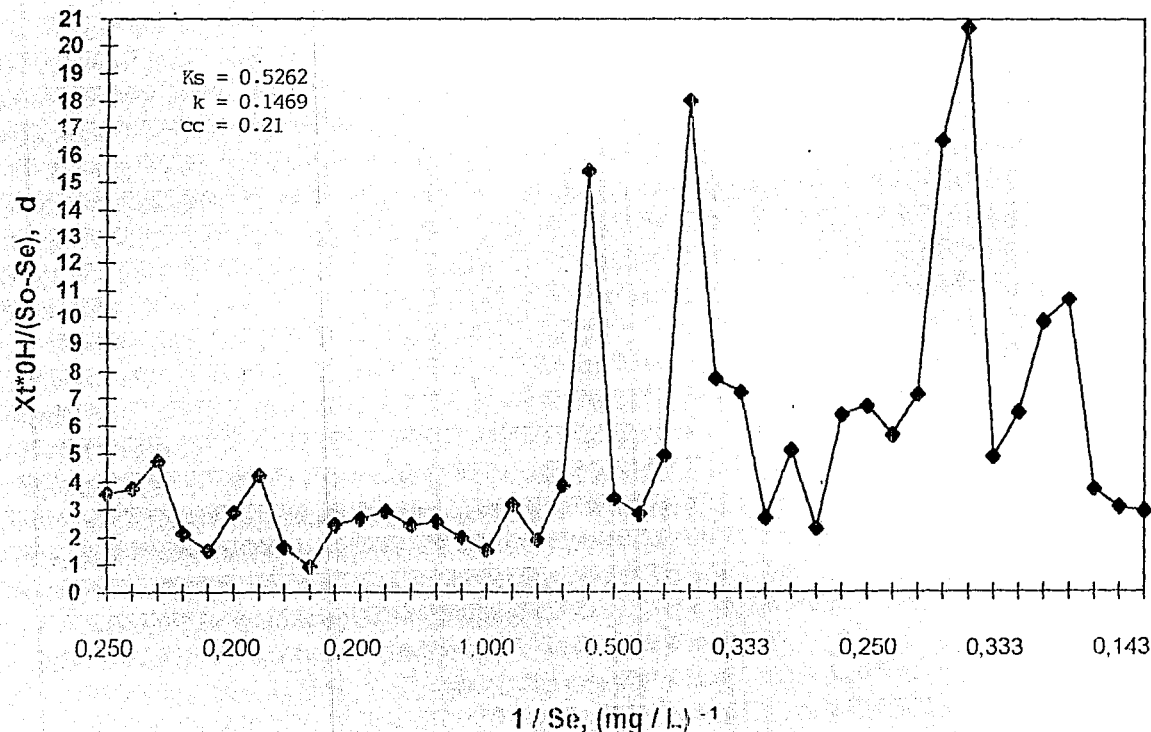
ETAPA II

VALOR DE LOS COEFICIENTES K_s y k



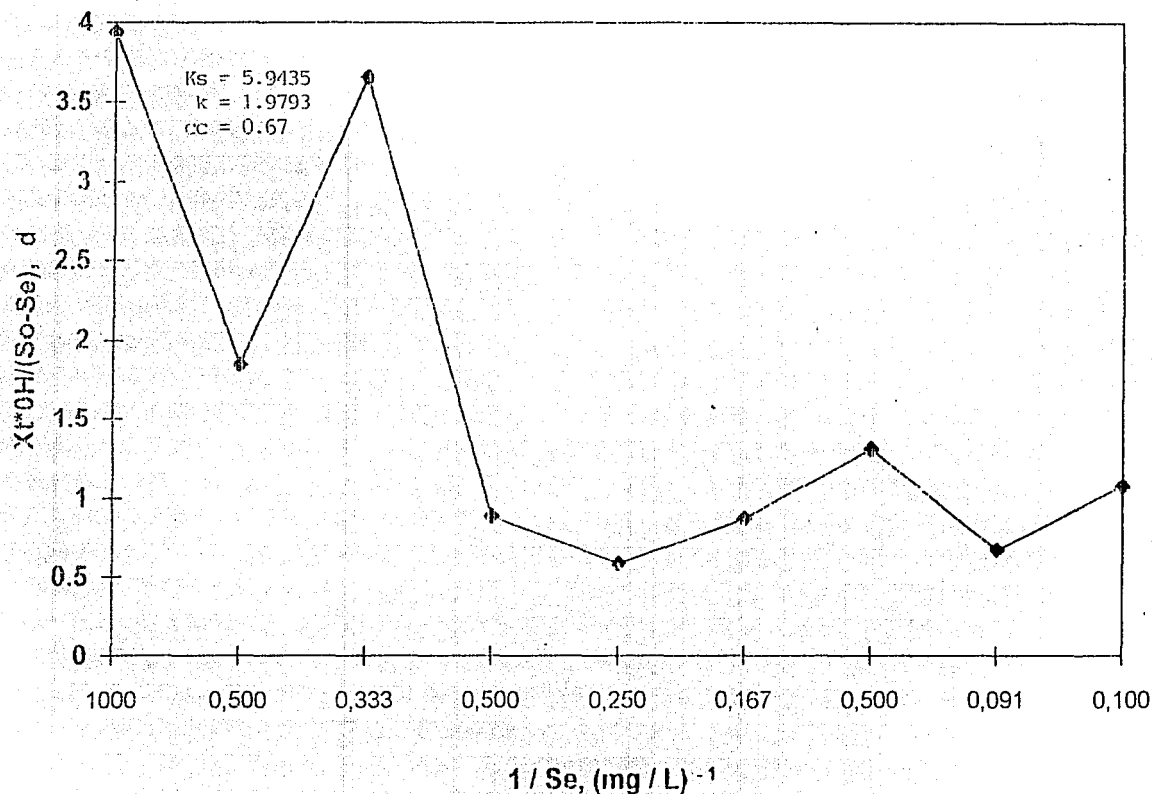
ETAPA III

VALOR DE LOS COEFICIENTES K_s y k



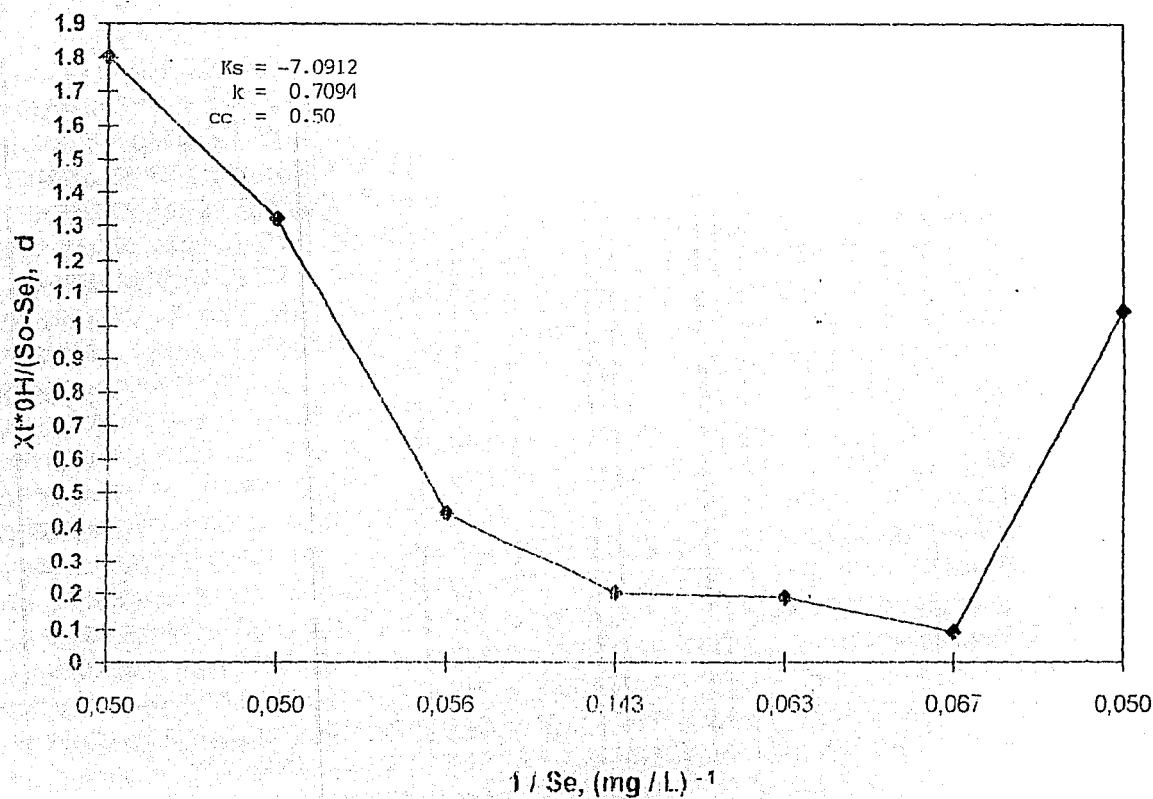
ETAPA IV

VALOR DE LOS COEFICIENTES K_s y k



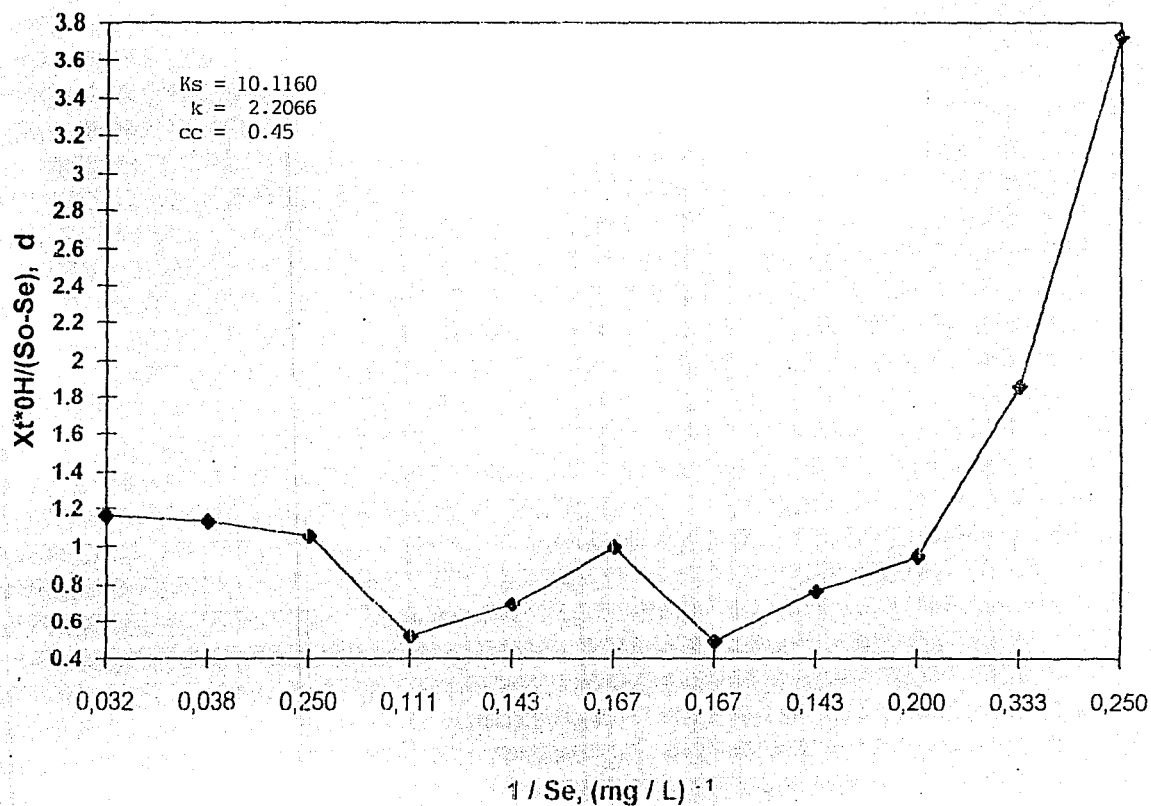
ETAPA V

VALOR DE LOS COEFICIENTES K_s y k



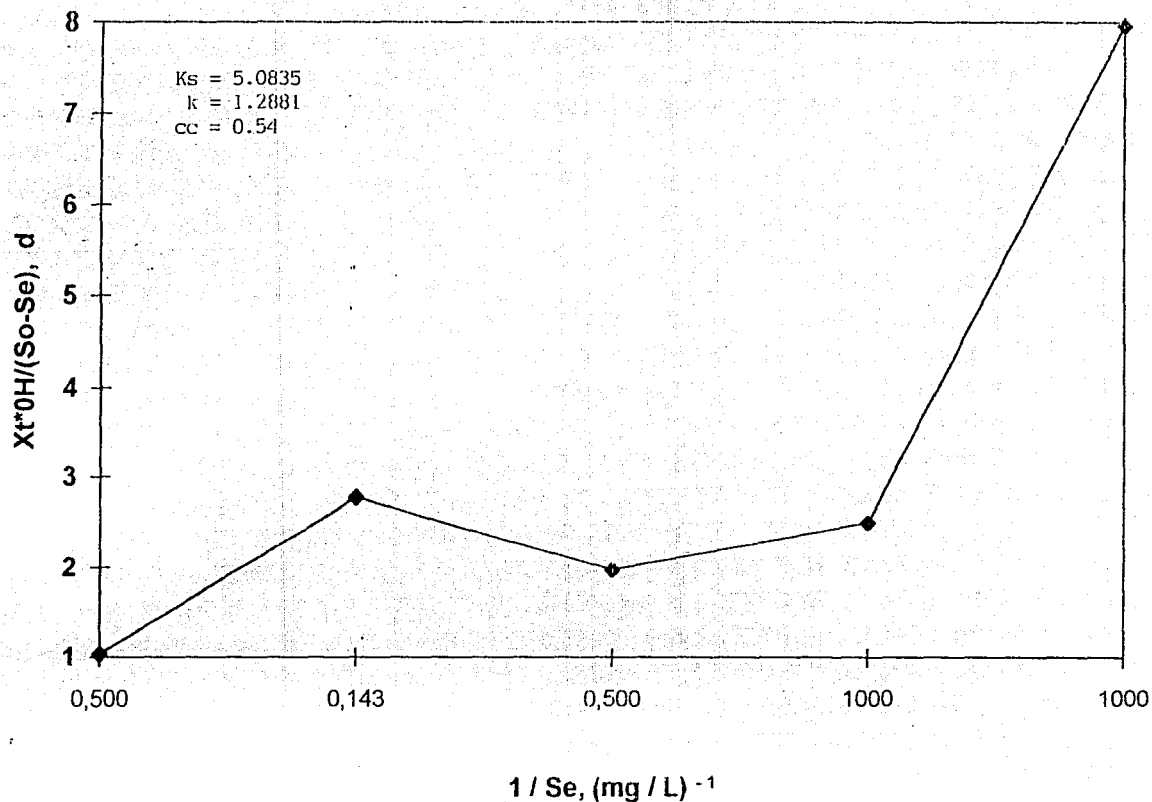
ETAPA VI

VALOR DE LOS COEFICIENTES K_s y k



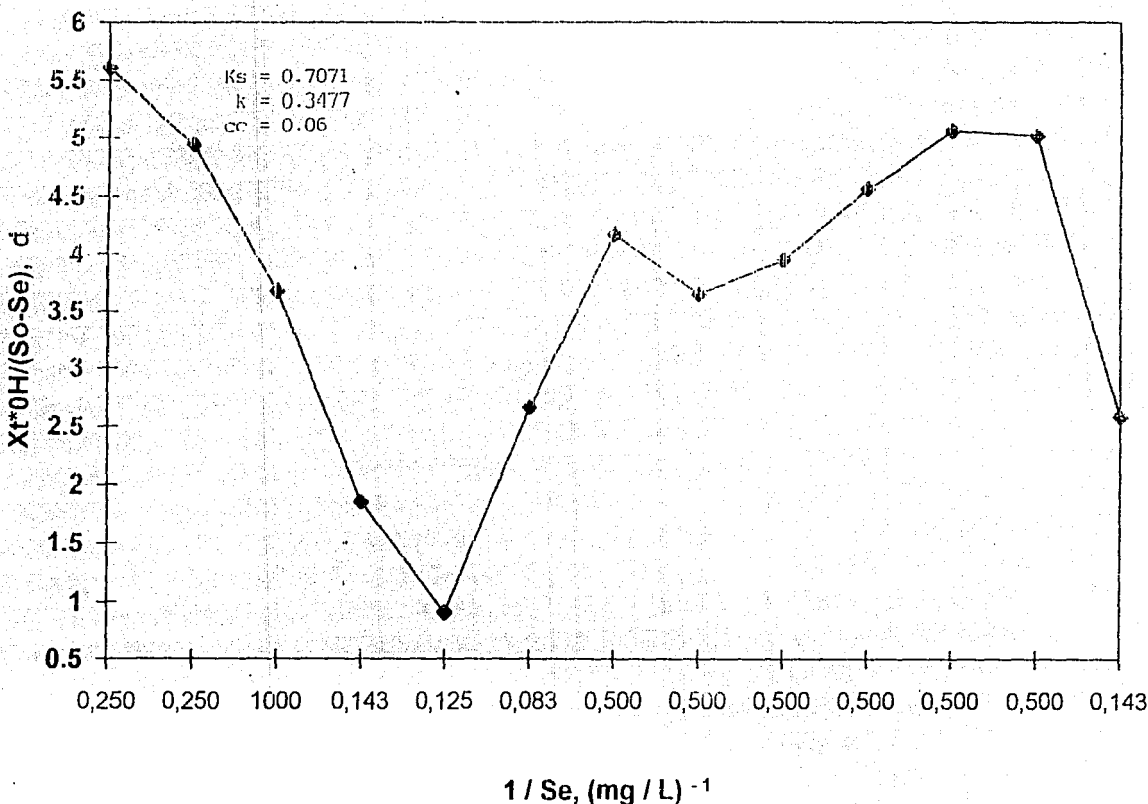
ETAPA VII

VALOR DE LOS COEFICIENTES K_s y k

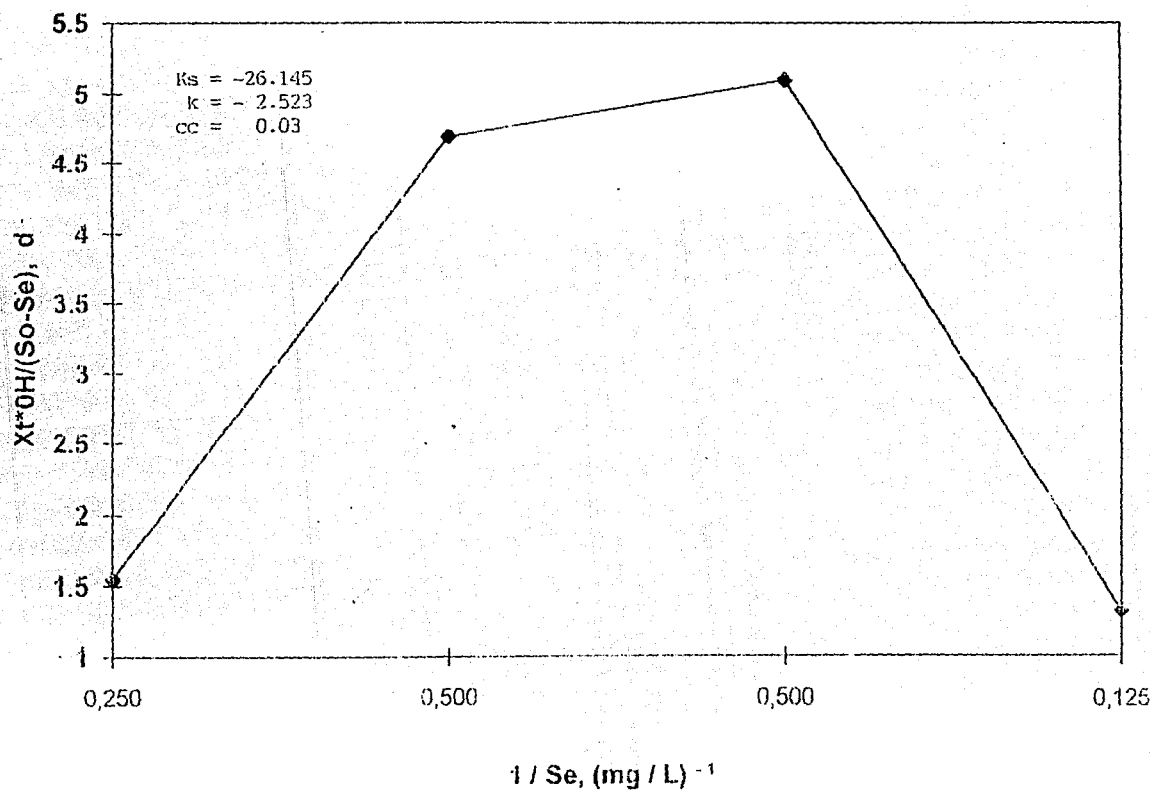


ETAPA VIII

VALOR DE LOS COEFICIENTES K_s y k

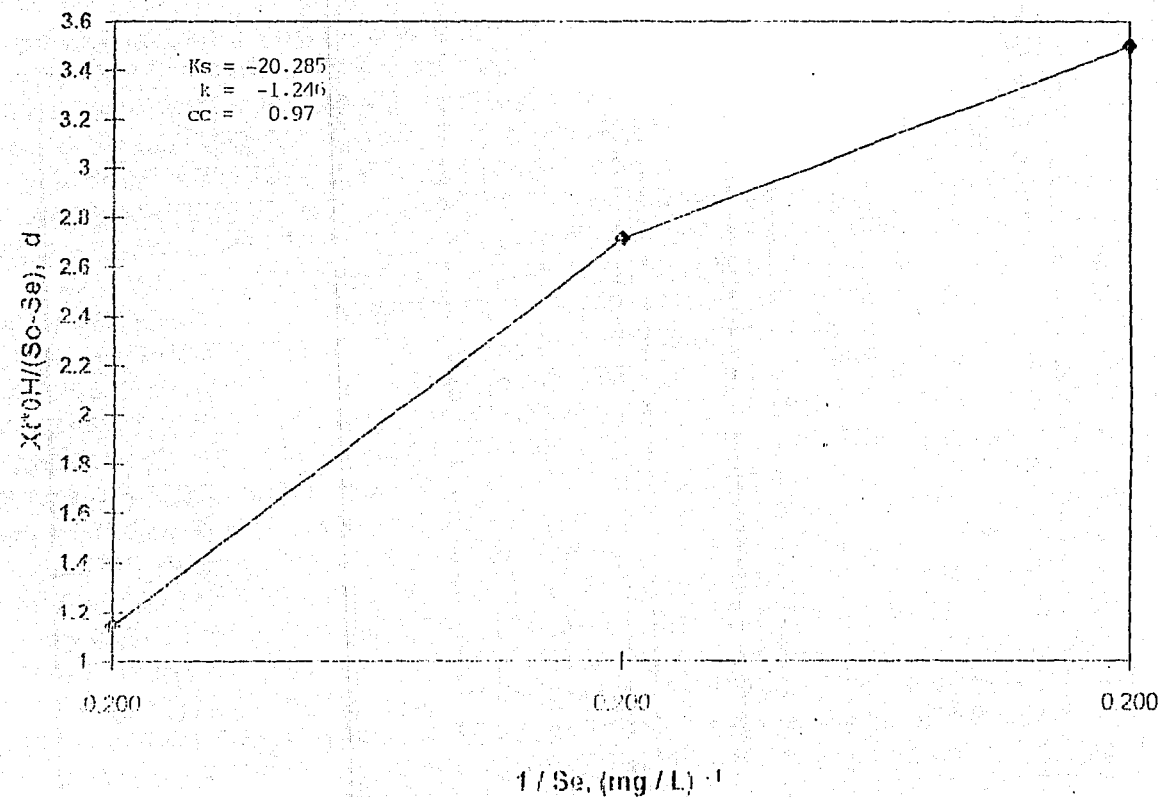


ETAPA IX

VALOR DE LOS COEFICIENTES K_s y k 

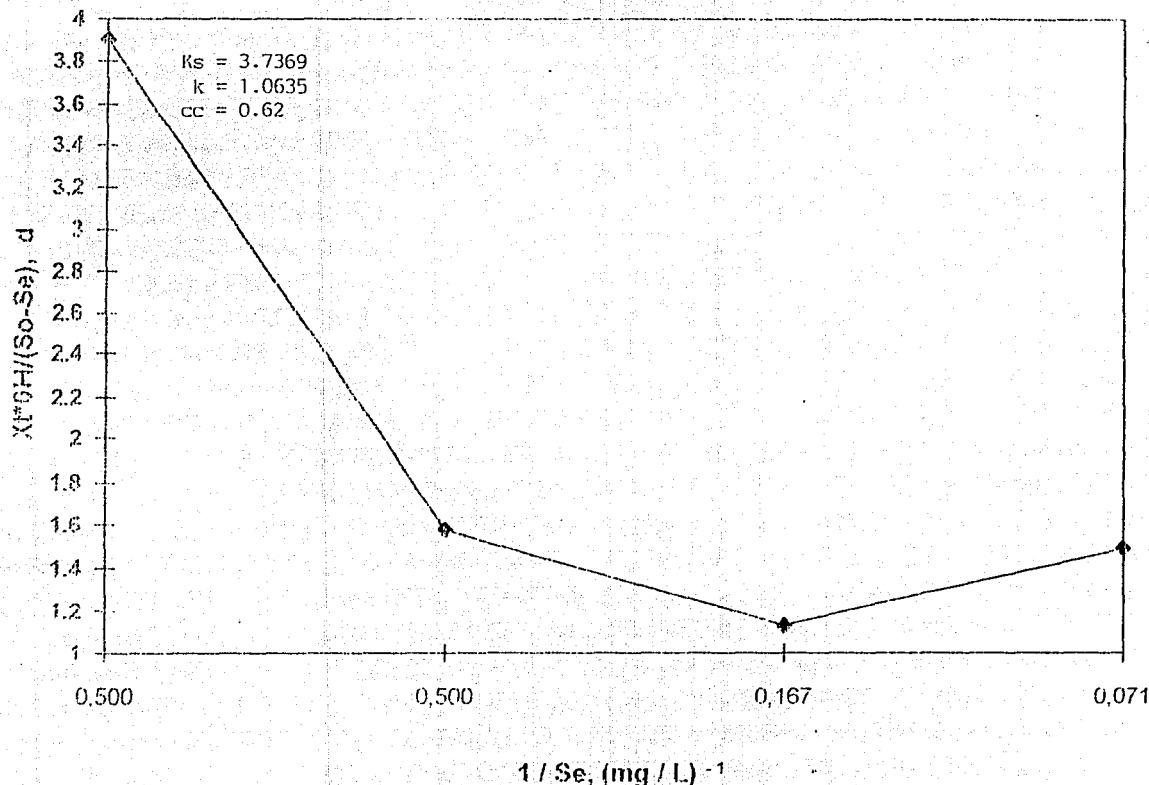
ETAPA X

VALOR DE LOS COEFICIENTES K_s y k



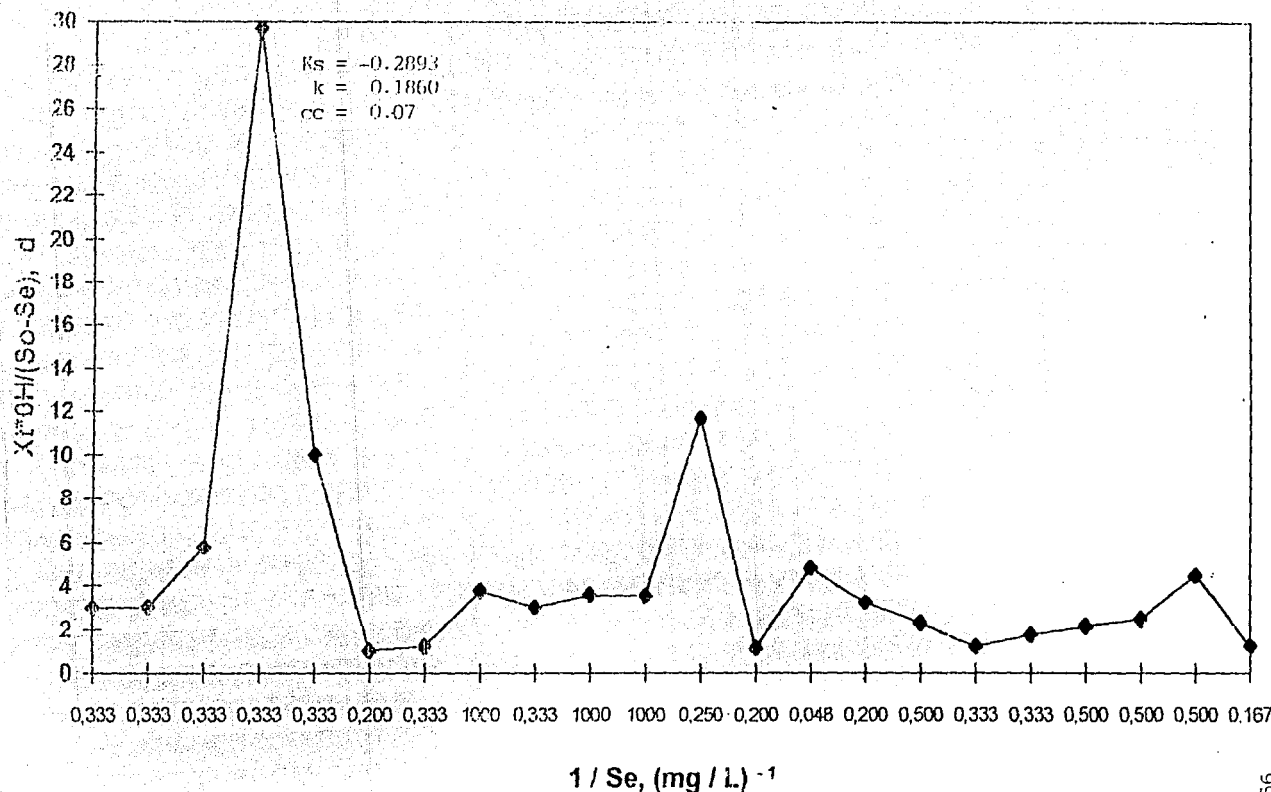
ETAPA XI

VALOR DE LOS COEFICIENTES K_s y k



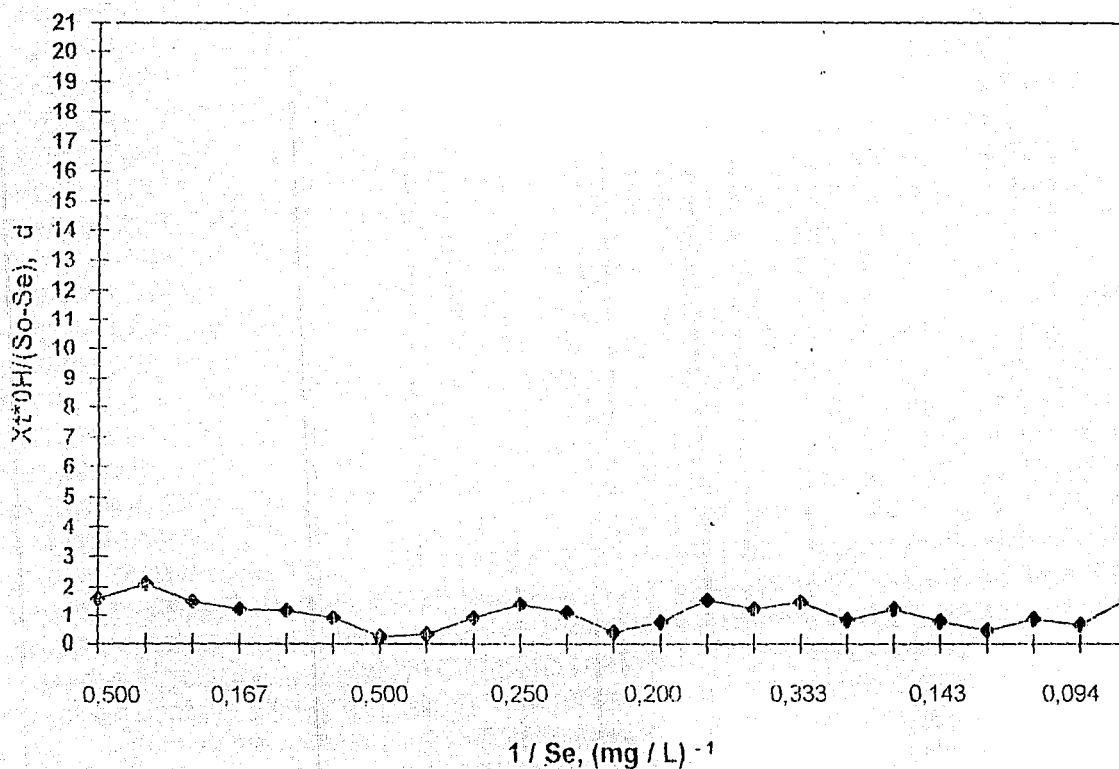
ETAPA XII

VALOR DE LOS COEFICIENTES K_s y k



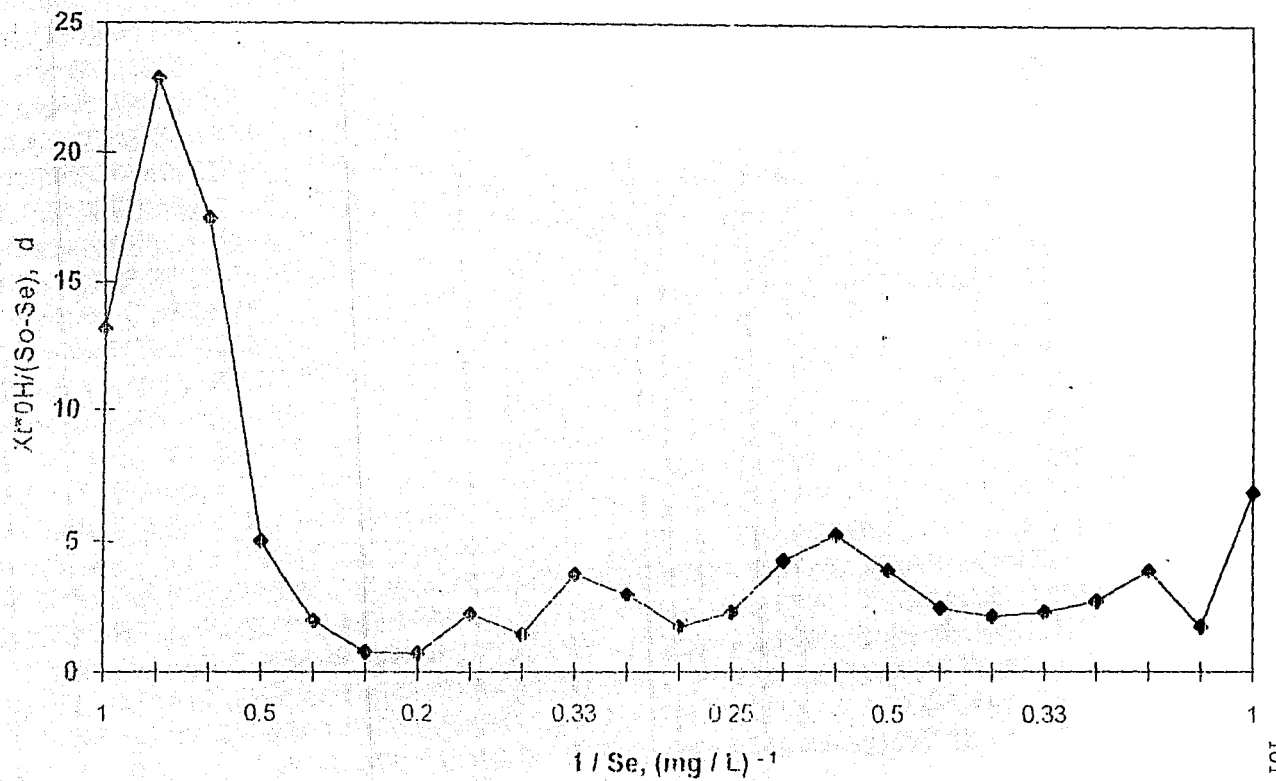
ETAPA XIII (DIA)

VALOR DE LOS COEFICIENTES K_s y k

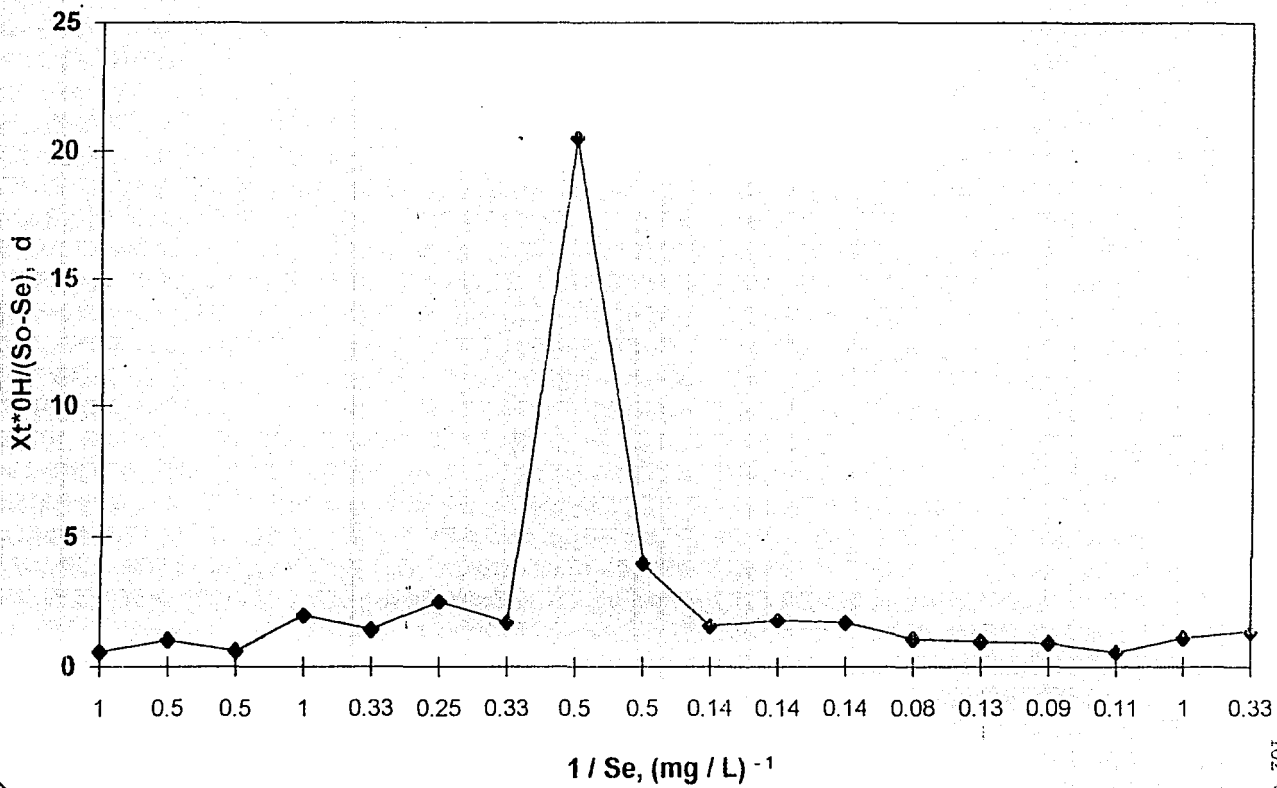


ETAPA XIII (NOCHE)

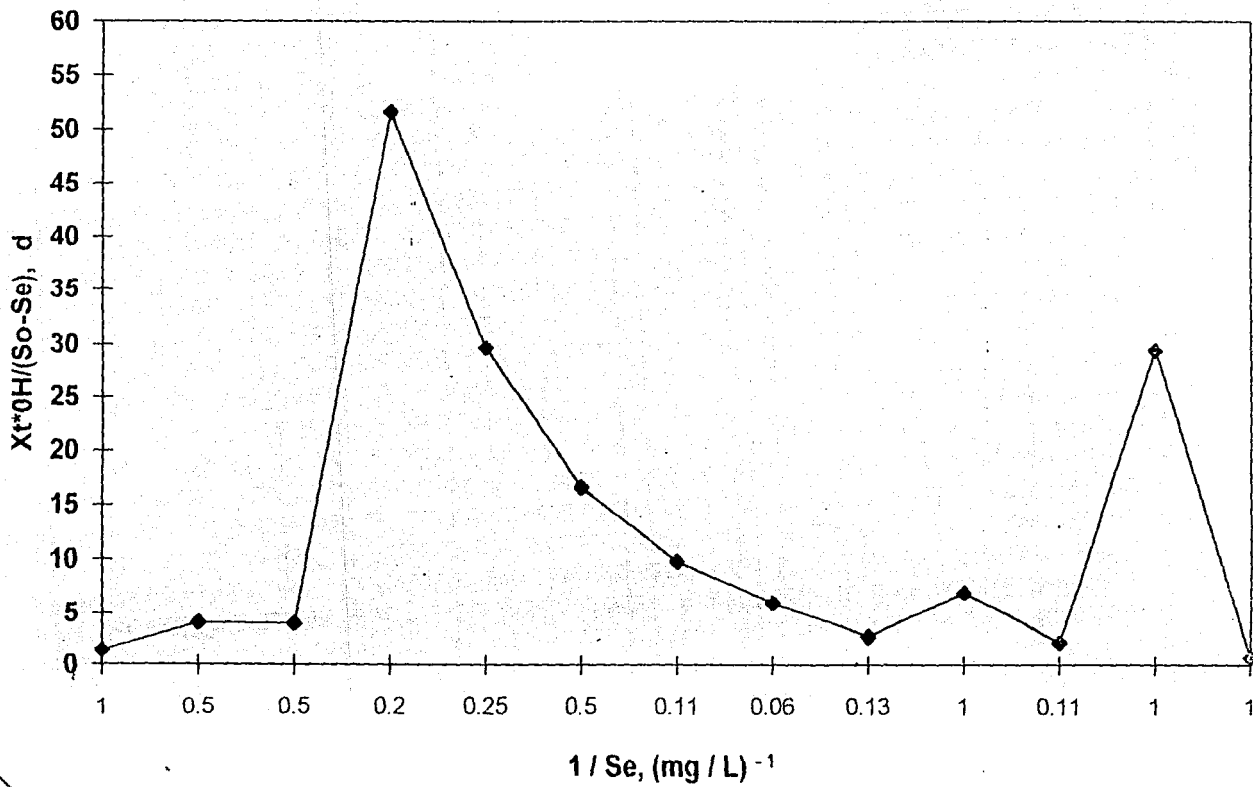
VALOR DE LOS COEFICIENTES K_s y k



ETAPA XIV (DIA)
VALOR DE LOS COEFICIENTES K_s y k



ETAPA XIV (NOCHE)
VALOR DE LOS COEFICIENTES K_s y k



ANEXO D

Resultados Promedio por Etapas

TABLA 7.3

ANEXO E

**Tasas de Consumo de O₂ y
velocidad en zona de
Sedimentación (VZS)**

TASAS DE CONSUMO DE O₂

EJE "X" = TIEMPO
EJE "Y" = O.D.

ETAPA I

AGOST.27'85		AGOST.28'85		AGOST.29'85		AGOST.30'85		SEP.01'85	
TIEMPO	O.D.	TIEMPO	O.D.	TIEMPO	O.D.	TIEMPO	O.D.	TIEMPO	O.D.
(MIN.)	(Mg/Lt.)	(MIN.)	(Mg/Lt.)	(MIN.)	(Mg/Lt.)	(MIN.)	(Mg/Lt.)	(MIN.)	(Mg/Lt.)
0	6.4	0	6.8	0	6.2	0	6.8	0	6.6
0.5	3.7	0.5	5.7	0.5	6.2	0.5	6.5	0.25	3.4
1	3.5	1	6.5	1	6.1	1	6.4	0.5	3.1
1.5	3.5	1.5	6.3	1.5	6.1	1.5	6.3	0.75	3
2	3.4	2	5.3	2	6	2	6.2	1	2.9
2.5	3.4	2.5	5.2	2.5	5.9	2.5	6.1	1.25	2.86
3	3.4	3	6.2	3	5.0	3	6	1.5	2.8
3.5	3.3	3.5	5.2	3.5	5.9	3.5	5.9	1.75	2.75
4	3.3	4	5.1	4	5.8	4	5.8	2	2.7
4.5	3.3	4.5	5.1	4.5	6.7	4.6	5.7	2.25	2.66
5	3.2	5	5	5	5.7	5	5.6	2.5	2.6
5.5	3.2	5.5	5	5.5	5.6	5.5	5.5	2.75	2.66
6	3.2	6	4.9	6	5.6	6	5.4	3	2.5
6.5	3.1	6.5	4.8	6.5	5.6	6.5	5.3	3.25	2.45
7	3.1	7	4.8	7	5.4	7	5.3	3.5	2.4
7.5	3.1	7.5	4.8	7.5	5.4	7.5	5.2	3.75	2.35
8	3	8	4.7	8	5.4	8	5.2	4	2.2
8.5	3	8.5	4.7	8.5	5.3	8.5	5.1	4.25	2.25
9	3	9	4.6	9	5.3	9	5	4.5	2.2
9.5	2.9	9.5	4.6	9.5	5.3	9.5	5	4.75	2.2
10	2.9	10	4.6	10	5.3	10	5	5	2.1
10.5	2.9	10.5	4.6	10.5	6.2	10.5	4.9	5.25	2.1
11	2.8	11	4.4	11	5.2	11	4.8	5.5	2.5
11.5	2.8	11.5	4.3	11.5	5.1	11.5	4.7	5.75	2
12	2.8	12	4.3	12	5.1	12	4.7	6	1.95
12.5	2.8	12.5	4.3	12.5	5.1	12.5	4.6	6.25	1.95
13	2.7	13	4.2	13	5.1	13	4.6	6.5	1.0
13.5	2.7	13.5	4.1	13.5	5	13.5	4.5	6.75	1.05
14	2.7	14	4.1	14	5	14	4.4	7	1.0
14.5	2.7	14.5	4.1	14.5	5	14.5	4.3	7.35	1.75
15	2.6	15	4	15	4.9	15	4.2	7.5	1.7
								7.75	1.65

ETAPA I (CONTINÚA)

SEP.03'85 TEMP.20°C 12:00 HRS. $b = 4,38$ $S = -0,1107$ $Cc = -0,9955$	SEP.04'85 TEMP.20°C 13:10 HRS. $b = 4,45$ $S = -0,1028$ $Cc = -0,8972$	SEP.05'85 TEMP.20°C 12:50 HRS. $b = 3,54$ $S = -0,1245$ $Cc = -0,8932$	SEP.06'85 TEMP.18°C 12:45 HRS. $b = 4,79$ $S = -0,1205$ $Cc = -0,8919$	SEP.12'85 TEMP.18°C 13:10 HRS. $b = 2,87$ $S = -0,1010$ $Cc = -0,8968$					
TIEMPO (MIN.)	O.D. (Mg/Lt.)	TIEMPO (MIN.)	O.D. (Mg/Lt.)	TIEMPO (MIN.)	O.D. (Mg/Lt.)	TIEMPO (MIN.)	O.D. (Mg/Lt.)	TIEMPO (MIN.)	O.D. (Mg/Lt.)
0	6.8	0	6.5	0	6.4	0	6	0	3.2
0.5	4.4	0.5	4.6	0.5	3.7	0.6	5	0.5	2.9
1	4.3	1	4.4	1	3.6	1	4.8	1	2.8
1.5	4.3	1.5	4.3	1.6	3.4	1.6	4.6	1.6	2.7
2	4.2	2	4.2	2	3.3	2	4.5	2	2.6
2.5	4.1	2.5	4.2	2.6	3.2	2.6	4.4	2.6	2.6
3	4.1	3	4.1	3	3.1	3	4.4	3	2.4
3.5	4	3.5	4.1	3.6	3.1	3.6	4.3	3.6	2.3
4	3.9	4	4	4	3	4	4.2	4	2.2
4.5	3.8	4.5	4	4.6	2.8	4.6	4.1	4.6	2.1
5	3.8	5	3.6	5	2.0	5	4.1	5	2
5.5	3.7	5.5	3.9	5.5	2.8	5.5	4	5.5	1.6
6	3.7	6	3.8	6	2.6	6	4	6	1.8
6.5	3.6	6.5	3.8	6.5	2.7	6.6	3.6	6.6	1.7
7	3.6	7	3.7	7	2.6	7	3.9	7	1.6
7.5	3.5	7.5	3.7	7.5	2.6	7.5	3.6	7.5	1.5
8	3.5	8	3.6	8	2.5	8	3.7	8	1.4
8.5	3.4	8.5	3.6	8.5	2.5	8.5	3.7	8.5	1.3
9	3.4	9	3.5	9	2.4	9	3.6	9	1.2
9.5	3.3	9.5	3.5	9.5	2.3	9.5	3.5	9.5	1.1
10	3.2	10	3.4	10	2.3	10	3.5	10	1
10.5	3.2	10.5	3.4	10.5	2.2	10.5	3.4	10.5	0.9
11	3.2	11	3.3	11	2.1	11	3.4	11	0.8
11.5	3.1	11.5	3.3	11.5	2.1	11.5	3.3	11.5	0.7
12	3.1	12	3.2	12	2	12	3.2	12	0.7
12.5	3	12.5	3.2	12.5	2	12.5	3.2	12.5	0.6
13	3	13	3.1	13	2	13	3.1	13	0.5
13.5	2.9	13.5	3.1	13.5	1.9	13.5	3.1	13.5	0.4
14	2.8	14	3	14	1.9	14	3	14	0.4
14.5	2.8	14.5	3	14.5	1.8	14.5	3	14.5	0.3
15	2.8	15	2.9	15	1.7	15	2.9	15	0.3

FALLA DE ORIGEN

TASAS DE CONSUMO DE O₂

EJE "X" = TIEMPO

EJE "Y" = O.D.

ETAPA II

SEP.17'85

TEMP.18°C

12:50 HRS.

b = 3,01

S = -0,1473

Cc = 0,9810

SEP.18'85

TEMP.19°C

14:10 HRS.

b = 4,36

S = -0,1396

Cc = 0,9929

SEP.20'85

TEMP.19°C

12:40 HRS.

b = 4,25

S = -0,1418

Cc = 0,9876

TIEMPO (MIN.)	O.D. (Mg/Lt.)	TIEMPO (MIN.)	O.D. (Mg/Lt.)	TIEMPO (MIN.)	O.D. (Mg/Lt.)
0	3.7	0	5.2	0	6
0.25	3.1	0.25	4.6	0.25	4.6
0.5	3	0.5	4.5	0.5	4.4
0.75	2.9	0.75	4.4	0.75	4.3
1	2.9	1	4.3	1	4.2
1.25	2.8	1.25	4.2	1.25	4.2
1.5	2.8	1.5	4.2	1.5	4.1
1.75	2.7	1.75	4.1	1.75	4.1
2	2.7	2	4.1	2	4
2.25	2.6	2.25	4	2.25	4
2.5	2.6	2.5	4	2.5	3.9
2.75	2.6	2.75	4	2.75	3.9
3	2.5	3	3.9	3	3.8
3.25	2.5	3.25	3.9	3.25	3.8
3.5	2.5	3.5	3.8	3.5	3.7
3.75	2.4	3.75	3.8	3.75	3.7
4	2.4	4	3.7	4	3.6
4.25	2.4	4.25	3.7	4.25	3.6
4.5	2.3	4.5	3.7	4.5	3.5
4.75	2.3	4.75	3.6	4.75	3.5
5	2.3	5	3.6	5	3.5
5.25	2.2	5.25	3.6	5.25	3.4
5.5	2.2	5.5	3.5	5.5	3.4
5.75	2.2	5.75	3.5	5.75	3.3
6	2.1	6	3.5	6	3.3
6.25	2.1	6.25	3.4	6.25	3.3
6.5	2.1	6.5	3.4	6.5	3.2
6.75	2	6.75	3.4	6.75	3.2
7	2	7	3.3	7	3.2
7.25	2	7.25	3.3	7.25	3.1
7.5	1.9	7.5	3.3	7.5	3.1

TASAS DE CONSUMO DE O₂

EJE "X" = TIEMPO
EJE "Y" = O.D.

ETAPA III

TIEMPO	O.D. (Mg/Lt.)	TIEMPO	O.D. (Mg/Lt.)	TIEMPO	O.D. (Mg/Lt.)	TIEMPO	O.D. (Mg/Lt.)	TIEMPO	O.D. (Mg/Lt.)
SEP.23'85	SEP.24'85	SEP.25'85	SEP.26'85	SEP.27'85					
TEMP.12°C	TEMP.18°C	TEMP.22°C	TEMP.18.5°C	TEMP.18°C					
14:00 HRS.	13:15 HRS.	13:30 HRS.	12:00 HRS.	12:10 HRS.					
b=4.63	b=4.89	b=4.27	b=3.77	b=3.46					
S=-0.1217	S=-0.1083	S=-0.1074	S=-0.1733	S=-0.1451					
Cc=-0.9953	Cc=-0.9938	Cc=-0.9957	Cc=-0.9950	Cc=-0.9947					
0	6	0	0	0					
0.25	5.2	0.25	5.1	0.25					
0.5	4.7	0.5	4.05	0.5					
0.75	4.6	0.75	4.85	0.75					
1	4.6	1	4.8	1					
1.25	4.5	1.25	4.75	1.25					
1.5	4.5	1.5	4.7	1.5					
1.75	4.4	1.75	4.7	1.75					
2	4.4	2	4.65	2					
2.25	4.4	2.5	4.6	2.25					
2.5	4.3	3	4.5	2.5					
2.75	4.3	3.25	4.45	2.75					
3	4.2	4	4.4	3					
3.25	4.2	4.5	4.35	3.25					
3.5	4.2	5	4.2	3.5					
3.75	4.1	5.5	4.25	3.75					
4	4.1	6	4.2	4					
4.25	4.1	6.5	4.15	4.25					
4.5	4.1	7	4.1	4.5					
4.75	4	7.5	4.05	4.75					
5	4	8	4	5					
5.25	3.8	8.5	3.85	5.25					
5.5	3.9	9	3.8	6.5					
5.75	3.9	9.5	3.85	5.75					
6	3.9	10	3.8	6					
6.25	3.8	10.5	3.75	6.25					
6.5	3.8	11	3.7	6.5					
6.75	3.8	11.5	3.65	6.75					
7	3.8	12	3.6	7					
7.25	3.7	12.5	3.55	7.25					
7.5	3.7	13	3.5	7.5					
7.75	3.6	13.5	3.45	7.75					
8	3.6	14	3.4	8					
8.25	3.6	14.5	3.4	8.25					
8.5	3.6	15	3.3	8.5					
8.75	3.5			8.75					
9	3.5			9					
9.25	3.5			8.25					
9.5	3.5			9.5					
9.75	3.4			9.75					
10	3.4			10					
10.25	3.5			10.25					
10.5	3.35			10.5					
10.75	3.3			10.75					
11	3.3			11					
11.25	3.25			11.25					
11.5	3.25			11.5					
11.75	3.2			11.75					
12	3.2			12					
12.25	3.15			12.25					
12.5	3.15			12.5					
12.75	3.1			12.75					
13	3.1			13					
13.25	3.05			13.25					
13.5	3.05			13.5					
13.75	3			13.75					
14	3			14					
14.25	2.95			14.25					
14.5	2.95			14.5					
14.75	2.9			14.75					
15	2.9			15					

ETAPA III (CONTINÚA)

SEP.30'86 TEMP.18°C 12:40 HRS. $b = 3,60$ $S = -0,1564$ $Cc = -0,9952$	OCT.02'86 TEMP.16°C 12:00 HRS. $b = 2,65$ $S = 0,1809$ $Cc = -0,9901$	OCT.03'86 TEMP.17°C 12:00 HRS. $b = 2,55$ $S = -0,1827$ $Cc = -0,9975$	OCT.04'86 TEMP.16°C 12:00 HRS. $b = 3,58$ $S = -0,2779$ $Cc = -0,9627$
TIEMPO (MIN.)	O.D. (Mg/Lt.)	TIEMPO (MIN.)	O.D. (Mg/Lt.)
0	6.6	0	6.6
0.25	4	0.25	3
0.5	3.7	0.5	2.8
0.75	3.6	0.75	2.65
1	3.5	1	2.6
1.25	3.5	1.25	2.5
1.5	3.4	1.5	2.45
1.75	3.4	1.75	2.4
2	3.3	2	2.35
2.25	3.3	2.25	2.3
2.5	3.2	2.5	2.25
2.75	3.2	2.75	2.2
3	3.1	3	2.15
3.25	3.1	3.25	2.1
3.5	3	3.5	2.05
3.75	3	3.75	2
4	2.9	4	1.95
4.25	2.9	4.25	1.9
4.5	2.8	4.5	1.86
4.75	2.8	4.75	1.8
5	2.8	5	1.75
5.25	2.8	6.25	1.7
5.5	2.7	6.5	1.65
5.75	2.7	5.75	1.6
6	2.6	6	1.6
6.25	2.6	6.25	1.55
6.5	2.5	6.5	1.5
6.75	2.5	6.75	1.45
7	2.4	7	1.45
7.25	2.4	7.25	1.4
7.5	2.4	7.5	1.36
7.75	2.4	7.75	1.3
8	2.3	8	1.3
8.25	2.3	8.25	1.25
8.5	2.2	8.5	1.2
8.75	2.2	8.75	1.15
9	2.2	9	1.1
9.25	2.2	9.25	1.05
9.5	2.1	9.5	1.06
9.75	2.1	9.75	1
10	2	10	1
10.25	2	10.25	0.95
10.5	1.9	10.5	0.9
10.75	1.9	10.75	0.85
11	1.9	11	0.85
11.25	1.8	11.25	0.8
11.5	1.8	11.5	0.75
11.75	1.8	11.75	0.75
12	1.7	12	0.7
12.25	1.7	12.25	0.65
12.5	1.7	12.5	0.65
12.75	1.7	12.75	0.6
13	1.6	13	0.55
13.25	1.6	13.25	0.5
13.5	1.6	13.5	0.5
13.75	1.5	13.75	0.45
14	1.5	14	0.45
14.25	1.5	14.25	0.4
14.5	1.4	14.5	0.35
14.75	1.4	14.75	0.35
15	1.4	15	0.2

TASAS DE CONSUMO DE O₂

EJE "X" = TIEMPO
EJE "Y" = O.D.

ETAPA IV

OCT.04'85

OCT.11'85

TEMP. 16°C

TEMP. 17°C

12:00 HRS.

12:30 HRS.

b = 3.50

b = 6.98

S = -0.2770

S = -0.1030

Cc = -0.9627

Cc = -0.0812

TIEMPO

TIEMPO

(MIN.)

(MIN.)

(Mg/Lt.)

(Mg/Lt.)

0

0

0.25

7.5

0.5

6.8

0.75

6.75

1

6.7

1.25

6.8

1.5

6.8

1.75

6.8

2

6.8

2.25

6.75

2.5

6.75

2.75

6.7

3

6.7

3.25

6.6

3.5

6.8

3.75

6.6

4

6.6

4.25

6.6

4.5

6.6

4.75

6.4

5

6.4

5.25

6.4

5.5

6.4

5.75

6.4

6

6.4

6.25

6.4

6.5

6.35

6.75

6.35

7

6.3

7.25

6.3

7.5

6.3

7.75

6.3

8

6.3

8.25

6.2

8.5

6.2

8.75

6.2

9

6.2

9.25

6.2

11.25

5.8

11.5

5.8

11.75

5.8

12

5.9

12.25

5.8

12.5

5.8

12.75

5.55

13

5.55

13.25

5.55

13.5

5.5

13.75

5.5

14

5.5

14.25

5.4

14.5

5.4

14.75

5.3

15

5.3

TASAS DE CONSUMO DE O₂

EJE "X" = TIEMPO
EJE "Y" = O.D.

ETAPA V

OCT.11'85 OCT.14'86
TEMP.17°C TEMP.17°C
12:30 HRS. 12:30 HRS.
 $b = 6,98$ $b = 5,08$
 $S = -0,1030$ $S = -0,1365$
 $Cc = -0,9812$ $Cc = -0,9390$

TIEMPO (MIN.)	O.D. (Mg/L.)	TIEMPO (MIN.)	O.D. (Mg/L.)
0	7.5	0	6.4
0.25	6.8	0.25	5.2
0.5	6.75	0.5	5.2
0.75	6.7	0.75	5.1
1	6.7	1	5
1.25	6.8	1.25	4.9
1.5	6.8	1.5	4.9
1.75	6.8	1.75	4.85
2	6.8	2	4.8
2.25	6.75	2.25	4.8
2.5	6.75	2.5	4.75
2.75	6.7	2.75	4.7
3	6.7	3	4.65
3.25	6.6	3.25	4.6
3.5	6.6	3.5	4.6
3.75	6.0	3.75	4.55
4	6.6	4	4.5
4.25	6.6	4.25	4.5
4.5	6.6	4.5	4.45
4.75	6.4	4.75	4.4
5	6.4	5	4.4
5.25	6.4	5.25	4.35
5.5	6.4	5.5	4.3
5.75	6.4	5.75	4.3
6	6.4	6	4.25
6.25	6.4	6.25	4.2
6.5	6.4	6.5	4.2
6.75	6.35	6.75	4.15
7	6.35	7	4.1
7.25	6.3	7.25	4.1
7.5	6.3	7.5	4
7.75	6.3	7.75	4
8	6.3	8	3.95
8.25	6.3	8.25	3.9
8.5	6.2	8.5	3.9
8.75	6.2	8.75	3.85
9	6.2	9	3.8
9.25	6.2	9.25	3.8
11.25	6.8	9.5	3.75
11.5	5.8	9.75	3.7
11.75	5.8	10	3.7
12	5.8	10.25	3.65
12.25	5.8	10.5	3.6
12.5	5.8	10.75	3.6
12.75	5.55	11	3.55
13	6.65	11.25	3.5
13.25	5.55	11.5	3.5
13.5	5.5	11.75	3.45
13.75	5.5	12	3.4
14	5.6	12.25	3.4
14.25	5.4	12.5	3.35
14.5	5.4	12.75	3.3
14.75	5.3	13	3.3
15	5.3	13.25	3.25
		13.5	3.2
		13.75	3.2
		14	3.15
		14.25	3.1
		14.5	3.1
		14.75	3.05
		15	3

FALLA DE ORIGEN

TASAS DE CONSUMO DE O₂

EJE "X" = TIEMPO
EJE "Y" = O.D.

ETAPA VI

OCT. 14'85
TEMP. 17°C
12:30 HRS.
 $b = 5.08$
 $S = -0.1365$
 $Cn = -0.9390$

OCT. 15'85

TEMP. 17°C

12:30 HRS.

 $b = 4.40$ $S = -0.1719$ $Cc = -0.9893$

TIEMPO	O.D.	TIEMPO	O.D.
(MIN.)	(Mg/Lt.)	(MIN.)	(Mg/Lt.)
0	6.4	0	6.6
0.25	5.2	0.25	4.8
0.5	5.2	0.5	4.6
0.75	5.1	0.75	4.45
1	5	1	4
1.25	4.9	1.25	4
1.5	4.9	1.5	4.35
1.75	4.85	1.75	4.3
2	4.8	2	4.3
2.25	4.8	2.25	4.2
2.5	4.75	2.5	4.2
2.75	4.7	2.75	4.15
3	4.65	3	4.1
3.25	4.6	3.25	4.1
3.5	4.6	3.5	3.9
3.75	4.55	3.75	3.9
4	4.5	4	3.85
4.25	4.5	4.25	3.8
4.5	4.45	4.5	3.75
4.75	4.4	4.75	3.7
5	4.4	5	3.7
5.25	4.35	5.25	3.6
5.5	4.3	5.5	3.5
5.75	4.3	5.75	3.4
6	4.25	6	3.4
6.25	4.2	6.25	3.35
6.5	4.2	8.5	3
6.75	4.15	6.75	3
7	4.1	7	3.25
7.25	4.1	7.25	3.2
7.5	4	7.5	3.15
7.75	4	7.75	3.1
8	3.95	8	3.1
8.25	3.9	8.25	3
8.5	3.9	8.5	2.95
8.75	3.85	8.75	2.9
9	3.8	9	2.9
9.25	3.8	9.25	2.85
9.5	3.75	9.5	2.8
9.75	3.7	9.75	2.8
10	3.7	10	2.75
10.25	3.65	10.25	2.7
10.5	3.6	10.5	2.7
10.75	3.6	10.75	2.65
11	3.55	11	2.6
11.25	3.5	11.25	2.6
11.5	3.5	11.5	2.55
11.75	3.45	11.75	2.5
12	3.4	12	2.45
12.25	3.4	12.25	2.4
12.5	3.35	12.5	2.4
12.75	3.3	12.75	2.35
13	3.3	13	2.3
13.25	2.5	13.25	2.25
13.5	3.2	13.5	2.2
13.75	3.2	13.75	2.2
14	3.15	14	2.2
14.25	3.1	14.25	2.1
14.5	3.1	14.5	2.1
14.75	3.05	14.75	2
15	3	15	1.95

TASAS DE CONSUMO DE O₂

EJE "X" = TIEMPO
EJE "Y" = O.D.

ETAPA VII

OCT. 16'85	OCT. 17'85	OCT. 18'85	OCT. 19'85	OCT. 20'85	OCT. 21'85	OCT. 22'85
TIEMPO (MIN.)	O.D. (Mg/Lt.)	TIEMPO (MIN.)	O.D. (Mg/Lt.)	TIEMPO (MIN.)	O.D. (Mg/Lt.)	TIEMPO (MIN.)
0	6.5	0	6.5	0	6.5	0
0.25	4	0.25	5.7	0.25	5.2	0.25
0.5	4	0.5	4.4	0.5	5	0.5
0.75	3.95	0.75	4.4	0.75	4.65	0.75
1	3.0	1	4.2	1	4.6	1
1.25	3.9	1.25	4.15	1.25	4.55	1.25
1.5	3.85	1.5	4.1	1.5	4.4	1.5
1.75	3.8	1.75	4	1.75	4.4	1.75
2	3.8	2	3.95	2	3.95	2
2.25	3.75	2.25	3.9	2.25	3.9	2.25
2.5	3.7	2.5	3.9	2.5	3.8	2.5
2.75	3.7	2.75	3.85	2.75	3.75	2.75
3	3.6	3	3.8	3	3.7	3
3.25	3.6	3.25	3.8	3.25	3.65	3.25
3.5	3.5	3.5	3.7	3.5	3.6	3.5
3.75	3.5	3.75	3.65	3.75	3.55	3.75
4	3.5	4	3.6	4	3.5	4
4.25	3.45	4.25	3.0	4.25	3.5	4.25
4.5	3.4	4.5	3.55	4.5	3.45	4.5
4.75	3.4	4.75	3.5	4.75	3.4	4.75
5	3.3	5	3.45	5	3.4	5
5.25	3.3	5.25	3.4	5.25	3.35	5.25
5.5	3.25	5.5	3.35	5.5	3.3	5.5
5.75	3.2	5.75	3.0	5.75	3.25	5.75
6	3.2	6	3.2	6	3.2	6
6.25	3.15	6.25	3.15	6.25	3.2	6.25
6.5	3.1	6.5	3	6.5	3.15	6.5
6.75	3.1	6.75	2.95	6.75	3.1	6.75
7	3	7	2.9	7	3.1	7
7.25	3	7.25	2.9	7.25	2.9	7.25
7.5	2.05	7.5	2.85	7.5	2.9	7.5
7.75	2.9	7.75	2.8	7.75	2.9	7.75
8	2.9	8	2.8	8	2.85	8
8.25	2.85	8.25	2.75	8.25	2.8	8.25
8.5	2.8	8.5	2.7	8.5	2.75	8.5
8.75	2.8	8.75	2.7	8.75	2.7	8.75
9	2.75	9	2.65	9	2.7	9
9.25	2.7	9.25	2.6	9.25	2.65	9.25
9.5	2.7	0.5	2.6	0.5	2.6	0.5
9.75	2.6	9.75	2.55	9.75	2.55	9.75
10	2.6	10	2.5	10	2.5	10
10.25	2.55	10.25	2.45	10.25	2.45	10.25
10.5	2.5	10.5	2.4	10.5	2.4	10.5
10.75	2.5	10.75	2.4	10.75	2.35	10.75
11	2.45	11	2.35	11	2.3	11
11.25	2.4	11.25	2.3	11.25	2.2	11.25
11.5	2.4	11.5	2.3	11.5	2.2	11.5
11.75	2.35	11.75	2.25	11.75	2.15	11.75
12	2.3	12	2.2	12	2.1	12
12.25	2.3	12.25	2.15	12.25	2.1	12.25
12.5	2.2	12.5	2.1	12.5	2.05	12.5
12.75	2.2	12.75	2	12.75	1.9	12.75
13	1.95	13	1.95	13	1.8	13
13.25	1.9	13.25	1.9	13.25	1.8	13.25
13.5	1.9	13.5	1.9	13.5	1.75	13.5
13.75	1.8	13.75	1.85	13.75	1.75	13.75
14	1.8	14	1.8	14	1.75	14
14.25	1.7	14.25	1.8	14.25	1.75	14.25
14.5	1.7	14.5	1.75	14.5	1.75	14.5
14.75	1.8	14.75	1.7	14.75	1.75	14.75
15	1.6	15	1.7	15	1.75	15

FASAS DE CONSUMO DE O.

116

EJE "X" = TIEMPO
EJE "Y" = O.D.

ETAPA VIII

OCT. 29' 85	OCT. 29' 85	OCT. 30' 85	OCT. 31' 85	NOV. 1' 85
TIEMPO	O.D.	TIEMPO	O.D.	TIEMPO
(MIN.)	(Mg/Lt.)	(MIN.)	(Mg/Lt.)	(MIN.)
0	6.4	0	5.9	0.00
0.25	4.95	0.25	4.95	0.20
0.5	4.9	0.5	4.9	0.25
0.75	4.05	0.75	4.05	0.50
1	4.8	1	4.8	1.00
1.25	4.8	1.25	4.75	1.25
1.5	4.75	1.5	4.7	1.50
1.75	4.7	1.75	4.65	1.75
2	4.65	2	4.5	2.00
2.25	4.6	2.25	4.55	2.25
2.5	4.65	2.5	4.5	2.50
2.75	4.6	2.75	4.45	2.75
3	4.5	3	4.3	3.00
3.25	4.25	3.25	4.25	3.25
3.5	4.4	3.5	4.2	3.50
3.75	4.4	3.75	3.75	3.75
4	4.35	4	4.1	4.00
4.25	4.3	4.25	4.25	4.25
4.5	4.3	4.5	4.15	4.50
4.75	4.25	4.75	4.1	4.75
5	4.2	5	4.0	5.00
5.25	3.95	5.25	5.25	5.25
5.5	3.9	5.5	5.5	5.50
5.75	3.9	5.75	5.75	5.75
6	3.85	6	3.8	6.00
6.25	3.8	6.25	3.85	6.25
6.5	3.75	6.5	3.85	6.50
6.75	3.7	6.75	3.75	6.75
7	3.65	7	3.65	7.00
7.25	3.6	7.25	3.55	7.25
7.5	3.55	7.5	3.5	7.50
7.75	3.5	7.75	3.45	7.75
8	3.45	8	3.25	8.00
8.25	3.4	8.25	3.25	8.25
8.5	3.35	8.5	3.15	8.50
8.75	3.3	8.75	3.1	8.75
9	3.25	9	2.95	9.00
9.25	3.2	9.25	2.9	9.25
9.5	2.95	9.5	2.85	9.50
9.75	2.9	9.75	2.8	9.75
10	2.95	10	2.75	10.00
10.25	2.8	10.25	2.7	10.25
10.5	2.75	10.5	2.65	10.50
10.75	2.7	10.75	2.6	10.75
11	2.65	11	2.5	11.00
11.25	2.6	11.25	2.5	11.25
11.5	2.55	11.5	2.5	11.50
11.75	2.5	11.75	2.45	11.75
12	2.5	12	2.4	12.00
12.25	2.45	12.25	2.35	12.25
12.5	2.4	12.5	2.3	12.50
12.75	2.35	12.75	2.25	12.75
13	2.3	13	2.2	13.00
13.25	2.25	13.25	2.15	13.25
13.5	2.2	13.5	2.1	13.50
13.75	1.95	13.75	1.95	13.75
14	1.9	14	1.9	14.00
14.25	1.85	14.25	1.85	14.25
14.5	1.9	14.5	1.8	14.50
14.75	1.75	14.75	1.75	14.75
15	1.7	15	1.7	15.00
	15.25	15.25	1.8	15.25
	15.5	15.5	1.75	15.50
	15.75	15.75	1.7	15.75
16	1.50	16	1.65	16.00

ETAPA VIII (CONTINUA)

NOV.4'85		NOV.5'85		NOV.6'86		NOV.7'86	
TIEMPO	O.D.	TIEMPO	O.D.	TIEMPO	O.D.	TIEMPO	O.D.
(MIN.J.)	(Mg/L.)	(MIN.J.)	(Mg/L.)	(MIN.J.)	(Mg/L.)	(MIN.J.)	(Mg/L.)
0.00	5.70	0.00	3.95	0.00	3.80	0.00	4.30
0.25	5.65	0.25	3.90	0.25	3.75	0.25	4.05
0.50	5.60	0.50	3.85	0.50	3.70	0.50	4.00
0.75	5.55	0.75	3.80	0.75	3.65	0.75	4.75
1.00	5.50	1.00	3.75	1.00	3.60	1.00	4.70
1.25	5.45	1.25	3.70	1.25	3.55	1.25	4.65
1.50	5.40	1.50	3.65	1.50	3.50	1.50	4.60
1.75	5.35	1.75	3.60	1.75	3.45	1.75	4.55
2.00	5.30	2.00	3.55	2.00	3.40	2.00	4.50
2.25	5.25	2.25	3.50	2.25	3.35	2.25	4.45
2.50	5.20	2.50	3.45	2.50	3.30	2.50	4.40
2.75	5.15	2.75	3.40	2.75	3.25	2.75	4.35
3.00	5.10	3.00	3.35	3.00	3.20	3.00	4.30
3.25	4.95	3.25	3.30	3.25	3.15	3.25	4.25
3.50	4.90	3.50	3.25	3.50	3.10	3.50	4.20
3.75	4.85	3.75	3.20	3.75	3.00	3.75	4.15
4.00	4.80	4.00	3.15	4.00	2.95	4.00	4.15
4.25	4.75	4.25	3.10	4.25	2.90	4.25	4.10
4.50	4.70	4.50	3.00	4.50	2.85	4.50	4.00
4.75	4.65	4.75	2.95	4.75	2.80	4.75	3.95
5.00	4.60	5.00	2.90	5.00	2.75	5.00	3.90
5.25	4.55	5.25	2.85	5.25	2.70	5.25	3.85
5.50	4.50	5.50	2.80	5.50	2.65	5.50	3.80
5.75	4.45	5.75	2.75	5.75	2.60	5.75	3.75
6.00	4.40	6.00	2.70	6.00	2.55	6.00	3.70
6.25	4.35	6.25	2.65	6.25	2.50	6.25	3.65
6.50	4.30	6.50	2.60	6.50	2.45	6.50	3.60
6.75	4.25	6.75	2.55	6.75	2.40	6.75	3.55
7.00	4.20	7.00	2.50	7.00	2.35	7.00	3.50
7.25	4.15	7.25	2.45	7.25	2.20	7.25	3.45
7.50	4.10	7.50	2.40	7.50	2.25	7.50	3.40
7.75	4.05	7.75	2.35	7.75	2.20	7.75	3.35
8.00	4.00	8.00	2.30	8.00	2.15	8.00	3.30
8.25	3.95	8.25	2.25	8.25	2.10	8.25	3.25
8.50	3.90	8.50	2.20	8.50	1.95	8.50	3.20
8.75	3.85	8.75	2.15	8.75	1.90	8.75	3.15
9.00	3.80	9.00	2.10	9.00	1.95	9.00	3.10
9.25	3.75	9.25	2.00	9.25	1.80	9.25	2.95
9.50	3.70	9.50	1.95	9.50	1.75	9.50	2.90
9.75	3.65	9.75	1.90	9.75	1.70	9.75	2.85
10.00	3.60	10.00	1.90	10.00	1.65	10.00	2.80
10.25	3.60	10.25	1.85	10.25	1.60	10.25	2.75
10.50	3.60	10.50	1.80	10.50	1.65	10.50	2.70
10.75	3.45	10.75	1.75	10.75	1.50	10.75	2.65
11.00	3.40	11.00	1.70	11.00	1.45	11.00	2.60
11.25	3.35	11.25	1.65	11.25	1.40	11.25	2.55
11.50	3.30	11.50	1.60	11.50	1.35	11.50	2.50
11.75	3.25	11.75	1.55	11.75	1.30	11.75	2.45
12.00	3.20	12.00	1.50	12.00	1.25	12.00	2.40
12.25	3.15	12.25	1.45	12.25	1.20	12.25	2.35
12.50	3.10	12.50	1.40	12.50	1.15	12.50	2.30
12.75	3.05	12.75	1.35	12.75	1.10	12.75	2.25
13.00	3.00	13.00	1.30	13.00	1.00	13.00	2.20
13.25	3.95	13.25	1.25	13.25	0.95	13.25	2.15
13.50	2.90	13.50	1.20	13.50	0.90	13.50	2.10
13.75	2.85	13.75	1.15	13.75	0.85	13.75	1.95
14.00	2.80	14.00	1.10	14.00	0.80	14.00	1.90
14.25	2.75	14.25	1.05	14.25	0.75	14.25	1.85
14.50	2.70	14.50	0.90	14.50	0.70	14.50	1.80
14.75	2.65	14.75	0.85	14.75	0.65	14.75	1.75
15.00	2.60	15.00	0.80	15.00	0.60	15.00	1.70

TASAS DE CONSUMO DE O₂

ESTAÑA IX

NOV.00'06

TEMP.18°C

11:50 HRS.

S=3.97

S=-0.2012

Cc=0.8803

NOV.11'06

TEMP.17°C

12:30 HRS.

S=1.81

S=-0.2080

Cc=0.9861

TIEMPO	O.D. (M.L.)	TIEMPO	O.D. (M.L.)
0	4.86	0	6.6
0.25	3.9	0.25	2.2
0.5	3.85	0.5	1.9
0.75	3.8	0.75	1.65
1	3.75	1	1.65
1.25	3.7	1.25	1.6
1.5	3.66	1.5	1.45
1.75	3.6	1.75	1.4
2	3.66	2	1.35
2.25	3.5	2.25	1.3
2.5	3.46	2.5	1.25
2.75	3.4	2.75	1.2
3	3.35	3	1.15
3.25	3.3	3.25	1.1
3.5	3.26	3.5	1.05
3.75	3.2	3.75	1
4	3.15	4	0.95
4.25	3.1	4.25	0.9
4.5	3.05	4.5	0.85
4.75	3	4.75	0.8
5	3.05	5	0.75
5.25	2.9	5.25	0.7
5.5	2.86	5.5	0.65
5.75	2.8	5.75	0.5
6	2.75	6	0.55
6.25	2.7	6.25	0.5
6.5	2.65	6.5	0.45
6.75	2.6	6.75	0.4
7	2.65	7	0.35
7.25	2.5	7.25	0.3
7.5	2.46	7.5	0.25
7.75	2.4	7.75	0.2
8	2.35	8	0.15
8.25	2.3	8.25	0.15
8.5	2.25	8.5	0.1
8.75	2.2	8.75	0.1
9	2.15	9	0.05
9.25	2.1	9.25	0
9.5	2.05		
9.75	2		
10	1.95		
10.25	1.9		
10.5	1.86		
10.75	1.8		
11	1.75		
11.25	1.7		
11.5	1.66		
11.75	1.6		
12	1.66		
12.25	1.6		
12.5	1.46		
12.75	1.4		
13	1.36		
13.25	1.3		
13.5	1.26		
13.75	1.2		
14	1.16		
14.25	1.1		
14.5	1.06		
14.75	1.00		
15.00	0.96		

TASAS DE CONSUMO DE O₂

119

ETAPA X

NOV. 12'85		NOV. 13'85		NOV. 14'85	
TIEMPO (MIN.)	O.D. (Mg/Lt.)	TIEMPO (MIN.)	O.D. (Mg/Lt.)	TIEMPO (MIN.)	O.D. (Mg/Lt.)
0	0.3	0	5.4	0	0.3
0.25	4.3	0.25	4.35	0.25	4
0.5	2.5	0.5	4.3	0.5	2
0.75	2.45	0.75	4.25	0.75	1.8
1	2.4	1	4.2	1	1.45
1.25	2.35	1.25	4.15	1.25	1.3
1.5	2.3	1.5	4.1	1.5	1.25
1.75	2.25	1.75	4.05	1.75	1.2
2	2.2	2	4	2	1.1
2.25	2.15	2.25	3.95	2.25	1.05
2.5	2.1	2.5	3.9	2.5	1
2.75	2.05	2.75	3.85	2.75	0.9
3	2	3	3.8	3	0.85
3.25	1.95	3.25	3.75	3.25	0.8
3.5	1.9	3.5	3.7	3.5	0.7
3.75	1.85	3.75	3.65	3.75	0.65
4	1.8	4	3.6	4	0.6
4.25	1.75	4.25	3.55	4.25	0.5
4.5	1.7	4.5	3.5	4.5	0.45
4.75	1.65	4.75	3.45	4.75	0.4
5	1.6	5	3.4	5	0.35
5.25	1.55	5.25	3.35	5.25	0.3
5.5	1.5	5.5	3.3	5.5	0.25
5.75	1.45	5.75	3.25	5.75	0.2
6	1.4	6	3.2	6	0.15
6.25	1.35	6.25	3.15	6.25	0.1
6.5	1.3	6.5	3.1	6.5	0.1
6.75	1.25	6.75	3.05	6.75	0.05
7	1.2	7	3	7	0.05
7.25	1.15	7.25	2.95	7.25	0.05
7.5	1.1	7.5	2.9	7.5	0.05
7.75	1.05	7.75	2.85	7.75	0.05
8	1	8	2.8	8	0.05
8.25	0.95	8.25	2.75	8.25	0
8.5	0.9	8.5	2.7		
8.75	0.85	8.75	2.65		
9	0.8	9	2.6		
9.25	0.75	9.25	2.55		
9.5	0.7	9.5	2.5		
9.75	0.65	9.75	2.45		
10	0.6	10	2.4		
10.25	0.55	10.25	2.35		
10.5	0.5	10.5	2.3		
10.75	0.45	10.75	2.25		
11	0.45	11	2.2		
11.25	0.4	11.25	2.15		
11.5	0.35	11.5	2.1		
11.75	0.3	11.75	2		
12	0.25	12	1.95		
12.25	0.2	12.25	1.9		
12.5	0.15	12.5	1.85		
12.75	0.1	12.75	1.8		
13	0.05	13	1.75		
13.25	0	13.25	1.7		
		13.5	1.65		
		14	1.65		
		14.25	1.6		
		14.5	1.45		
		14.75	1.4		
		15	1.35		

TASAS DE CONSUMO DE O₂

ETAPA XI

NOV. 15'85

TEMP. 18°C

12:00 HRS.

b = 1,62

S = -0,2104

Cc = 0,9055

NOV. 18'85

TEMP. 19°C

12:00 HRS.

b = 2,26

S = -0,2011

Cc = 0,9994

NOV. 19'85

TEMP. 18°C

12:00 HRS.

b = 1,71

S = -0,2574

Cc = 0,9632

TIEMPO (MIN.)	O.D. (Mg/Lt.)	TIEMPO (MIN.)	O.D. (Mg/Lt.)	TIEMPO (MIN.)	O.D. (Mg/Lt.)
0	2,6	0	4,6	0	6,4
0.25	1,85	0.25	2,35	0.25	3,05
0.5	1,65	0.5	2,15	0.5	2,45
0.75	1,5	0.75	2,1	0.75	1,95
1	1,45	1	2,05	1	1,75
1.25	1,4	1.25	2	1.25	1,65
1.5	1,35	1.5	1,95	1.5	1,35
1.75	1,3	1.75	1,9	1.75	1,2
2	1,25	2	1,85	2	1,1
2.25	1,2	2.25	1,8	2.25	0,95
2.5	1,15	2,5	1,75	2,5	0,9
2.75	1,1	2,75	1,7	2,75	0,85
3	0,95	3	1,65	3	0,8
3.25	0,9	3.25	1,6	3.25	0,75
3.5	0,85	3.5	1,65	3.5	0,7
3.75	0,8	3.75	1,5	3.75	0,65
4	0,75	4	1,45	4	0,6
4.25	0,7	4.25	1,4	4.25	0,55
4.5	0,65	4.5	1,35	4.5	0,5
4.75	0,6	4.75	1,3	4.75	0,45
5	0,55	5	1,25	5	0,4
5.25	0,5	5.25	1,2	5.25	0,35
5.5	0,45	5.5	1,15	5.5	0,3
5.75	0,4	5.75	1,1	5.75	0,25
6	3,5	6	1,05	6	0,2
6.25	0,3	6.25	1	6.25	0,15
6.5	0,25	6.5	0,95	6.5	0,1
6.75	0,2	6.75	0,9	6.75	0,05
7	0,15	7	0,85	7	0,05
7.25	0,1	7.25	0,8	7.25	0
7.5	0,05	7.5	0,75		
7.75	0,05	7.75	0,7		
8	0	8	0,65		
		8.25	0,6		
		8.5	0,55		
		8.75	0,5		
		9	0,45		
		9.25	0,4		
		9.5	0,35		
		9.75	0,3		
		10	0,25		
		10.25	0,2		
		10.5	0,15		
		10.75	0,1		
		11	0,05		
		11.25	0		

FASAS DE CONSUMO DE O₂

121

ETAPA XII

NOV. 21'85	NOV. 27'85	NOV. 29'85	DIC. 02'85
TEMP. 18°C	TEMP. 17°C	TEMP. 17°C	TEMP. 18°C
12:00 HRS.	12:00 HRS.	12:00 HRS.	12:00 HRS.
b = 5,91	b = 2,36	b = 1,40	b = 1,10
S = -0,2006	S = -0,0623	S = -0,1096	S = 0,2000
Cc = -0,988	Cc = -0,8467	Cc = -0,0067	Cc = -1,00
TIEMPO (MIN.)	O.D. (Mg/Lt.)	TIEMPO (MIN.)	O.D. (Mg/Lt.)
0	6	0	6,75
0.25	5.9	0.25	4.2
0.5	5.8	0.5	3.5
0.75	5.75	0.75	2.4
1	5.7	1	2.4
1.25	5.65	1.25	2.35
1.5	5.6	1.5	2.3
1.75	5.55	1.75	2.3
2	5.5	2	2.3
2.25	5.45	2.25	2.25
2.5	5.4	2.5	2.25
2.75	5.35	2.75	2.25
3	5.3	3	2.2
3.25	5.25	3.25	2.15
3.5	5.2	3.5	2.1
3.75	5.15	3.75	2.1
4	5.1	4	2.1
4.25	5.05	4.25	2.05
4.5	5	4.5	2.05
4.75	4.95	4.75	2.05
5	4.8	5	2
5.25	4.85	5.25	2
5.5	4.8	5.5	2
5.75	4.75	6.75	1.95
6	4.7	6	1.95
6.25	4.65	6.25	1.95
6.5	4.6	6.5	1.9
6.75	4.55	6.75	1.9
7	4.5	7	1.9
7.25	4.45	7.25	1.85
7.5	4.4	7.5	1.85
7.75	4.35	7.75	1.85
8	4.3	8	1.85
8.25	4.25	8.25	1.8
8.5	4.2	8.5	1.8
8.75	4.15	8.75	1.8
9	4.1	9	1.8
9.25	4.05	9.25	1.75
9.5	4	9.5	1.75
9.75	3.95	9.75	1.75
10	3.9	10	1.75
10.25	2.85	10.25	1.75
10.5	2.8	10.5	1.7
10.75	2.75	10.75	1.7
11	2.7	11	1.7
11.25	2.65	11.25	1.65
11.5	2.6	11.5	1.65
11.75	2.55	11.75	1.65
12	2.5	12	1.65
12.25	2.45	12.25	1.65
12.5	2.4	12.5	1.6
12.75	2.35	12.75	1.6
13	2.3	13	1.6
13.25	2.25	13.25	1.6
13.5	2.2	13.5	1.6
13.75	2.15	13.75	1.6
14	2.1	14	1.55
14.25	2.05	14.25	1.55
14.5	2	14.5	1.55
14.75	1.95	14.75	1.55
15	1.9	15	1.55

FALLA DE ORIGEN

ETAPA XII (CONTINÚA)

DIC.03'85 TEMP.18°C 12:00 HRS. $b = 1,61$ $S = -0,1998$ $Cc = -0,9977$	DIC.04'85 TEMP.18°C 12:03 HRS. $b = 1,88$ $S = -0,1730$ $Cc = -0,9320$	DIC.05'85 TEMP.18°C 12:00 HRS. $b = 1,70$ $S = -0,1989$ $Cc = -0,8999$	DIC.06'85 TEMP.18°C 12:00 HRS. $b = 2,53$ $S = -0,1973$ $Cc = -0,8966$	DIC.09'85 TEMP.17°C 12:31 HRS. $b = 1,54$ $S = -0,1960$ $Cc = -0,9980$
TIEMPO (MIN.)	O.D. (Mg/Lt.)	TIEMPO (MIN.)	O.D. (Mg/Lt.)	TIEMPO (MIN.)
0.00	3.00	0.00	5.60	0.00
0.25	1.60	0.25	2.20	0.25
0.50	1.50	0.50	1.85	0.60
0.75	1.45	0.75	1.80	0.75
1.00	1.40	1.00	1.75	1.00
1.25	1.35	1.25	1.70	1.25
1.50	1.30	1.50	1.65	1.50
1.75	1.25	1.75	1.60	1.75
2.00	1.20	2.00	1.55	2.00
2.25	1.15	2.25	1.50	2.25
2.50	1.10	2.50	1.45	2.50
2.75	1.05	2.75	1.40	2.75
3.00	1.00	3.00	1.35	3.00
3.25	0.95	3.25	1.30	3.25
3.50	0.90	3.50	1.25	3.50
3.75	0.85	3.75	1.20	3.75
4.00	0.80	4.00	1.15	4.00
4.25	0.75	4.25	1.10	4.25
4.50	0.70	4.50	1.05	4.50
4.75	0.65	4.75	1.00	4.75
5.00	0.60	5.00	0.95	5.00
5.25	0.55	5.25	0.90	5.25
5.50	0.50	5.50	0.85	5.50
5.75	0.45	5.75	0.80	5.75
6.00	0.40	6.00	0.75	6.00
6.25	0.35	6.25	0.70	6.25
6.50	0.30	6.50	0.65	6.50
6.75	0.25	6.75	0.60	6.75
7.00	0.20	7.00	0.55	7.00
7.25	0.15	7.25	0.50	7.25
7.50	0.10	7.50	0.45	7.50
7.75	0.05	7.75	0.40	7.75
8.00	0.05	8.00	0.35	8.00
8.25	0.05	8.25	0.30	8.25
8.50	0.05	8.50	0.25	8.50
8.75	0.05	8.75	0.20	8.75
9.00	0.05	9.00	0.15	9.00
9.25	0.05	9.25	0.10	9.25
			9.50	0.05
			9.75	0.05
			10.00	0.05
			10.25	0.05
			10.50	0.05
				10.75
				11.00
				0.05
				11.25
				11.50
				11.75
				12.00
				12.25
				12.50
				0.00

ETAPA XII - CONTINUACION

DIC.10'65 DIC.13'65
 TEMP 19°C TEMP 17°C
 14:00 HRS. 13:00 HRS.
 $c = 1.05$ $c = 1.97$
 $S = -0.3301$ $S = -0.175$
 $C_c = 0.0063$ $C_c = 0.0017$

TIEMPO	O.D.	TIEMPO	O.D.
(MIN.)	(Mg/L.)	(MIN.)	(Mg/L.)
0.00	2.00	0.00	1.00
0.25	1.70	0.25	1.15
0.50	1.55	0.50	1.20
0.75	1.45	0.75	1.10
1.00	1.30	1.00	1.00
1.25	1.20	1.25	0.95
1.50	1.10	1.50	0.75
1.75	1.00	1.75	0.65
2.00	0.90	2.00	0.55
2.25	0.80	2.25	0.45
2.50	0.75	2.50	0.35
2.75	0.75	1.75	0.30
3.00	0.65	3.00	0.20
3.25	0.60	3.25	0.15
3.50	0.40	3.50	0.15
3.75	0.30	3.75	0.15
4.00	0.25	4.00	0.10
4.25	0.15	4.25	0.10
4.50	0.15	4.50	0.10
4.75	0.10	4.75	0.10
5.00	0.10		
5.25	0.10		

TASAS DE CONSUMO DE O₂

ETAPA XIII

ENE. 15'86 TEMP. 17°C 12:00 HRS. $a = 1.75$ $b = -0.2537$ $C_a = -0.0942$	ENE. 16'86 TEMP. 16°C 12:00 HRS. $b = 2.20$ $S = -0.2606\ 595$ $C_b = -0.0920$	ENE. 20'86 TEMP. 16°C 12:00 HRS. $b = 1.63$ $S = -0.1333$ $C_c = -0.0904$	ENE. 27'86 TEMP. 17°C 12:00 HRS. $b = 4.69$ $S = -0.1482$ $C_d = -0.0801$	ENE. 28'86 TEMP. 17°C 15:30 HRS. $b = 4.60$ $S = -0.1485$ $C_e = -0.0806$
TIEMPO	O.D.	TIEMPO	O.D.	TIEMPO
(MIN.)	(Mg/Lt.)	(MIN.)	(Mg/Lt.)	(MIN.)
0.00	2.20	0.00	2.80	0.00
0.25	1.80	0.25	2.40	0.25
0.50	1.70	0.50	2.20	0.50
0.75	1.60	0.75	2.10	0.75
1.00	1.55	1.00	2.00	1.00
1.25	1.45	1.25	1.90	1.25
1.50	1.30	1.50	1.85	1.50
1.75	1.30	1.75	1.75	1.75
2.00	1.25	2.00	1.65	2.00
2.25	1.15	2.25	1.65	2.25
2.50	1.05	2.50	1.50	2.50
2.75	1.00	2.75	1.40	2.75
3.00	0.95	3.00	1.30	3.00
3.25	0.90	3.25	1.25	3.25
3.50	0.80	3.50	1.20	3.50
3.75	0.75	3.75	1.15	3.75
4.00	0.65	4.00	1.10	4.00
4.25	0.65	4.25	1.00	4.25
4.50	0.55	4.50	1.00	4.50
4.75	0.50	4.75	0.90	4.75
5.00	0.45	5.00	0.85	5.00
5.25	0.40	5.25	0.80	5.25
5.50	0.35	5.50	0.70	5.50
5.75	0.30	5.75	0.65	5.75
6.00	0.20	6.00	0.60	6.00
6.25	0.20	6.25	0.55	6.25
6.50	0.15	6.50	0.50	6.50
6.75	0.10	6.75	0.40	6.75
7.00	0.10	7.00	0.35	7.00
		7.25	0.30	7.25
		7.50	0.25	7.50
		7.75	0.20	7.75
		8.00	0.15	8.00
		8.25	0.15	8.25
		8.50	0.10	8.50
		8.75	0.05	8.75
		9.00	0.05	9.00
		9.25	0.05	9.25
		9.50	0.35	9.50
		9.75	0.30	9.75
		10.00	0.30	10.00
		10.25	0.25	10.25
		10.50	0.25	10.50
		10.75	0.20	10.75
		11.00	0.15	11.00
		11.25	0.15	11.25
		11.50	0.10	11.50
		11.75	0.05	11.75
		12.00	0.00	12.00
		12.25	0.00	12.25
		12.50	0.00	12.50
		12.75	2.95	12.75
		13.00	2.90	13.00
		13.25	2.90	13.25
		13.50	2.85	13.50
		13.75	2.80	13.75
		14.00	2.80	14.00
		14.25	2.75	14.25
		14.50	2.75	14.50
		14.75	2.70	14.75
		15.00	2.65	15.00

ETAPA XIII (CONTINÚA)

ENE.31'86		FEB.01'86		FEB.02'86		FEB.03'86	
TEMP.17°C	TEMP.17°C	TEMP.17°C	TEMP.17°C	TEMP.18°C	TEMP.18°C	TEMP.18°C	TEMP.18°C
12:00 HRS.	12:00 HRS.						
b = 3,37	b = 3,78	b = 3,90	b = 3,90	b = 3,31	b = 3,31	b = 3,31	b = 3,31
S = -0,1882	S = -0,1620	S = -0,1601	S = -0,1601	S = -0,1692	S = -0,1692	S = -0,1692	S = -0,1692
Cc = -0,9970	Cc = -0,9987	Cc = -0,9990	Cc = -0,9990	Cc = -0,9992	Cc = -0,9992	Cc = -0,9992	Cc = -0,9992
TIEMPO	O.D. (MIN.)	TIEMPO	O.D. (MIN.)	TIEMPO	O.D. (MIN.)	TIEMPO	O.D. (MIN.)
	(Mg/Lt.)		(Mg/Lt.)		(Mg/Lt.)		(Mg/Lt.)
0.00	3.80	0.00	4.15	0.00	4.00	0.00	3.50
0.25	3.70	0.25	3.85	0.25	3.85	0.25	3.35
0.50	3.50	0.50	3.75	0.50	3.80	0.50	3.30
0.75	3.30	0.75	3.70	0.75	3.75	0.75	3.26
1.00	3.15	1.00	3.65	1.00	3.65	1.00	3.20
1.50	3.10	1.25	3.60	1.25	3.65	1.25	3.10
2.00	3.00	1.50	3.65	1.50	3.60	1.50	3.05
2.50	2.90	1.75	3.50	1.75	3.55	1.75	3.00
3.00	2.80	2.00	3.45	2.00	3.50	2.00	2.95
3.50	2.70	2.25	3.40	2.25	3.45	2.25	2.90
4.00	2.00	2.50	3.05	2.50	3.40	2.50	2.85
4.50	2.50	2.75	3.30	2.75	3.35	2.75	2.80
5.00	2.40	3.00	3.25	3.00	3.30	3.00	2.80
5.50	2.30	3.25	3.20	3.25	3.30	3.25	2.75
6.00	2.20	3.50	3.15	3.50	3.25	3.50	2.70
6.50	2.10	3.75	3.10	3.75	3.20	3.75	2.65
7.00	2.00	4.00	3.10	4.00	3.15	4.00	2.60
7.50	1.80	4.25	3.05	4.25	3.10	4.25	2.60
8.00	1.80	4.50	3.00	4.50	3.05	4.50	2.55
8.50	1.70	4.75	2.95	4.75	3.05	4.75	2.50
9.00	1.60	5.00	2.90	5.00	3.00	5.00	2.45
9.50	1.55	5.25	2.85	5.25	2.95	5.25	2.40
10.00	1.50	5.50	2.85	5.50	2.90	5.50	2.35
10.50	1.40	5.75	2.80	5.75	2.85	5.75	2.30
11.00	1.30	6.00	2.75	6.00	2.90	6.00	2.25
11.50	1.20	6.25	2.70	6.25	2.80	6.25	2.25
12.00	1.10	6.50	2.65	6.50	2.70	6.50	2.20
12.50	1.00	6.75	2.65	6.75	2.70	6.75	2.15
13.00	0.95	7.00	2.60	7.00	2.65	7.00	2.10
13.50	0.85	7.25	2.55	7.25	2.65	7.25	2.05
14.00	0.80	7.50	2.50	7.50	2.60	7.50	2.05
14.50	0.70	7.75	2.45	7.75	2.55	7.75	2.00
15.00	0.65	8.00	2.45	8.00	2.50	8.00	1.95
	8.25	2.40	8.25	2.45	8.25	8.25	1.90
	8.50	2.35	8.50	2.45	8.50	8.50	1.85
	8.75	2.30	8.75	2.40	8.75	8.75	1.80
	9.00	2.25	9.00	2.35	9.00	9.00	1.75
	9.25	2.25	9.25	2.30	9.25	9.25	1.75
	9.50	2.20	9.50	2.30	9.50	9.50	1.70
	9.75	2.15	9.75	2.25	9.75	9.75	1.65
	10.00	2.10	10.00	2.20	10.00	10.00	1.60
	10.25	2.05	10.25	2.20	10.25	10.25	1.55
	10.50	2.05	10.50	2.10	10.50	10.50	1.50
	10.75	2.00	10.75	2.10	10.75	10.75	1.45
	11.00	1.85	11.00	2.05	11.00	11.00	1.45
	11.25	1.90	11.25	2.00	11.25	11.25	1.40
	11.50	1.90	11.50	2.00	11.50	11.50	1.35
	11.75	1.85	11.75	1.95	11.75	11.75	1.30
	12.00	1.80	12.00	1.90	12.00	12.00	1.25
	12.25	1.75	12.25	1.85	12.25	12.25	1.25
	12.50	1.75	12.50	1.80	12.50	12.50	1.20
	12.75	1.70	12.75	1.80	12.75	12.75	1.15
	13.00	1.65	13.00	1.75	13.00	13.00	1.10
	13.25	1.65	13.25	1.70	13.25	13.25	1.10
	13.50	1.60	13.50	1.70	13.50	13.50	1.05
	13.75	1.65	13.75	1.65	13.75	13.75	1.00
	14.00	1.60	14.00	1.60	14.00	14.00	0.95
	14.25	1.45	14.25	1.55	14.25	14.25	0.90
	14.50	1.45	14.50	1.50	14.50	14.50	0.90
	14.75	1.40	14.75	1.60	14.75	14.75	0.85
	15.00	1.35	15.00	1.45	15.00	15.00	0.80

FALLA DE ORIGEN

ETAPA XIII (CONTINÚA)

FEB.04'86 TEMP. 17°C 12:00 HRS. $b = 3.89$ $S = -0.2486$ $Cc = -0.9982$	FEB.05'86 TEMP. 18°C 12:00 HRS. $b = 3.49$ $S = -0.1730$ $Cc = -0.9985$	FEB.06'86 TEMP. 17°C 12:00 HRS. $b = 4.03$ $S = -0.2694$ $Cc = -0.9934$	FEB.07'86 TEMP. 19°C 12:00 HRS. $b = 3.13$ $S = -0.2467$ $Cc = -0.9985$				
TIEMPO (MIN.)	O.D. (Mg/Lt.)	TIEMPO (MIN.)	O.D. (Mg/Lt.)	TIEMPO (MIN.)	O.D. (Mg/Lt.)	TIEMPO (MIN.)	O.D. (Mg/Lt.)
0.25	4.50	0.00	3.85	0.00	4.70	0.00	3.50
0.50	4.00	0.25	3.05	0.25	4.70	0.25	3.25
0.75	3.80	0.50	3.60	0.50	4.70	0.50	3.10
1.00	3.70	0.75	3.45	0.75	3.80	0.75	3.00
1.50	3.55	1.00	3.35	1.00	3.70	1.00	2.85
2.00	3.40	1.25	3.30	1.50	3.50	1.25	2.85
2.50	3.25	1.50	3.25	2.00	3.35	1.50	2.80
3.00	3.10	1.75	3.20	2.50	3.20	1.75	2.70
3.50	3.00	2.00	3.15	3.00	3.05	2.00	2.60
4.00	2.85	2.25	3.10	3.50	2.90	2.25	2.55
4.50	2.75	2.50	3.05	4.00	2.80	2.50	2.50
5.00	2.60	2.75	3.00	4.50	2.65	2.75	2.40
5.50	2.45	3.00	2.85	5.00	2.50	3.00	2.35
6.00	2.35	3.25	2.90	5.50	2.40	3.25	2.30
6.50	2.20	3.50	2.85	6.00	2.30	3.50	2.25
7.00	2.10	3.75	2.80	6.50	2.15	3.75	2.20
7.50	2.00	4.00	2.80	7.00	2.00	4.00	2.10
8.00	1.80	4.25	2.75	7.50	1.80	4.25	2.05
8.50	1.70	4.50	2.70	8.00	1.80	4.50	2.00
9.00	1.60	4.75	2.65	8.50	1.65	4.75	1.85
9.50	1.50	5.00	2.60	9.00	1.55	5.00	1.85
10.00	1.35	5.25	2.65	9.50	1.40	5.25	1.80
10.50	1.25	5.50	2.50	10.00	1.30	5.50	1.75
11.00	1.10	5.75	2.45	10.50	1.15	5.75	1.70
11.50	1.05	6.00	2.40	11.00	1.05	6.00	1.65
12.00	0.90	6.25	2.35	11.50	0.95	6.25	1.60
12.50	0.80	6.50	2.35	12.00	0.80	6.50	1.50
13.00	0.70	6.75	2.30	12.50	0.70	6.75	1.45
13.50	0.60	7.00	2.25	13.00	0.60	7.00	1.40
14.00	0.50	7.25	2.20	13.50	0.50	7.25	1.30
14.50	0.35	7.50	2.15	14.00	0.30	7.50	1.20
15.00	0.25	7.75	2.10	14.50	0.30	7.75	1.20
	8.00	2.10	15.00	0.20	8.00	1.15	
	8.25	2.05			8.25	1.10	
	8.50	2.00			8.50	1.00	
	8.75	1.95			8.75	0.90	
	9.00	1.90			9.00	0.85	
	9.25	1.90			9.25	0.80	
	9.50	1.85			9.50	0.75	
	9.75	1.80			9.75	0.70	
	10.00	1.75			10.00	0.65	
	10.25	1.70			10.25	0.60	
	10.50	1.65			10.50	0.55	
	10.75	1.65			10.75	0.45	
	11.00	1.60			11.00	0.40	
	11.25	1.55			11.25	0.35	
	11.50	1.50			11.50	0.25	
	11.75	1.45			11.75	0.25	
	12.00	1.40			12.00	0.20	
	12.25	1.40			12.25	0.15	
	12.50	1.35			12.50	0.10	
	12.75	1.30			12.75	0.10	
	13.00	1.25			13.00	0.10	
	13.25	1.20					
	13.50	1.20					
	13.75	1.15					
	14.00	1.10					
	14.25	1.05					
	14.50	1.00					
	14.75	1.00					
	15.00	0.95					

TASAS DE CONSUMO DE O₂

ETAPA XIV

FEB.08'86 TEMP.18°C 12:00 HRS. $b = 3.02$ $S = -0.1788$ $Cc = -0.9980$	FEB.09'86 TEMP.18°C 12:00 HRS. $b = 3.01$ $S = -0.1476$ $Cc = -0.9981$	FEB.10'86 TEMP.18°C 12:00 HRS. $b = 3.28$ $S = -0.1428$ $Cc = -0.9982$	FEB.12'86 TEMP.18.5°C 12:00 HRS. $b = 2.24$ $S = -0.2141$ $Cc = -0.9972$	FEB.13'86 TEMP.18°C 12:00 HRS. $b = 4.19$ $S = -0.1530$ $Cc = -0.9972$					
TIEMPO (MIN.)	O.D. (Mg/Lt.)	TIEMPO (MIN.)	O.D. (Mg/Lt.)	TIEMPO (MIN.)	O.D. (Mg/Lt.)	TIEMPO (MIN.)	O.D. (Mg/Lt.)	TIEMPO (MIN.)	O.D. (Mg/Lt.)
0.00	3.40	0.00	3.80	0.00	3.70	0	2.5	0	4.3
0.25	3.10	0.25	3.65	0.25	3.55	0.25	2.3	0.25	4.3
0.50	3.00	0.50	3.60	0.50	3.45	0.5	2.2	0.5	4.3
0.75	2.95	0.75	3.55	0.75	3.40	0.75	2.15	0.75	4.1
1.00	2.90	1.00	3.50	1.00	3.30	1	2.05	1	4
1.25	2.95	1.25	3.10	1.25	3.25	1.25	2	1.25	4
1.50	2.00	1.50	3.35	1.50	3.20	1.5	1.95	1.5	3.9
1.75	2.70	1.75	3.30	1.75	3.15	1.75	1.85	1.75	3.8
2.00	2.65	2.00	3.30	2.00	3.10	2	1.8	2	3.85
2.25	2.60	2.25	3.25	2.25	3.05	2.25	1.75	2.25	3.8
2.50	2.60	2.60	3.20	2.60	3.00	2.6	1.7	2.5	3.8
2.75	2.55	2.75	3.20	2.75	2.95	2.75	1.65	2.75	3.8
3.00	2.50	3.00	3.15	3.00	2.90	3	1.6	3	3.8
3.25	2.45	3.25	3.15	3.25	2.85	3.25	1.5	3.25	3.8
3.50	2.40	3.60	3.10	3.60	2.80	3.5	1.45	3.5	3.7
3.75	2.35	3.75	3.05	3.75	2.75	3.75	1.4	3.75	3.8
4.00	2.30	4.00	3.05	4.00	2.70	4	1.35	4	3.65
4.25	2.25	4.25	3.00	4.25	2.85	4.25	1.3	4.25	3.5
4.50	2.20	4.50	2.95	4.50	2.60	4.5	1.25	4.5	3.45
4.75	2.15	4.75	2.95	4.75	2.55	4.75	1.2	4.75	3.4
5.00	2.10	5.00	2.90	5.00	2.60	5	1.15	5	3.4
5.25	2.05	5.25	2.85	5.25	2.45	5.25	1.1	5.25	3.4
5.50	2.00	5.50	2.80	5.50	2.40	5.5	1.05	5.5	3.35
5.75	2.00	5.75	2.80	5.75	2.35	5.75	1	5.75	3.3
6.00	1.95	6.00	2.75	6.00	2.30	6	0.9	6	3.25
6.25	1.90	6.25	2.70	6.25	2.25	6.25	0.85	6.25	3.2
6.50	1.85	6.50	2.70	6.50	2.20	6.5	0.8	6.5	3.15
6.75	1.80	6.75	2.65	6.75	2.15	6.75	0.75	6.75	3.1
7.00	1.75	7.00	2.60	7.00	2.10	7	0.7	7	3.1
7.25	1.70	7.25	2.55	7.25	2.05	7.25	0.65	7.25	3.05
7.50	1.70	7.50	2.50	7.50	2.00	7.5	0.6	7.5	3
7.75	1.65	7.75	2.45	7.75	1.95	7.75	0.55	7.75	3
8.00	1.60	8.00	2.45	8.00	1.90	8	0.5	8	2.95
8.25	1.55	8.25	2.10	8.25	1.85	8.25	0.45	8.25	2.8
8.50	1.50	8.50	2.35	8.50	1.80	8.5	0.4	8.5	2.85
8.75	1.45	8.75	2.35	8.75	1.80	8.75	0.35	8.75	2.8
9.00	1.40	9.00	2.30	9.00	1.75	9	0.3	9	2.75
9.25	1.35	9.25	2.25	9.25	1.70	9.25	0.25	9.25	2.7
9.50	1.35	9.50	2.20	9.50	1.65	9.5	0.2	9.5	2.7
9.75	1.30	9.75	2.15	9.75	1.60	9.75	0.15	9.75	2.65
10.00	1.25	10.00	2.10	10.00	1.55	10	0.1	10	2.6
10.25	1.20	10.25	2.10	10.25	1.50	10.25	0.1	10.25	2.55
10.50	1.15	10.50	2.05	10.50	1.46	10.5	0.05	10.5	2.55
10.75	1.10	10.75	2.00	10.75	1.40	11.5	0	10.75	2.5
11.00	1.10	11.00	2.00	11.00	1.40			11	2.5
11.25	1.00	11.25	1.95	11.25	1.35			11.25	2.45
11.50	1.00	11.50	1.90	11.50	1.35			11.5	2.4
11.75	0.95	11.75	1.85	11.75	2.25			11.75	2.4
12.00	0.90	12.00	1.85	12.00	2.20			12	2.35
12.25	0.85	12.25	1.80	12.25	2.15			12.25	2.3
12.50	0.85	12.50	1.75	12.50	2.10			12.5	2.3
12.75	0.80	12.75	1.75	12.75	2.05			12.75	2.25
13.00	0.75	13.00	1.70	13.00	2.00			13	2.2
13.25	0.70	13.25	1.70	13.25	1.95			13.25	2.15
13.50	0.65	13.50	1.65	13.50	1.95			13.5	2.15
13.75	0.60	13.75	1.60	13.75	1.75			13.75	2.1
14.00	0.60	14.00	1.55	14.00	1.70			14	2.1
14.25	0.55	14.25	1.55	14.25	1.70			14.25	2.05
14.50	0.50	14.50	1.50	14.50	0.60			14.5	2
14.75	0.45	14.75	1.45	14.75	0.65			14.75	2
15.00	0.40	15.00	1.40	15.00	0.50			15	1.95

FALLA DE ORIGEN

ETAPA XIV (CONTINÚA)

FEB.17'88

TEMP.18°C

12:00 HRS.

 $b = 3.01$ $\delta = -0.1616$ $C_c = -0.9987$

TIEMPO	O.D. (Mg/Lt.)
0	3.2
0.25	3.1
0.5	3
0.75	2.95
1	2.9
1.25	2.85
1.5	2.8
1.75	2.75
2	2.7
2.25	2.65
2.5	2.6
2.75	2.55
3	2.5
3.25	2.45
3.5	2.4
3.75	2.4
4	2.35
4.25	2.3
4.5	2.25
4.75	2.2
5	2.2
5.25	2.15
5.5	2.1
5.75	2.05
6	2
6.25	1.95
6.5	1.95
6.75	1.9
7	1.85
7.25	1.8
7.5	1.75
7.75	1.7
8	1.7
8.25	1.65
8.5	1.6
8.75	1.6
9	1.55
9.25	1.5
9.5	1.45
8.75	1.4
10	1.4
10.25	1.35
10.5	1.3
10.75	1.26
11	1.2
11.25	1.2
11.5	1.15
11.75	1.1
12	1.1
12.25	1.05
12.5	1
12.75	0.95
13	0.9
13.25	0.9
13.5	0.88
13.75	0.8
14	0.8
14.25	0.75
14.5	0.7
14.75	0.7
15	0.6

VELOCIDAD EN ZONA DE SEDIMENTACION:

FECHA: 10/12/65 FECHA: 13/12/65

Min.	M1.	M2.	M3.	M4.	M5.
0	1000	0	0	21	210
0,5	1000	1	0	21,5	210
1	1000	2	950	22	210
1,5	1000	2,5	850	22,5	210
2	980	3	770	23	200
2,5	900	3,5	660	24	200
3	900	4	590	25	200
3,5	880	4,5	540	26	200
4	850	5	490	27	200
4,5	730	5,5	450		
5	640	6	430		
5,5	530	6,5	430		
6	490	7	390		
6,5	450	7,5	370		
7	440	8	350		
7,5	440	8,5	350		
8	400	9	340		
8,5	380	9,5	330		
9	360	10	320		
9,5	360	10,5	310		
10	340	11	300		
11	310	11,5	295		
12	290	12	295		
13	300	12,5	290		
14	280	13	285		
15	270	13,5	280		
16	260	14	260		
17	260	14,5	270		
18	250	15	260		
19	250	15,5	260		
20	250	16	250		
		16,5	250		
		17	250		
		17,5	250		
		18	240		
		18,5	240		
		19	230		
		19,5	220		
		20	220		
		20,5	210		

ETAPA 13

VELOCIDAD EN ZONA DE SEDIMENTACION

FECHA: 16/01/88 FECHA: 18/01/88 FECHA: 27/01/88 FECHA: 28/01/88 FECHA: 31/01/88 FLCHA: 01/02/88 FICHA: 02/02/88 FICHA: 03/02/88 FECHA: 04/02/88 FECHA: 05/02/88 FECHA: 06/02/88 FECHA: 07/02/88

Min.	Mi.	Min.	Mi.	Min.	Mi.	Min.	Mi.	Min.	Mi.	Min.	Mi.												
0	1000	0	1000	0	1000	0	1000	0	1000	0	1000	0	1000	0	1000	0	1000	0	1000	0	1000	0	1000
0.5	1000	0.5	1000	0.5	1000	0.5	1000	0.5	1000	0.5	1000	0.5	1000	0.5	1000	0.5	1000	0.5	1000	0.5	1000	0.5	1000
1	1000	1	1000	1	1000	1	1000	1	1000	1	1000	1	1000	1	1000	1	1000	1	1000	1	1000	1	1000
1.5	1000	1.5	1000	1.5	1000	1.5	1000	1.5	1000	1.5	1000	1.5	1000	1.5	1000	1.5	1000	1.5	1000	1.5	1000	1.5	1000
2	970	2	1000	2	1000	2	1000	2	1000	2	1000	2	1000	2	1000	2	1000	2	1000	2	1000	2	1000
2.5	940	2.5	970	2.5	1000	2.5	980	2.5	1000	2.5	970	2.5	1000	2.5	960	2.5	980	2.5	1000	2.5	960	2.5	1000
3	900	3	920	3	1000	3	1000	3	950	3	960	3	970	3	1000	3	1000	3	950	3	960	3	970
3.5	840	3.5	870	3.5	950	3.5	1000	3.5	910	3.5	900	3.5	970	3.5	1000	3.5	950	3.5	980	3.5	1000	3.5	1000
4	760	4	700	4	900	4	950	4	900	4	950	4	900	4	970	4	1000	4	950	4	980	4	1000
4.5	680	4.5	650	4.5	880	4.5	900	4.5	750	4.5	880	4.5	860	4.5	920	4.5	950	4.5	920	4.5	950	4.5	950
5	680	5	640	5	880	5	880	5	680	5	840	5	840	5	950	5	950	5	950	5	950	5	950
6	520	6.5	490	6.5	820	6.5	800	6.5	560	6.5	800	6.5	790	6.5	930	6.5	950	6.5	930	6.5	950	6.5	950
8	470	8	490	8	800	8	780	8	450	8	700	8	900	8	900	8	950	8	920	8	900	8	920
0.5	460	8.5	440	8.5	750	8.5	760	8.5	400	8.5	650	8.5	325	8.5	800	8.5	325	8.5	900	8.5	325	8.5	900
7	480	7	400	7	680	7	650	7	380	7	360	7	860	7	910	7	960	7	880	7	960	7	880
7.5	410	7.5	390	7.5	760	7.5	760	7.5	340	7.5	230	7.5	376	7.5	780	7.5	780	7.5	800	7.5	776	7.5	800
8	390	8	370	8	610	8	600	8	320	8	220	8	760	8	800	8	800	8	810	8	800	8	810
8.5	380	8.5	360	8.5	360	8.5	260	8.5	310	8.5	210	8.5	426	8.5	750	8.5	426	8.5	820	8.5	426	8.5	820
9	370	9	340	9	200	9	160	9	300	9	200	9	450	9	700	9	450	9	650	9	750	9	650
9.5	360	9.5	330	9.5	100	9.5	140	9.5	290	9.5	190	9.5	476	9.5	650	9.5	476	9.5	750	9.5	476	9.5	750
10	360	10	330	10	10	10	260	10	180	10	410	10	410	10	600	10	360	10	650	10	700	10	230
10.5	340	10.5	320	10.5	10	10.5	270	10.5	180	10.5	426	10.5	400	10.5	626	10.5	600	10.5	626	10.5	726	10.5	230
11	340	11	300	11	11	280	11	180	11	360	11	360	11	360	11	360	11	450	11	680	11	220	
11.5	330	11.5	300	11.5	11	260	11.5	30	11.5	676	11.5	280	11.5	716	11.5	300	11.5	676	11.5	600	11.5	210	
12	330	12	280	12	12	260	12	260	12	220	12	220	12	240	12	260	12	260	12	260	12	260	
12.5	320	12.5	280	12.5	12	260	12.5	260	12.5	210	12.5	210	12.5	26	12.5	260	12.5	220	12.5	216	12.5	260	
13	320	13	270	13	13	240	13	240	13	200	13	210	13	210	13	220	13	220	13	220	13	220	
13.5	310	13.5	260	13.5	13	240	13.5	240	13.5	180	13.5	180	13.5	876	13.5	240	13.5	876	13.5	220	13.5	220	
14	300	14	260	14	14	230	14	230	14	200	14	200	14	220	14	230	14	210	14	230	14	190	
14.5	300	14.5	260	14.5	14	220	14.5	220	14.5	180	14.5	180	14.5	726	14.5	220	14.5	726	14.5	200	14.5	180	
15	300	15	240	15	15	220	15	220	15	180	15	180	15	200	15	230	15	200	15	200	15	160	
16.5	300	16.5	230	16.5	16	220	16.5	220	16.5	180	16.5	180	16.5	776	16.5	230	16.5	776	16.5	180	16.5	160	
18	290	18	220	18	18	220	18	220	18	180	18	180	18	200	18	230	18	180	18	180	18	160	
18.5	280	18.5	220	18.5	18	220	18.5	220	18.5	180	18.5	180	18.5	826	18.5	220	18.5	826	18.5	180	18.5	160	
17	280	17.5	200	17.5	17	210	17.5	210	17	180	17.5	180	17	200	17	230	17	180	17	180	17	160	
18	280	18	200	18	18	200	18	200	18	180	18	180	18	200	18	230	18	180	18	180	18	160	
19	280	19	200	19	19	200	19	200	19	180	19	180	19	200	19	230	19	180	19	180	19	160	
19.5	280	19.5	200	19.5	19	200	19.5	200	19.5	180	19.5	180	19.5	826	19.5	200	19.5	826	19.5	180	19.5	160	
20	290	21	100	20	20	200	20	200	20	180	20	180	20	200	20	230	20	180	20	180	20	160	
21	270	21.5	100	21	20	200	21	200	21	180	21	180	21	200	21	230	21	180	21	180	21	160	
22	270	22	100	22	20	200	22	200	22	180	22	180	22	200	22	230	22	180	22	180	22	160	
23	270	22.5	100	22.5	20	200	22.5	200	22.5	180	22.5	180	22.5	10.26	22.5	200	22.5	10.26	22.5	180	22.5	160	
24	270	23	100	23	20	200	23	200	23	180	23	180	23	10.6	23	200	23	10.6	23	180	23	160	
25	270	23.5	100	23.5	20	200	23.5	200	23.5	180	23.5	180	23.5	10.26	23.5	200	23.5	10.26	23.5	180	23.5	160	
26	270	23.6	100	23.6	20	200	23.6	200	23.6	180	23.6	180	23.6	10.26	23.6	200	23.6	10.26	23.6	180	23.6	160	
		24	160							11	160	11	160	11	160	11	160	11	160	11	160	11	160

11

12

13

14

15

16

17

18

19

20

21

22

23

24

25

26

27

28

29

30

31

ETAPA 14

VELOCIDAD EN ZONA DE SEDIMENTACIÓN

FECHA: 15/01/86	FECHA: 16/01/86	FECHA: 27/01/86	FECHA: 28/01/86	FECHA: 31/01/86	FECHA: 01/02/86	FECHA: 02/02/86	FECHA: C3/02/86	FECHA: C4/02/86	FECHA: 05/02/86	FECHA: 08/02/86	FECHA: C7/02/86
Mm.											
0 1000	0 1000	0 1000	0 1000	0 1000	0 1000	0 1000	0 1000	0 1000	0 1000	0 1000	0 1000
0,5 1000	0,5 1000	0,5 1000	0,5 1000	0,5 1000	0,5 1000	0,5 1000	0,5 1000	0,5 1000	0,5 1000	0,5 1000	0,5 1000
1 1000	1 1000	1 1000	1 1000	1 1000	1 1000	1 1000	1 1000	1 1000	1 1000	1 1000	1 1000
1,5 1000	1,5 1000	1,5 1000	1,5 1000	1,5 1000	1,5 1000	1,5 1000	1,5 1000	1,5 1000	1,5 1000	1,5 1000	1,5 1000
2 970	2 970	2 970	2 970	2 970	2 970	2 970	2 970	2 970	2 970	2 970	2 970
2,5 940	2,5 970	2,5 970	2,5 970	2,5 970	2,5 970	2,5 970	2,5 970	2,5 970	2,5 970	2,5 970	2,5 970
3 800	3 820	3 820	3 820	3 820	3 820	3 820	3 820	3 820	3 820	3 820	3 820
3,5 840	3,5 870	3,5 870	3,5 870	3,5 870	3,5 870	3,5 870	3,5 870	3,5 870	3,5 870	3,5 870	3,5 870
4 760	4 790	4 790	4 790	4 790	4 790	4 790	4 790	4 790	4 790	4 790	4 790
4,5 650	4,5 680	4,5 680	4,5 680	4,5 680	4,5 680	4,5 680	4,5 680	4,5 680	4,5 680	4,5 680	4,5 680
5 680	5 680	5 680	5 680	5 680	5 680	5 680	5 680	5 680	5 680	5 680	5 680
5,5 650	5,5 690	5,5 690	5,5 690	5,5 690	5,5 690	5,5 690	5,5 690	5,5 690	5,5 690	5,5 690	5,5 690
6 630	6 680	6 680	6 680	6 680	6 680	6 680	6 680	6 680	6 680	6 680	6 680
6,5 660	6,5 700	6,5 700	6,5 700	6,5 700	6,5 700	6,5 700	6,5 700	6,5 700	6,5 700	6,5 700	6,5 700
7 630	7 680	7 680	7 680	7 680	7 680	7 680	7 680	7 680	7 680	7 680	7 680
7,5 610	7,5 660	7,5 660	7,5 660	7,5 660	7,5 660	7,5 660	7,5 660	7,5 660	7,5 660	7,5 660	7,5 660
8 590	590	590	590	590	590	590	590	590	590	590	590
8,5 580	580	580	580	580	580	580	580	580	580	580	580
9 570	59	59	59	59	59	59	59	59	59	59	59
9,5 560	560	560	560	560	560	560	560	560	560	560	560
10 550	550	550	550	550	550	550	550	550	550	550	550
10,5 540	540	540	540	540	540	540	540	540	540	540	540
11 530	530	530	530	530	530	530	530	530	530	530	530
11,5 530	530	530	530	530	530	530	530	530	530	530	530
12 530	530	530	530	530	530	530	530	530	530	530	530
12,5 520	520	520	520	520	520	520	520	520	520	520	520
13 520	520	520	520	520	520	520	520	520	520	520	520
13,5 510	510	510	510	510	510	510	510	510	510	510	510
14 500	500	500	500	500	500	500	500	500	500	500	500
14,5 490	490	490	490	490	490	490	490	490	490	490	490
15 480	480	480	480	480	480	480	480	480	480	480	480
15,5 470	470	470	470	470	470	470	470	470	470	470	470
16 460	460	460	460	460	460	460	460	460	460	460	460
16,5 450	450	450	450	450	450	450	450	450	450	450	450
17 440	440	440	440	440	440	440	440	440	440	440	440
17,5 430	430	430	430	430	430	430	430	430	430	430	430
18 420	420	420	420	420	420	420	420	420	420	420	420
18,5 410	410	410	410	410	410	410	410	410	410	410	410
19 400	400	400	400	400	400	400	400	400	400	400	400
19,5 390	390	390	390	390	390	390	390	390	390	390	390
20 380	380	380	380	380	380	380	380	380	380	380	380
20,5 370	370	370	370	370	370	370	370	370	370	370	370
21 360	360	360	360	360	360	360	360	360	360	360	360
21,5 350	350	350	350	350	350	350	350	350	350	350	350
22 340	340	340	340	340	340	340	340	340	340	340	340
22,5 330	330	330	330	330	330	330	330	330	330	330	330
23 320	320	320	320	320	320	320	320	320	320	320	320
23,5 310	310	310	310	310	310	310	310	310	310	310	310
24 300	300	300	300	300	300	300	300	300	300	300	300
24,5 290	290	290	290	290	290	290	290	290	290	290	290
25 280	280	280	280	280	280	280	280	280	280	280	280
25,5 270	270	270	270	270	270	270	270	270	270	270	270
26 260	260	260	260	260	260	260	260	260	260	260	260
26,5 250	250	250	250	250	250	250	250	250	250	250	250
27 240	240	240	240	240	240	240	240	240	240	240	240
27,5 230	230	230	230	230	230	230	230	230	230	230	230
28 220	220	220	220	220	220	220	220	220	220	220	220
28,5 210	210	210	210	210	210	210	210	210	210	210	210
29 200	200	200	200	200	200	200	200	200	200	200	200
29,5 190	190	190	190	190	190	190	190	190	190	190	190
30 180	180	180	180	180	180	180	180	180	180	180	180
30,5 170	170	170	170	170	170	170	170	170	170	170	170
31 160	160	160	160	160	160	160	160	160	160	160	160
31,5 150	150	150	150	150	150	150	150	150	150	150	150
32 140	140	140	140	140	140	140	140	140	140	140	140
32,5 130	130	130	130	130	130	130	130	130	130	130	130
33 120	120	120	120	120	120	120	120	120	120	120	120
33,5 110	110	110	110	110	110	110	110	110	110	110	110
34 100	100	100	100	100	100	100	100	100	100	100	100
34,5 90	90	90	90	90	90	90	90	90	90	90	90
35 80	80	80	80	80	80	80	80	80	80	80	80
35,5 70	70	70	70	70	70	70	70	70	70	70	70
36 60	60	60	60	60	60	60	60	60	60	60	60
36,5 50	50	50	50	50	50	50	50	50	50	50	50
37 40	40	40	40	40	40	40	40	40	40	40	40
37,5 30	30	30	30	30	30	30	30	30	30	30	30
38 20	20	20	20	20	20	20	20	20	20	20	20
38,5 10	10	10	10	10	10	10	10	10	10	10	10
39 0	0	0	0	0	0	0	0	0	0	0	0

ANEXO F

Resultados de medición de O.D en el Tanque y Sedimentador (a tres profundidades)

**Resultados de la medición de O.D. en el Reactor de Procesos y Sedimentador,
una vez estabilizado el Sistema**

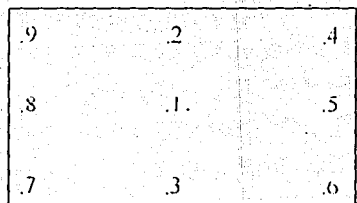
Reactor de Proceso:

Profundi-dad (mts.)	Punto 1 O.D. (mg/Lt)	Punto 2	Punto 3	Punto 4	Punto 5	Punto 6	Punto 7	Punto 8	Punto 9
-0.50 mts.	1.80 mg/Lt	3.60	3.00	2.80	2.15	2.70	4.80	5.50	4.30
-1.50 mts.	1.80 mg/Lt	3.10	4.50	3.25	2.20	2.70	5.10	6.00	4.30
-3.50 mts.	1.85 mg/Lt	1.60	2.00	2.40	2.30	2.25	4.60	1.80	2.70

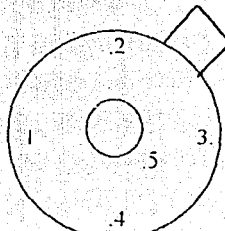
Sedimentador

Profundidad (mts.)	Punto 1	Punto 2	Punto 3	Punto 4	Punto 5
-0.50 mts.	1.65	1.60	1.65	1.70	2.00
-1.50 mts.	1.55	1.70	1.50	1.70	1.90
3.00 mts.	1.50	1.60	1.40	1.60	1.80
-4.15 mts.	0.10	0.25	0.30	0.75	0.10

Reactor



Sedimentador



ANEXO G

Revisión Bibliográfica

Output generated from Compact Cambridge: WATERLIT 1975 - 1992 3rd QTR
Search Strategy:

(ACTIVATED[TI,DE,CL] AND SLUDGE[TI,DE,CL]) AND START[TI,DE,CL] AND
UP[TI,DE,CL]

DOCUMENT 1 of 1:

UI: UNIQUE IDENTIFIER

8012040928

TI: TITLE

THE MICROFAUNA OF ACTIVATED SLUDGE. STUDY OF AN OBSERVATION
METHOD AND
FOLLOW-UP APPLICATION DURING START UP OF A PILOT PLANT

AU: AUTHOR

DRAKIDES C

SO: SOURCE

WATER RESEARCH (OXFORD/NEW YORK): 1980; vol. 14, no. 9; pp. 1199-1207

LA: LANGUAGE

English

DE: DESCRIPTOR

SEWAGE MICROORGANISMS; ACTIVATED SLUDGE PROCESS; SEWAGE
TREATMENT PLANTS;
BIOLOGICAL TREATMENT; STARTING; PILOT PLANTS; MUNICIPAL WASTES;
OBSERVATION:

TREATMENT PLANT PERFORMANCE; BIOMARKERS; BACTERIA DENSITY;
SPECIES

ABUNDANCE; POPULATION ECOLOGY; POPULATION DENSITY; FLAGELLA;
PROTOZOA;

CHEMICAL PARAMETERS; PHYSICAL PARAMETERS; COD; WASTEWATER
TREATMENT,

CILIATA; AMOEBAE

CL: CLASSIFICATION

1000: WASTEWATER

PY: PUBLICATION YEAR

1980

EM: ENTRY MONTH

9106

1 of 14

TI TITLE: START-UP AND OPERATION OF THE INDIANAPOLIS OZONE DISINFECTION WASTEWATER SYSTEMS.

AU AUTHOR(S): RAKNESS,-K.L.; RENNER,-R.C.; VORNEHM,-D.B.; THAXTON,-J.R.

AF AUTHOR AFFILIATION: PROCESS APPLICATIONS INC, 2601 SOUTH LEMAY AVE, FT COLLINS, CO 80525.

SO SOURCE (BIBLIOGRAPHIC CITATION): OZONE:-SCIENCE-AND-ENGINEERING-(ELMSFORD-NY). 1988. vol. 10, no. 3, pages 215-240. [26 pp.]

PY PUBLICATION YEAR: 1988

LA LANGUAGE: English

PT PUBLICATION TYPE: Journal-article

CO CODEN: OZSEDS

DE DESCRIPTORS: WASTEWATER-TREATMENT; ACTIVATED-SLUDGE; OZONIZATION; PROCESS-MODIFICATIONS; DESIGN-CRITERIA; PERFORMANCE-EVALUATION; OZONE-GENERATION; EQUIPMENT-EVALUATION; COMPUTER-PROCESS-CONTROL; CAPITAL-COSTS; OPERATING-COSTS; FULL-SCALE-TESTS; CASE-HISTORIES ID IDENTIFIERS: PROCESS-DESCRIPTION; OFF-GAS; USA-CC CLASSIFICATION CODES: WASTEWATER (1000); PLANNING-AND-MANAGEMENT (1600)

UD UPDATE CODE: 9105

AN ACCESSION NUMBER: 8902148237

2 of 14

TI TITLE: START-UP AND RUNNING-IN OF THE SOREQ BIOLOGICAL WASTEWATER TREATMENT PLANT.

AU AUTHOR(S): GRUBER,-Y.; FARCHILL,-D.; ARUESTE,-G.; GOLDSTEIN,-M. AF AUTHOR AFFILIATION: TAHAL CONSULTING ENGINEERS LTD, PO BOX 11170, TEL AVIV, 61110, ISRAEL.

SO SOURCE (BIBLIOGRAPHIC CITATION): WATER-SCIENCE-AND-TECHNOLOGY-(OXFORD-UK)-WORKSHOP-ON-DEVELOPMENTS IN-DESIGN-AND-OPERATION-OF-LARGE-WASTEWATER-TREATMENT-PLANTS, BUDAPEST,-SEPT-1987,-ED.-BY-P.-BENEDEK,-W.-VON-DER-EMDE,-H.B.-TENCH. 1988. vol. 20, no. 4 & 5, pages 63-75. [13 pp.]

PY PUBLICATION YEAR: 1988

LA LANGUAGE: English

PT PUBLICATION TYPE: Journal-article

CO CODEN: WSTED4

DE DESCRIPTORS: SEWAGE-TREATMENT; MUNICIPAL-WASTEWATER; BIOLOGICAL-TREATMENT; ACTIVATED-SLUDGE-PROCESS; PLANT- DESCRIPTION; STARTING; OPERATING-RESULTS; PROCESS-CONTROL; NITRIFICATION; DENITRIFICATION ID IDENTIFIERS: ISRAEL- CC CLASSIFICATION CODES: WASTEWATER (1000)

UD UPDATE CODE: 9105

AN ACCESSION NUMBER: 8901147572

3 of 14

TI TITLE: START-UP OF A HIGH-PURITY, OXYGEN-ACTIVATED SLUDGE SYSTEM
AT THE LOS ANGELES COUNTY SANITATION DISTRICTS' JOINT WATER
POLLUTION CONTROL PLANT.

AU AUTHOR(S): WUNDERLICH,-R.; BARRY,-J.; GREENWOOD,-D.; CARRY,-C.

AF AUTHOR AFFILIATION: LOS ANGELES COUNTY SANITATION DISTRICTS,
BOX 4998, WHITTIER, CA 90607.

SO SOURCE (BIBLIOGRAPHIC CITATION): JOURNAL-OF-THE-WATER-
POLLUTION-CONTROL-FEDERATION-(WASHINGTON-DC). 1985. vol. 57. no. 10,
pages 1012-1018. [7 pp.]

PY PUBLICATION YEAR: 1985

LA LANGUAGE: English

PT PUBLICATION TYPE: Journal-article

CO CODEN: JWPFAS

DE DESCRIPTORS: CASE-HISTORIES; WASTEWATER-TREATMENT; SECONDARY-
TREATMENT; PROCESS-DIAGRAMS; PROCESS-DETAILS; STARTING; MANUALS;
EQUIPMENT-TESTING; PERSONNEL- TRAINING; ACTIVATED-SLUDGE-
PROCESS; PROCESS-EVALUATION; PROCESS-DESIGN-CRITERIA; OPERATING-
CONDITIONS; WATER-QUALITY-CONTROL

ID IDENTIFIERS: USA-; LOS-ANGELES; OXYGEN-AERATION; POLLUTION-
ABATEMENT CC CLASSIFICATION CODES: WASTEWATER (1000); PLANNING-
AND-MANAGEMENT (1600)

UD UPDATE CODE: 9107

AN ACCESSION NUMBER: 8602112802

4 of 14

TI TITLE: START-UP AND OPERATION OF A UNOX SECONDARY WASTE
TREATMENT SYSTEM.

AU AUTHOR(S): NICHOLS,-W.E.

AF AUTHOR AFFILIATION: APPLETON PAPERS INC. COMBINED LOCKS, WIS
54913.

SO SOURCE (BIBLIOGRAPHIC CITATION): TAPP-EASTON-PA/NEW-YORK). 1978.
vol. 61. no. 10. pages 43-45. [3 pp.]

PY PUBLICATION YEAR: 1978

LA LANGUAGE: English

PT PUBLICATION TYPE: Journal-article

CO CODEN: TAPPAP

DE DESCRIPTORS: INDUSTRIAL-WASTEWATER-TREATMENT; SECONDARY-
TREATMENT; ACTIVATED-SLUDGE; PULP-WASTES; PAPER-MILLS; SYSTEMS-
ENGINEERING; UNIT-OPERATIONS; NUTRIENT-ADDITION; SPILLS-; BULKING-
FILAMENTOUS-MICROORGANISMS; BIOCIDES-; BOD-; REMOVAL-RATE;
BIOMASS-; WASTEWATER-CHARACTERISTICS. UNOX-PROCESS; STARTING-
ID IDENTIFIERS: DEFOAMING-; HYDROGEN-PEROXIDE; TEMPERATURE-EFFECT-
CC CLASSIFICATION CODES: WASTEWATER (1000)

UD UPDATE CODE: 9107 AN ACCESSION NUMBER: 8410092835

- FALTA DE ORIGEN

5 of 14

TI TITLE: START-UP AND OPERATING EXPERIENCE WITH COMPUTERIZED CONTROL SYSTEM IN A 1.3 M³/S (30 MGD) WASTEWATER TREATMENT PLANT.

AU AUTHOR(S): GRAUPMANN,-R.W.; KNUDSEN,-D.I.; MANNS,-P.V.; MCCONVILLE,-T.P.

AF AUTHOR AFFILIATION: EMA INC ST PAUL MINNESOTA.

SO SOURCE (BIBLIOGRAPHIC CITATION): WATER-SCIENCE-AND-TECHNOLOGY-(OXFORD). 1981. vol. 13, no. 10, pages 405-411. [7 pp.]

PY PUBLICATION YEAR: 1981

LA LANGUAGE: English

PT PUBLICATION TYPE: Journal-article

CO CODEN: WSTED4

DE DESCRIPTORS: WASTEWATER-TREATMENT-PLANTS; STARTING-; OPERATING-CONDITIONS; COMPUTER-PROCESS-CONTROL; INSTRUMENTATION; EFFLUENT-QUALITY-STANDARDS; UPGRADING-; PRIMARY-TREATMENT; ACTIVATED-SLUDGE-PROCESS; LOADING-CAPACITY; PERFORMANCE EVALUATION; SLUDGE-DEWATERING; SLUDGE-DIGESTION; LAND-DISPOSAL; PERSONNEL-MANAGEMENT

ID IDENTIFIERS: USA:- MONITORING-EQUIPMENT

CC CLASSIFICATION CODES: WASTEWATER (1000); PLANNING-AND-MANAGEMENT (1600); ANALYTICAL-TECHNIQUES-AND-INSTRUMENTATION (1300)

UD UPDATE CODE: 9106

AN ACCESSION NUMBER: 8202054856

6 of 14

TI TITLE: START-UP AND OPERATION OF AN OXYGEN-ACTIVATED ADVANCED WASTEWATER TREATMENT SYSTEM.

AU AUTHOR(S): JOHNSON,-J.A.

SO SOURCE (BIBLIOGRAPHIC CITATION): JOURNAL-OF-THE-WATER-POLLUTION-CONTROL-FEDERATION-(WASHINGTON). 1981. vol. 53, no. 4, pages 451-456. [6 pp.]

PY PUBLICATION YEAR: 1981

LA LANGUAGE: English

PT PUBLICATION TYPE: Journal-article

CO CODEN: JWPFAS

DE DESCRIPTORS: WASTEWATER-TREATMENT-PLANTS; STARTING-; TERTIARY-TREATMENT; ACTIVATED-SLUDGE-PROCESS; PURE-OXYGEN; OPERATING-CONDITIONS; OPTIMIZATION; PERFORMANCE-EVALUATION; FLOCCULATION; CHLORINATION; EFFLUENT-QUALITY-STANDARDS; PERSONNEL-

CC CLASSIFICATION CODES: WASTEWATER (1000); ANALYTICAL-TECHNIQUES-AND-INSTRUMENTATION (1300); PLANNING-AND-MANAGEMENT (1600)

UD UPDATE CODE: 9106

AN ACCESSION NUMBER: 8107048503

7 of 14

TI TITLE: THE MICROFAUNA OF ACTIVATED SLUDGE. STUDY OF AN OBSERVATION METHOD AND FOLLOW-UP APPLICATION DURING START UP OF A PILOT PLANT.

AU AUTHOR(S): DRAKIDES,-C.

SO SOURCE (BIBLIOGRAPHIC CITATION): WATER-RESEARCH-(OXFORD/NEW-YORK). 1980. vol. 14, no. 9. pages 1199-1207. [9 pp.]

PY PUBLICATION YEAR: 1980

LA LANGUAGE: English

PT PUBLICATION TYPE: Journal-article

CO CODEN: WATRAG

DE DESCRIPTORS: SEWAGE-MICROORGANISMS; ACTIVATED-SLUDGE-PROCESS; SEWAGE-TREATMENT-PLANTS; BIOLOGICAL-TREATMENT; STARTING-, PILOT-PLANTS; MUNICIPAL-WASTES; OBSERVATION-; TREATMENT-PLANT-PERFORMANCE; BIOINDICATORS-; BACTERIA-DENSITY; SPECIES-ABUNDANCE; POPULATION-ECOLOGY; POPULATION-DENSITY; FLAGELLA-; PROTOZOA-; CHEMICAL-PARAMETERS; PHYSICAL-PARAMETERS; COD-; WASTEWATER-TREATMENT

ID IDENTIFIERS: CILIATA-; AMOEBAE-

CC CLASSIFICATION CODES: WASTEWATER (1000)

UD UPDATE CODE: 9106

AN ACCESSION NUMBER: 8012040928

8 of 14

TI TITLE: START-UP PROBLEMS AT A PLANT TREATING FOOD-PROCESSING WASTEWATER.

AU AUTHOR(S): STOVER,-E.L.

SO SOURCE (BIBLIOGRAPHIC CITATION): JOURNAL-OF-THE-WATER-POLLUTION-CONTROL-FEDERATION-(WASHINGTON). 1980. vol. 52, no. 2, pages 249-256. [8 pp.]

PY PUBLICATION YEAR: 1980

LA LANGUAGE: English

PT PUBLICATION TYPE: Journal-article

CO CODEN: JWPFA5

DE DESCRIPTORS: INDUSTRIAL-WASTEWATER-TREATMENT; FOOD-PROCESSING-WASTES; WASTEWATER-ANALYSIS; OPERATING-CONDITIONS; ACTIVATED-SLUDGE-PROCESS; DESIGN-CRITERIA; MAINTENANCE-, SLUDGE-AGE; EFFLUENT-QUALITY; BIOLOGICAL-TREATMENT; STARTING-

ID IDENTIFIERS: LOADING-CRITERIA

CC CLASSIFICATION CODES: WASTEWATER (1000); ANALYTICAL-TECHNIQUES-AND-INSTRUMENTATION (1300); PLANNING-AND-MANAGEMENT (1600)

UD UPDATE CODE: 9106

AN ACCESSION NUMBER: 8006036480

9 of 14

TI TITLE: DESIGN, START-UP AND OPERATION OF A REFINERY TREATMENT SYSTEM WITH MUSCLE.

AU AUTHOR(S): MEINERS,-H.; MAZEWSKI,-G.

AF AUTHOR AFFILIATION: UNION OIL CO CALIF SANTA MARIA.

CO CONFERENCE INFORMATION: PURDUE UNIV SCH CIV ENGINEERING.

SO SOURCE (BIBLIOGRAPHIC CITATION): 34TH-INDUSTRIAL-WASTE-CONFERENCE,-PROCEEDINGS.-PURDUE-UNIVERSITY, 8-10-MAY-1979. 1980. pages 710-718. [9 pp.]

PY PUBLICATION YEAR: 1980

LA LANGUAGE: English

PT PUBLICATION TYPE: Conference-paper

DE DESCRIPTORS: REFINERY-WASTES; INDUSTRIAL-WASTEWATER-TREATMENT; DESIGN-, STARTING-, OIL-WASTES; SHOCK-LOADS; CHEMICAL-TREATMENT; PRESSURE-FLOTATION; BIOLOGICAL-TREATMENT; TRICKLING-FILTERS; CLARIFIERS-

ID IDENTIFIERS: OPERATION- HUISMAN-ORBAL-ACTIVATED-SLUDGE-PROCESS

CC CLASSIFICATION CODES: WASTEWATER (1000)

UD UPDATE CODE: 9106

AN ACCESSION NUMBER: 8005035125

10 of 14

TI TITLE: START-UP OF MUNICIPAL WASTEWATER TREATMENT FACILITIES.

AF AUTHOR AFFILIATION: USA ENVIRON PROT AGEN OFF WATER PROGRAM OPERATIONS MUNIC OPERATIONS BRANCH.

SO SOURCE (BIBLIOGRAPHIC CITATION): USA-ENVIRONMENTAL-PROTECTION-AGENCY-EPA-430/9-74-008. GOV PRINT OFF. WASHINGTON. 1973. pages 1-92. [92 pp.]

PY PUBLICATION YEAR: 1973

LA LANGUAGE: English

PT PUBLICATION TYPE: Book

DE DESCRIPTORS: STARTING-; SEWAGE-TREATMENT-PLANTS; WASTEWATER-MANAGEMENT; MANUALS-; PERSONNEL-; EQUIPMENT-TESTING; OPERATORS-; TRAINING-; SAFETY-ASPECTS; PRETREATMENT-; PRIMARY-TREATMENT; SECONDARY-TREATMENT; ACTIVATED-SLUDGE-PROCESS; TRICKLING-FILTERS; OXIDATION-PONDS; ANAEROBIC-DIGESTION; SLUDGE-HANDLING

ID IDENTIFIERS: OPERATION-; PROCEDURE-

CC CLASSIFICATION CODES: WASTEWATER (1000)

UD UPDATE CODE: 9106

AN ACCESSION NUMBER: 8105045843

11 of 14

TI TITLE: START-UP AND TRAINING FOR WASTEWATER PLANT - SEOUL,
KOREA, STYLE.
AU AUTHOR(S): MCELROY,-C.
SO SOURCE (BIBLIOGRAPHIC CITATION): WATER-AND-SEWAGE-WORKS-
(CHICAGO). 1979. vol. 126, no. 7, pages 26-28. [3 pp.]
PY PUBLICATION YEAR: 1979
LA LANGUAGE: English
PT PUBLICATION TYPE: Journal-article
CO CODEN: WSIWAY
DE DESCRIPTORS: WASTEWATER-TREATMENT-PLANTS; STARTING-; TRAINING-;
INTERCEPTOR-SEWERS; FLOOD-PROTECTION; ACTIVATED-SLUDGE-PROCESS;
SAND-TRAPS; TRASH-SCREENS; PRIMARY-SETTLING-TANKS; SECONDARY-
TREATMENT; CHLORINATION-; SLUDGE-CONDITIONING; FILTER-PRESSES;
CONTACT-STABILIZATION; ON-SITE-LABORATORIES; SLUDGE-AGE; CONTROL-
BOARDS; AUTOMATIC-CONTROL-EQUIPMENT; LOW-TEMPERATURE
ID IDENTIFIERS: COMPLETE-MIXING-SYSTEMS; SEOUL-; KOREA-
CC CLASSIFICATION CODES: WASTEWATER (1000)
UD UPDATE CODE: 9106
AN ACCESSION NUMBER: 7909027912

12 of 14

TI TITLE: START-UP AND OPERATION OF DENVER'S PURE OXYGEN-ACTIVATED
SLUDGE PLANT.
AU AUTHOR(S): NELSON,-J.K.
SO SOURCE (BIBLIOGRAPHIC CITATION): JOURNAL-OF-THE-WATER-
POLLUTION-CONTROL-FEDERATION-(WASHINGTON). 1979. vol. 51, no. 5, pages
907-917. [11 pp.]
PY PUBLICATION YEAR: 1979
LA LANGUAGE: English
PT PUBLICATION TYPE: Journal-article
CO CODEN: JWPFAS
DE DESCRIPTORS: STARTING-; ACTIVATED-SLUDGE-PROCESS; PURE-OXYGEN;
OPERATING-RESULTS; WASTEWATER-TREATMENT-PLANTS; SEWAGE-
TREATMENT; CRYOGENICS-; OXYGEN-PRODUCTION; DESIGN-CRITERIA;
TREATMENT-PLANT-PERFORMANCE; AUTOMATION-; ECONOMICS-;
PERSONNEL-; TRAINING-; SKILLED-WORKERS; MAINTENANCE-; DATA-
PROCESSING; MANAGEMENT-
ID IDENTIFIERS: NOCARDIA-; VORTICELLA-
CC CLASSIFICATION CODES: WASTEWATER (1000)
UD UPDATE CODE: 9106
AN ACCESSION NUMBER: 7909027820

13 of 14

TI TITLE: START-UP OF A POWDERED ACTIVATED CARBON-ACTIVATED SLUDGE TREATMENT SYSTEM.
AU AUTHOR(S): FLYNN,-B.P.; STADNIK,-J.G.
SO SOURCE (BIBLIOGRAPHIC CITATION): JOURNAL-OF-THE-WATER-POLLUTION-CONTROL-FEDERATION-(WASHINGTON). 1979, vol. 51, no: 2, pages 358-369. [12 pp.]
PY PUBLICATION YEAR: 1979
LA LANGUAGE: English
PT PUBLICATION TYPE: Journal-article
CO CODEN: JWPFA5
DE DESCRIPTORS: STARTING-; POWDERED-ACTIVATED-CARBON; ACTIVATED-SLUDGE-PROCESS; INDUSTRIAL-WASTEWATER-TREATMENT; AERATORS-; BIOMASS-; FEEDING-; ORGANIC-WASTES; CHEMICALS-; ACCLIMATION-; LOW-TEMPERATURE; KINETICS-; DIE-OFF-RATE; STEADY-STATE; SLUDGE-AGE; PILOT-PLANTS; HEAVY-METALS; SLUDGE-THICKENING
ID IDENTIFIERS: ADENOSINE-TRIPHOSPHATE; FULL-SCALE-PLANT-TESTS
CC CLASSIFICATION CODES: WASTEWATER (1000)
UD UPDATE CODE: 9106
AN ACCESSION NUMBER: 7905024160

14 of 14

TI TITLE: STARTING UP OF THE BIOLOGICAL PROCESS OF THE WASTEWATER TREATMENT PLANT OF THE GERNSEHM WORKS.
AU AUTHOR(S): HARMSEN,-H.
SO SOURCE (BIBLIOGRAPHIC CITATION): FORUM-STAEDTE-HYGIENE-(BERLIN). 1977, vol. 28, no. 2, pages 47-50. [4 pp.]
PY PUBLICATION YEAR: 1977
LA LANGUAGE: German
PT PUBLICATION TYPE: Journal-article
CO CODEN: FSHYX7
DE DESCRIPTORS: INDUSTRIAL-WASTEWATER-TREATMENT; BIOLOGICAL-TREATMENT; PROCESS-WATER; FLOCCULATION-TANKS; ACTIVATED-SLUDGE-PROCESS; OPERATING-COSTS
ID IDENTIFIERS: CHEMICAL-PROCESS-INDUSTRIES; PLANT-DESCRIPTION
CC CLASSIFICATION CODES: WASTEWATER (1000)
UD UPDATE CODE: 9106
AN ACCESSION NUMBER: 7808016921

KEYNUMBER: 27553

TITLE: BIOLOGICAL CONCEPTS FOR DESIGN AND OPERATION OF THE ACTIVATED SLUDGE PROCESS

AUTHOR: GAUDY, ANTHONY, F.;GAUDY, ELIZABETH, T. LOC:STILLWATER-OKLA PUBLISHER: US-ENV-PROT-AGENCY

LIBRARY	CALL NUMBER	LOCAL NOTES / HOLDINGS	DT
NSHF	71-WPCRS17090FQJ09	tr	

record 31 of 31

KEYNUMBER: 138019

TITLE: Interactions of wastewater, biomass and reactor configurations in biological treatment plants

AUTHOR: Henze, M.; Gujer, W.

CORP. AU: International Association on Water Pollution Research and Control

PUBLISHER: Oxford : Pergamon Press, 1992

DATE: 1992

SERIES: Water science and technology, 25(6)

PAGINATION: 320 p.

ABSTRACT: Topics covered: wastewater & biomass characterization - processes - modelling & simulation - filaments & solid separation - secondary clarifiers for activated sludge

DESCRIPTORS: wastewater treatment; conferences

LIBRARY	CALL NUMBER	LOCAL NOTES / HOLDINGS	DT
MWFW	*****	tr	

1 of 3

Marked in Search: #5

AN ACCESSION NUMBER: 89-05442**PT PUBLICATION TYPE:** L-Literature**LA LANGUAGE:** En-English**AU AUTHOR(S):** Hashim-M-A; Kulandai-J**LO LOCATION OF WORK:** Department of Chemical Engineering, University of Malaya, Kuala Lumpur, Malaysia.**CO CODEN/DERWENT NUMBER:** JCTBDC**JL JOURNAL:** J.Chem.Technol.Biotechnol.: (1989) 44, 3, 195-204**TI TITLE:** Aerobic treatment of branched alkylbenzene sulfonates**ST SUBSIDIARY TITLE:** surfactant waste-water waste-disposal**IW INDEX WORDS:** branched alkylbenzene sulfonate degradation, surfactant degradation, treatment in continuous stirred tank reactor

* waste-water waste-disposal

AB ABSTRACT: Branched alkylbenzene sulfonates (ABS) were treated aerobically in a single tank activated sludge reactor and also by means of 3 continuous stirred tank reactors (CSTR) in series. For the single-tank reactor, the longer the hydraulic retention time (HRT), the greater were the reductions in biological oxygen demand (BOD), chemical oxygen demand (COD) and methylene blue active substances (MBAS). Reductions of 80%, 60% and 63% were achieved in the levels of BOD, COD and MBAS, respectively, up to an HRT of 5 days. In the case of the 3-CSTR system, acclimatization of the microorganism was achieved 15 days after start-up. In contrast with the single tank operating a 3-day HRT, the microorganism in the 3-CSTR system readily utilized the more easily assimilable components. For the CSTR system, the reductions in the levels of BOD, COD and MBAS were 80%, 68% and 69%, respectively. The CSTR system used with a 1 day HRT for each tank provided a higher detergent waste-water treatment efficiency than the single activated sludge tank with a 3 day HRT. (17 ref)

CL CLASSES: M-WASTE-DISPOSAL M1-Industrial-Waste-Disposal**PY PUBLICATION YEAR:** 1989**AY ACCESSION YEAR:** 89

2 of 3

Marked in Search: #5

AN ACCESSION NUMBER: 86-08288

PT PUBLICATION TYPE: L-Literature

LA LANGUAGE: Ge-German

AU AUTHOR(S): Kiese-S; Scheffler-U; Pilepp-E

LO LOCATION OF WORK: (Pub. Address) Dr. Alfred Huethig Verlag GmbH, Wilkensstrasse
3/5, 6900 Heidelberg 1, Postfach 102869, Germany.

CO CODEN/DERWENT NUMBER: CMTKAT

JL JOURNAL: Chem.Tech.(Heidelberg); (1986) 15, 1, 24-30

TI TITLE: Intensive processes for on-site biological waste-water treatment

ST SUBSIDIARY TITLE: aerobic thermophilic 2-stage process demonstrated using a model
waste-water from *Saccharomyces cerevisiae* molasses fermentation IW INDEX WORDS: on-
site ind. waste-water waste-disposal, aerobic-thermophilic 2-stage reactor process,
Saccharomyces cerevisiae molasses fermentation model waste-water appl. * fungusAB ABSTRACT: Waste-water with a high organic load is a steeply increasing financial liability
for some industries (e.g. food production) and a process has been designed for a high intensity
treatment on-site. Molasses fermented using baker's yeast (*Saccharomyces cerevisiae*) provided
the model waste-water. An aerobic-thermophilic 2-stage process is proposed which
utilizes the heat generated by the fermentation reaction to increase activated sludge activity.
Energy consumption and space requirements are kept to a minimum by air-lift loop reactors
with efficient O₂ mass transfer. After having been taken out of operation for 20 days, the
system returned to full efficiency within 36 hr following start-up. According to the design
specifications, 80% degradation of a COD load of 20 kg/cu m.day was regarded as realistic. In
terms of efficiency, the process is competitive with anaerobic processes. The aerobic-
thermophilic process had improved stability. The plant could also be used as a secondary
process for the effluent from an anaerobic treatment if there was a problem (e.g. H₂S formation
from sulfur-containing waste-water). (10 ref)

CL CLASSES: M-WASTE-DISPOSAL M1-Industrial-Waste-Disposal; B-ENGINEERING

B1-Biochemical-Engineering

PY PUBLICATION YEAR: 1986

AY ACCESSION YEAR: 86

3 of 3

Marked in Search: #5

AN ACCESSION NUMBER: 82-04186

PT PUBLICATION TYPE: L-Literature

LA LANGUAGE: En-English

AU AUTHOR(S): Eynde-E-V-D; +Verachtert-H

LO LOCATION OF WORK: Laboratory of Industrial Microbiology and Biochemistry,
University of Leuven, de Croylaan, 46, B-3030, Heverlee-Louvain, Belgium.

CO CODEN/DERWENT NUMBER: EJABDD

JL JOURNAL: Eur.J.Appl.Microbiol.Biotechnol., (1982) 15, 246-51

TI TITLE: Relation between substrate feeding pattern and developpoment of filamentous
bacteria in activated sludge processes:

ST SUBSIDIARY TITLE: from breweries dairy and petro-chemical plants and the
characteristics of sludge settleability IW INDEX WORDS: activated sludge settleability,
filamentous bact., waste-disposal, dairy, petro-chemical and brewery waste-water

AB ABSTRACT: Laboratory scale activated sludge systems were operated under regimes of
continuous or intermittent feeding of the waste water. Industrial waste waters from breweries,
a dairy plant and a petro-chemical plant were investigated. The systems were started up with
sludge from a municipal waste water plant or with sludges from the corresponding industrial
waste water treatment plants. Intermittently fed systems produced sludges with better
settleability characteristics than systems that thwere continuously supplemented with waste
water. Previous hypothesis that in intermittent systems floc forming bacteria become dominant
as a result of higher substrate uptake rates was confirmed and may be extended to waste
waters containing readily available substrates such as carbohydrates (brewery- and dairy-waste
water) or-acids (petro-chemical waste water). Supplementation of brewery waste water with
urea had a negative influence on sludge settleability, especially in continuously operated
systems. (7 ref)

CL CLASSES: M-WASTE-DISPOSAL M1-Industrial-Waste-Disposal; A-MICROBIOLOGY

A2-Fermentation

PY PUBLICATION YEAR: 1982

AY ACCESSION YEAR: 82

6 of 6 Complete Record

DIALOG No: 03377533 EI Monthly No: EI9202027908

Title: Impact of the addition of pure cultures on the performance of mixed culture reactors.

Author: Wilderer, P. A.; Rubio, M. A.; Davids, L.

Corporate Source: Munich Technical Univ, Garching, Ger

Source: Water Research v 25 n 11 Nov 1991 p 1307-1313

Publication Year: 1991

CODEN: WATRAG ISSN: 0043-1354

Language: English

Document Type: JA; (Journal Article) Treatment Code: X; (Experimental) Abstract: Exploitation of the metabolic capabilities of specialized microorganisms requires availability of specific process control methods. The specialists must be enabled to compete favorably in multi-species microbial systems. Bench scale sequencing batch reactor (SBR) experiments were conducted to study the effectiveness of selected process strategies with respect to maintenance of the degradative capabilities of added microorganisms. 3-Chlorobenzoate (3-CB) was applied as a model substance for chloroorganic pollutants, mixed with sodium acetate and peptone as model substances for readily biodegradable pollutants. *Pseudomonas putida* PRS 2015 pAC 27 served as a model specialist. The bacteria were added to activated sludge from a municipal wastewater treatment plant. The SBRs were operated at a fast fill strategy (0.5 h), frequent cycle repetition (8 h cycle time) and a volumetric exchange ratio of 20%. On the long run, no significant differences between the supplemented and non-supplemented system was observed. In comparison with the reactor which was not bio-supplemented the start-up period was significantly reduced, however, and the special metabolic capabilities remained resident, even when 3-CB was not fed over several days (up to 7 days). (Author abstract) 9 Refs.

Descriptors: *WASTEWATER TREATMENT--*Biological Treatment; BIOREACTORS; MICROORGANISMS--Performance; ORGANIC COMPOUNDS--Biodegradation

Identifiers: PURE CULTURES; MIXED CULTURE REACTORS; CHLOROORGANIC POLLUTANTS

EI Classification Codes: 452 (Sewage & Industrial Wastes Treatment); 461 (Biotechnology); 802 (Chemical Apparatus & Plants); 804 (Chemical Products)